



جمهورية العراق
وزارة التعليم العالي والبحث العلمي
جامعة كربلاء - كلية الزراعة
قسم المحاصيل الحقلية

الكشف الجزيئي عن جينات تحمل الاجهاد المائي في اربعة اصناف من الذرة الصفراء

رسالة مقدمة الى مجلس كلية الزراعة / جامعة كربلاء وهي جزء من متطلبات نيل درجة الماجستير

في العلوم الزراعية / المحاصيل الحقلية

من قبل

علااء محمد عبد المحسن الطائي

بإشراف

أ.م.د علي ناظم فرهود

بِسْمِ اللَّهِ الرَّحْمَنِ الرَّحِيمِ

وَأَنْزَلَنَا إِلَيْكَ الْكِتَابَ بِالْحَقِّ مُصَدِّقًا لِمَا بَيْنَ يَدَيْهِ مِنَ
الْكِتَابِ وَمُهَيِّمًا عَلَيْهِ فَأَخْرُمُ بَيْنَهُمْ بِمَا أَنْزَلَ اللَّهُ بِهِ وَلَا تَتَّبِعُ
أَهْوَاءَهُمْ عَمَّا جَاءَكَ مِنَ الْحَقِّ لِكُلِّ جَعْلَنَا مِنْكُمْ شِرْعَةً
وَمِنْهَا جَاءَ وَلَوْ شَاءَ اللَّهُ لَجَعَلَكُمْ أُمَّةً وَاحِدَةً وَلَكِنْ لَيَبْلُوْكُمْ
فِي مَا أَعْطَنَاكُمْ فَاسْتَبِقُوا الْخَيْرَتِ إِلَى اللَّهِ مَرْجِعُكُمْ جَمِيعًا
فَيُنَسِّئُكُمْ بِمَا كُنْتُمْ فِيهِ تَخْتَلِفُونَ

صَدَقَ اللَّهُ الْعَظِيمُ

سورة المائدة / الآية 48

إقرار المشرف

أشهد أن إعداد هذه الرسالة جرى تحت اشرافي في جامعة كربلاء - كلية الزراعة / قسم المحاصيل الحقلية وهي جزء من متطلبات نيل شهادة الماجستير في العلوم الزراعية في المحاصيل الحقلية.



المحشرف

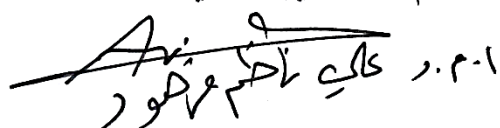
أ. م. د. علي ناظم فرهود

بناءً على التوصيات المتواقة، أرشح هذه الرسالة للمناقشة.

أ. د. عباس علي حسين العامري

د. رئيس لجنة الدراسات العليا

قسم المحاصيل الحقلية



أ. م. د. علي ناظم فرهود

إقرار لجنة المناقشة

نشهد أننا أعضاء لجنة المناقشة ، أطلعنا على هذه الرسالة وقد ناقشنا الطالب في محتوياتها وفيما له علاقة بها ، ووجدنا بأنها جديرة بالقبول لنيل شهادة الماجستير في العلوم الزراعية / المحاصيل الحقلية.


رئيس اللجنة

أ.د. ليلى إسماعيل محمد

كلية علوم الهندسة الزراعية - جامعة بغداد


عضوأ

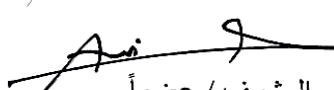
أ.د. حميد عبد خشان

كلية الزراعية - جامعة كربلاء

عضوأ

أ.د. رزاق لفته اعطيه

كلية الزراعة - جامعة كربلاء


المشرف / عضوأ

أ.م.د. علي ناظم فرهود

كلية الزراعة - جامعة كربلاء

صادقت الرسالة من قبل مجلس كلية الزراعة - جامعة كربلاء


أ.د. ثامر كريم خضرير

العميد وكالة

2023. 7. 26

الله رب العالمين

الله من انا نار و ربي ومنكى الله اعلى

والله

الله من طال نظره اما لا يلمسه و يدره ما سره فوجده للدعا

والله

الله من خسرني بمحبه و حطنه نفراً ولا يعذر لازماً

اخونى والاخواتى

الله من اخنارها قلبى و محلى من اجلنى الصغار

زوجتى العزيزة

العزيزه الحياه الرفقاء ... ابني فاطمه، ملاك، حميس

الحمد لله رب العالمين والصلوة والسلام على سيدنا محمد وعلی‌الله الطیبین الطاهرین وعلی‌صحابہ وآلہ
وللهم إلیک بوس الدهرین.

أنت مصالحه النكر وعيون الامساك لا لا الدكتور حلي فاطمع فهو ونقوله الالبراف على كتابة
هذه الرسالة، ونوجيهها للسريره وعلمي ما قدره من ملامح خلاص علمية قيمة، ولائمه له دوام التوفيق
والسرار.

كما انتُخُب بالشّكّ عياديَة كلية الزراعة / جامعة كربلاء واطهية التدريسيّة فيها
ولقد انتُخُب بالشّكّ العزيزلي لارئييس قسم المحاصيل الحقلية وبمجمع الكادر التدريسي.

بلذكر المزيل للرئيس والأشخاص بمنتهى المناقضة للأفاضل الذين تغسلوا بالقبول لمناقضة هذه الرسالة.
كما اتفق بمذكرة زملائي طيبة الدراسات العليا لتعاونهم الأخرى الصادرة
وأخص بالذكر فلاح كاظم ويوسف منعم.

شکری و نادری لارامی و صدیقی سلیمانی و جعفر رضا
کمال شکری و تأثیری موصول بجمعی من آن رفی و وقف ایرانی طبله مدرة الدر لاسه و لم نسعنا النذر
نونه کرم.

المستخلاص

نفذت تجربة حقلية في الموسم الريعي 2022 في حقل تجارب المزرعة الارشادية في المهندسية التابع إلى المركز الارشادي التدريبي في محافظة بابل على بعد 8 كم شمالي المحافظة والواقعة ضمن خط عرض 32°31' شمالاً وخط طول 44°21' شرقاً ، بهدف دراسة تحمل اربعة اصناف من الذرة الصفراء للإجهاد المائي. نفذت تجربة بثلاث مكررات وفق تصميم القطاعات الكاملة المعاشرة بترتيب الألواح المنشقة وبعاملين ، شملت الألواح الرئيسية معاملات حجب الري وهي الري بعد استفاد 50% من الماء الجاهز (معاملة مقارنة GS0)، وحجب ريه واحدة عند مرحلة الاستطالله (GS-V7)، وحجب رية واحدة عند مرحلة امتلاء الحبة (GS-R2)، ومعاملة حجب رية واحدة عند الاستطالله وامتلاء الحبة (GS-V7+R2)، اما الالوح الثانية تضمنت اربعة اصناف من الذرة الصفراء هي : الفرات و دجلة و ZP و كونسينز.

أظهرت النتائج مايلي :

حجب الري عند مرحلة الاستطالله (GS-V7) سبب انخفاضاً معنوياً في عدد الأيام حتى 50% تزهير ذكري وانثوي و المساحة الورقية ودليلها والوزن الجاف للنباتات اذ أعطت متوسطات بلغت 57.00 و 59.50 يوماً و 1873.76 سم² نبات⁻¹ و 1.00 و 210.67 غم نبات⁻¹ بالتنابع وان حجب الري عند الاستطالله (GS-V7) و حجب رية واحدة عند الاستطالله وامتلاء الحبة (GS-V7+R2) سبب انخفاضاً معنوياً بأعداد الصفوف للعرنوص وعدد الحبوب بالصف وزن 500 حبة اذ أعطت متوسطات بلغت 11.65 و 11.02 صف عرنوص⁻¹ و 26.77 و 23.23 حبة صف⁻¹ و 54.90 و 63.94 غم بالتنابع وان حجب رية عند مرحلة الاستطالله (GS-V7) وحجب رية عند امتلاء الحبة (GS-R2) وحجب رية واحدة عند الاستطالله وامتلاء الحبة (GS-V7+R2) سبب انخفاضاً معنوياً في حاصل الحبوب بمتوسطات بلغت 5.36 و 4.54 و 4.13 ميكا غرام هـ⁻¹ ، وكذلك سبب انخفاضاً معنوياً في الحاصل البايولوجي بمتوسطات بلغت 13.54 و 15.53 و 12.13 ميكا غرام هـ⁻¹. بالتنابع حيث بينت النتائج ان حجب الري سبب انخفاضاً معنوياً في متوسط كفاءة استعمال الماء لحاصل الحبوب، اذ أعطت المعاملات GS-V7 و GS-V7+R2 اقل المتوسطات بلغت 0.89 و 0.79 و 0.77 كغم م⁻³ بالتنابع، مقارنة بمعاملة الري الكامل (GS0) التي أعطت متوسط بلغ 1.15 كغم م⁻³ بالتنابع وان حجب الري عند مرحلة الاستطالله

(Gs-V7) سبب زيادة معنوية في تعبير جين ZmMYBE1 و AP2 عند المراحل الخضرية ,اما في المراحل التكاثرية فلم يكن هنالك تأثيراً معنواً لمعاملات حجب الري في جين ZmMYBE1 بينما سبب حجب الري زيادة معنوية للتعبير النسبي لجين AP2 اذاعطى صنف الفرات اعلى مساحة ورقية ودلائلها والوزن الجاف للنبات وعدد الصفوف في العرنوص وعدد الحبوب في الصف اذ أعطت متوسطات بلغت 3057.57 سم² نبات⁻¹ و 1.63 و 260.34 غم نبات⁻¹ و 17.58 صف عرنوص⁻¹ و 37.58 حبة صف⁻¹ بالتتابع وجد ان صنف الفرات الأقل تأثراً في المساحة الورقية ودلائلها والوزن الجاف للنبات تحت معاملة حجب رية عند الاستطاللة (Gs-V7) بنسبة بلغت 37.45% و 37.31 و 21.18% بالتتابع, بينما صنف الكونسيز كان الأكثر تأثراً بنسبة بلغت 56.66 % و 56.82% و 35.95% واختلف أداء الأصناف تحت معاملات حجب الري اذ اظهر صنف الفرات تحمل اعلى للجفاف بناء على صفات النمو الخضري والحاصل عند فرض الاجهاد عند مرحلتي الاستطاللة (GS-V7) ومرحلة امتلاء الحبة (GS-R2). لذا يمكن ان نستنتج ان للجينين ZmMYBE1 و AP2 دوراً مهماً في زيادة تحمل الأصناف للجهاد المائي وهذا ما لوحظ من زيادة تعبيرهما في صنف الفرات تحت ظروف الجفاف.

قائمة المحتويات

الصفحة	المحتويات	ت
1	المقدمة	1
3	مراجعة المصادر	2
3	الاجهاد المائي	1-2
4	التأثيرات الفسيولوجية للاجهاد المائي	1-1-2
4	الاحتياجات المائية لمحصول الذرة الصفراء	2-1-2
5	كفاءة إستعمال الماء	3-1-2
6	تأثير الاجهاد المائي في صفات النمو الخضري للذرة الصفراء	4-1-2
8	تأثير الاجهاد المائي في بعض المعايير الفسيولوجية والبايكيمائية للذرة الصفراء	5-1-2
10	تأثير الاجهاد المائي في مكونات الحاصل للذرة الصفراء	6-1-2
11	- تأثير الاجهاد المائي في الحاصل البايولوجي للذرة الصفراء	7-1-2
12	تأثير الاجهاد المائي في حاصل الحبوب للذرة الصفراء	8-1-2
12	تكيف اصناف الذرة الصفراء لتحمل الجفاف	2-2
16	الآليات المورفولوجية لتحمل الجفاف	3-2

16	تقنية تفاعل البلمرة المتسلسل التقليدي Conventional PCR	4-2
18	تقنية تفاعل البلمرة المتسلسل الكمي او الاني Quantitative real time polymerase chain reaction (qPCR)	1-4-2
19	طرق تحليل قيم تقنية qPCR	2-4-2
21	جينات تحمل الجفاف في الذرة الصفراء	5-2
23	المواد وطرائق العمل	3
23	موقع التجربة	1-3
24	خصائص التربة الحقيقة	2-3
25	تحضير الأرض والتصميم التجريبي والمعاملات	3-3
25	ممارسات خدمة المحصول	4-3
26	أرواء الألواح التجريبية	5-3
26	طريقة قياس و متابعة الاستنفاد الرطوبوي للتربة	6-3
27	حساب كميات مياه الري	7-3
28	الاجهزة والمواد الكيميائية المستعملة في تشخيص جينات تحمل الجفاف	9-3
28	الأجهزة	1-9-3
29	المواد و المحاليل الكيميائية	2-9-3

30	تشخيص الجينات المسئولة عن تحمل الاجهاد المائي في الذرة الصفراء	10-3
30	استخلاص الحمض النووي الريبوزي منقوص الاوكسجين (DNA) من النبات	11-3
32	قياس نقاوة وتركيز الحامض النووي DNA.	12-3
32	استعمال تقنية تفاعل البلمرة المتسلسل (PCR) لتضخيم جينات تحمل الاجهاد المائي	13-3
34	الترحيل الكهربائي لنتائج PCR باستعمال هلام الاكاروز	14-3
36	التعبير لجينات تحمل الاجهاد PA2 و ZmMYBE1	15-3
36	استخلاص الحامض النووي RNA	16-3
39	قياس نقاوة الحامض النووي RNA	1-16-3
39	تقنية التفاعل التكراري اللحظي لتحديد قيمة التعبير الجيني	17-3
42	الصفات قيد الدراسة	18-3
46	التحليل الإحصائي	19-3
47	النتائج والمناقشة	4
47	تشخيص جين AP2. و ZmMYBE1	1-4
48	تأثير معاملات حجب الري في عتبة الدورة (CT) والتعبير النسبي لجين ZmMYBE1 في اوراق اصناف الذرة الصفراء عند المرحلة الخضرية والتكاثرية.	2-4
52	تأثير معاملات حجب الري في عتبة الدورة (CT) والتعبير النسبي لجين	3-4

	AP2 في اوراق اصناف الزرة الصفراء عند المرحلة الخضرية والتكاثرية.	
56	مدة النمو	4-4
56	عدد الايام حتى 50% تزهير ذكري (يوم)	1-4-4
57	عدد الايام من الزراعة حتى 50% تزهير انثوي (يوم)	2-4-4
59	الصفات الفسيولوجية	5-4
59	محتوى الاوراق من الكلورو فيل الكلي (ملغم 100 غم⁻¹ وزن طري)	1-5-4
60	تركيز البرولين في الاوراق (ميكرومول غم⁻¹)	2-5-4
62	محتوى الماء النسبي (%)	3-5-4
63	تركيز الهرمونات النباتية في الاوراق (ميكرومول غم⁻¹)	4-5-4
66	فعالية الانزيمات (وحدة امتصاص غم⁻¹)	5-5-4
68	الصفات الخضربة	6-4
68	ارتفاع النبات (سم)	1-6-4
69	المساحة الورقية (سم² نبات⁻¹)	2-6-4
71	دليل المساحة الورقية	3-6-4
72	الوزن الجاف للنبات (غم نبات⁻¹)	4-6-4
74	مكونات الحاصل	7-4

74	عدد الصفوف في العرنوص (صف عرنوص ¹⁻)	1-7-4
75	عدد الحبوب في الصف (حبة صف ¹⁻)	2-7-4
77	وزن 500 حبة (غم)	3-7-4
78	حاصل الحبوب (ميكا غرام ه ¹⁻)	8-4
80	الحاصل البايولوجي (ميكا غرام ه ¹⁻)	9-4
81	كفاءة استعمال الماء لحاصل الحبوب (كغم م ³)	10-4
83	الاستنتاجات والمقترنات	5
83	الاستنتاجات	1-5
83	المقترنات	2-5
85	المصادر	6
85	المصادر العربية	1-6
87	المصادر الأجنبية	2-6
108	الملاحق	7

قائمة الجداول

الصفحة	عنوان الجدول	رقم الجدول
13	بعض اليات التكيف مع الجفاف	1
14	المعايير المورفوفيزيولوجية للتأقلم مع الجفاف	2
24	بعض الخصائص الفيزيائية والكيميائية [*] لترابة الحقل وللعمق 0-0.40 م	3
25	أصناف الذرة الصفراء الداخلة في الدراسة	4
28	الأجهزة المستعملة في البحث	5
29	المحاليل و المواد الكيميائية المستعملة في البحث	6
30	عدة استخلاص الحامض النووي الريبيوزي منقوص الاوكسجين DNA	7
32	البودى المتخصصة بتشخيص جين PA2 و ZmMYBE1 المسؤولة عن تحمل الاجهاد المائية في الذرة الصفراء المستعملة في تفاعل البلمرة المتسلسل PCR	8
33	مكونات عدة تفاعل البلمرة المتسلسل (i-Taq) Maxime™ PCR PreMix (K6at.No 25025)	9
33	تراكيز مكونات خليط تفاعل البلمرة المتسلسل PCR	10
34	برنامج ظروف تفاعل البلمرة المتسلسل PCR لتضخيم جين ZmMYBE1 و PA2	

		11
37	مكونات عدة استخلاص الحامض النووي الريبوزي RNA	12
40	البادئ المتخصص لجينات تحمل الاجهاد المائي المستعملة في تفاعل البلمرة المتسلسل اللحظي الكمي qPCR	13
40	مكونات عدة لتحضير التفاعل التكراري اللحظي (Master Mix GoTaq® Probe RT-qPCR)	14
41	مكونات التفاعل التكراري اللحظي (RT-qPCR)	15
42	برنامج ظروف تفاعل (RT-qPCR) لجينات تحمل الاجهاد المائي AP2 و ZmMYBE1	16
50	تأثير معاملات حجب الري في عتبة الدورة (CT) والتعبير النسبي لجين ZMMYBE1 في اوراق اصناف الذرة الصفراء عند المرحلة الخضرية.	17
51	تأثير معاملات حجب الري في عتبة الدورة (CT) والتعبير النسبي لجين ZMMYBE1 في اصناف الذرة الصفراء عند المرحلة التكاثرية.	18
54	تأثير معاملات حجب الري في عتبة الدورة (CT) والتعبير النسبي لجين AP2 في اصناف الذرة الصفراء عند المرحلة الخضرية.	19
55	تأثير معاملات حجب الري في عتبة الدورة (CT) والتعبير النسبي لجين AP2 في اصناف الذرة الصفراء عند المرحلة التكاثرية.	20
57	تأثير حجب الري في عدد الايام من الزراعة حتى 50% تزهير ذكري (يوم) لأربعة اصناف من الذرة الصفراء	21
58	تأثير حجب الري في عدد الايام من الزراعة حتى 50% تزهير انثوي (يوم) لأربعة اصناف من الذرة الصفراء	22

60	تأثير حب الري على محتوى الكلورو فيل (ملغم 100 غم⁻¹ وزن طري) لأربعة اصناف من الذرة الصفراء	23
61	تأثير حب الري على تركيز البرولين (ميكرومول غم⁻¹) (لأربعة اصناف من الذرة الصفراء	24
63	تأثير حب الري في محتوى الماني النسبي (%) لاربعة اصناف من الذرة الصفراء	25
64	تأثير حب الري في IAA (ميكرومول غم⁻¹) لأربعة اصناف من الذرة الصفراء	26
65	تأثير حب الري في تركيز الجبرلين (ميكرومول غم⁻¹) لاربعة اصناف من الذرة الصفراء	27
65	تأثير حب الري في تركيز السايتوكاينين (ميكرومول غم⁻¹) لاربعة اصناف من الذرة الصفراء	28
67	تأثير حب الري في فعالية إنزيم بيروكسيديز(وحدة امتصاص غم⁻¹) (لأربعة اصناف من الذرة الصفراء	29
67	تأثير حب الري في تركيز إنزيم الكاتليز(وحدة امتصاص غم⁻¹) (لأربعة اصناف من الذرة الصفراء	30
69	تأثير حب الري في ارتفاع النبات (سم) لأربعة اصناف من الذرة الصفراء	31
70	تأثير حب الري في المساحة الورقية (سم² نبات⁻¹) لأربعة اصناف من الذرة الصفراء	32
72	تأثير حب الري على دليل المساحة الورقية لاربعة اصناف من الذرة الصفراء	33
73	تأثير حب الري على الوزن الجاف (غم نبات⁻¹) لأربعة اصناف من الذرة الصفراء	34
75	تأثير حب الري في عدد الصفوف بالعنوص (صف عنونص⁻¹) اصناف من الذرة الصفراء	35

76	تأثير حجب الري في عدد الحبوب بالصف (حبة صف ⁻¹) لأربعة اصناف من الذرة الصفراء	36
78	تأثير حجب الري في متوسط وزن 500 حبة (غم) لأربعة اصناف من الذرة الصفراء	37
79	تأثير حجب الري في متوسط حاصل الحبوب (ميكا غرام ه ⁻¹) لأربعة اصناف من الذرة الصفراء	38
81	تأثير حجب الري في متوسط الحاصل البايولوجي (ميكا غرام ه ⁻¹)لأربعة اصناف من الذرة الصفراء	39
82	تأثير حجب الري في متوسط كفاءة استعمال الماء (كغم م ⁻³)لأربعة اصناف من الذرة الصفراء	40

قائمة الاشكال

رقم الشكل	عنوان الشكل	الصفحة
1	نسب الانخفاض في حاصل حبوب الذرة الصفراء عند مراحل نمو مختلفة	15
2	مراحل تفاعل qPCR	21
3	منحنى الوصف الرطبوبي لنترية الحقل	23
4	الدليل القياسي للحامض النووي DNA	35
5	ترحيل نواتج تفاعل PCR لبوداي جين ZmMYBE1 مع معاملة مقارنة (N.C) بدون اضافة DNA الى بقية المكونات المطلوبة لتفاعل البلمرة المتسلسل . بالإضافة الى احجام سلم الحامض النووي (DNA ladder) مثبتة على الجانب اليسير من الشكل.	47
6	ترحيل نواتج تفاعل PCR لبوداي جين AP2 مع معاملة مقارنة (N.C) بدون اضافة DNA الى بقية المكونات المطلوبة لتفاعل البلمرة المتسلسل . بالإضافة الى احجام سلم الحامض النووي (DNA ladder) مثبتة على الجانب اليسير من الشكل.	48

قائمة الملحق

الصفحة	عنوان الملحق	رقم الملحق
108	كمية المياه المستعملة (m^3) في الري	1
109	لتأثير حجب الري واصناف الذرة الصفراء ولتحليل التباين وفق متوسطات MS المربعات والتدخل بينهما للصفات المدروسة	2

١- المقدمة

يعد الجفاف من المشاكل الرئيسية التي تحدد الإنتاج الزراعي في المناطق الجافة وشبه الجافة من العالم، اذ ينطوي الجفاف تحت مفهوم الامن المائي والذي هو جزء مهم منه ، اذ تعتبر الموارد المائية احد العوامل الرئيسية المحددة للإنتاج الزراعي وتطوره ، فال موقف المائي الحالي والمستقبل في العراق يستدعي وضع ادارة جيدة للمصادر المائية بهدف الاستغلال الامثل للمياه. وواحدة من اساليب الادارة هو تطبيق اسلوب الري الناقص (deficit irrigation) بهدف زيادة كفاءة استعمال الماء الذي يعد هدفا اساسيا لعملية الري في المناطق الجافة و شبه الجافة من العالم، والتي ربما هي التي تحقق عملية المقاومة للجفاف (Zou وآخرون, 2021) ونظراً لترابيد عدد سكان العالم ، اصبح من الضروري تحسين غلة وإنتاج المحاصيل المهمة في ظل الظروف العادبة وظروف العجز المائي ، اذ تعد الذرة الصفراء (*Zea mays L.*) من محاصيل الحبوب المهمة في العراق والعالم، اذ تصنف كثالث محصول اساسي بعد الحنطة والرز (Liu وآخرون, 2021)، فهي من بين المحاصيل التي تسهم في استقرار الامن الغذائي الا ان هذا المحصول يتعرض لظروف نقص المياه الذي له تأثير كبير على إنتاجية الذرة وتوسيع إنتاجها. لذا نشأت حاجة متنامية إلى إنتاج أصناف من الذرة الصفراء يمكنها النمو وإعطاء محصول جيد في بيئات تعاني من نقص المياه، اشار Chukwudi (2021) ان زراعة بعض اصناف الذرة الصفراء ذات صفة تحمل للجفاف المائي كفيلة الى حل مشكلة الجفاف ولا سيما ان هذا المحصول صيفي ومتطلباته المائية عالية، وان صفة تحمل الجفاف مسيطر عليها وراثيا، لذا فان تحديد اصناف الذرة الصفراء الحاملة لجينات تحمل الجفاف باستعمال ادوات التكنولوجيا الحيوية الجديدة ومنها العلامات المعتمدة على الحامض النووي DNA يمكن الوثوق بها لقياس التنوع الوراثي في الذرة خلافا لصفات الشكل الظاهري والكميائية الحياتية التي ربما تتأثر بالعامل البيئية وعمليات النمو التي تستغرق وقتا طويلا جدا، لان علامات الحامض النووي تعطي تصورا سريا عن التسلسل الجيني في النبات، وبالتالي تمكنا من الكشف عن الاختلافات الوراثية التي تحملها الإفراد المختلفة، اذ إن تقنية PCR ساعدت في الكشف عن جينات تحمل الجفاف المائي كما درس الباحثون مقدار التعبير الجيني للعديد من الجينات عن طريق تقنية الحديثة qPCR Quantitative real time PCR والتي تمكنا من البحث عن مصادر وراثية جديدة تمتلك صفة تحمل الجفاف (Luo وآخرون, 2018).

ان الآليات التي تزيد من تحمل الذرة الصفراء للجفاف مسيطر عليها من جينات خاصة تسمى بجينات تحمل الجفاف والتي تختلف من تركيب وراثي لأخر حسب درجة تحمله للجفاف وهي المسؤولة عن إحداث التغيرات في درجة تحمل الجفاف بين الأصناف أو التراكيب الوراثية، وعلى هذا الأساس تم الكشف عن

الكثير من الجينات المسئولة عن تحمل للجفاف في محصول الذرة الصفراء والتي لها دور في تحمل النباتات للجفاف مثل جين ZmMYBE1 و AP2, اذ يعدان هما المسؤولين عن تحمل نباتات الذرة الصفراء للجفاف من خلال دورهما الحيوي في تنظيم نمو النبات وتطوره والاستجابة الدفاعية ضد الاجهادات الاحيوية (Sun واخرون, 2022).

لذا هدفت هذه الدراسة إلى :-

- 1- استعمال جينين ZmMYBE1 و AP2 كمؤشر للكشف عن تحمل اربعة اصناف الذرة الصفراء المتحملة للجفاف و تحديد قيمة تعبير الجين لها.
- 2- تقييم اداء اربعة اصناف من الذرة الصفراء بمعايير النمو والحاصل تحت معاملات حجب الري.
- 3- تحديد الاحتياجات المائية لاربعة اصناف من الذرة الصفراء لتحقيق اعلى استعمال مائي.
- 4- تحديد مراحل نمو وتطور المحصول الاكثر تأثرا بنقص المياه .

2 – مراجعة المصادر

1-2 - الإجهاد المائي

يمكن ان يعرف الاجهاد بانة كل عائق يخوض الاتاج الى حدود ادنى مقارنة بما يفترض ان تتحققه القدرات الوراثية للنبات (Turner و Jones 1980, Kramer و Jones 1989) فقد عرفا الاجهاد على انه كل قوة او تأثير ضار يعطى النشاط المعتاد لأي جهاز نباتي, لذا يمكن ان نعرف الاجهاد المائي على انه عجز بتوفير الماء للنبات لفترة زمنية مما يعمل على احداث ضرر للنبات. يحدث الاجهاد عند استنزاف الماء الظاهر في منطقة الجذور مما ينتج عنه تساوي الجهد المائي للتربة مع الجهد المائي للنبات مما يفقد النبات القدرة على امتصاص الماء والمواد الغذائية مما يجعله اكثر عرضة للوصول الى نقطة الذبول الدائم (Levitt و اخرون 2018). تختلف النباتات من حيث الاليات التي تمتلكها لمقاومة الجفاف, اذ قسمها (pandit) الى النباتات الهاربة من الجفاف (drought escaping plants) وهي النباتات التي لها القابلية على إكمال دورة حياتها بمدة قصيرة وجعل نموها يقتصر على المراحل التي تكون فيها الظروف المائية ملائمة, اما النباتات المتجنبة للجفاف (drought avoidance plants) وهي النباتات التي لها القابلية على الاحتفاظ بجهد مائي مرتفع في أنسجتها اما باستخلاص ماء أكثر من التربة أو باستعمال ماء التربة بصورة بطيئة في المراحل المبكرة من الجفاف, والقسم الاخير هي النباتات المتحملة للجفاف (plants drought tolerant) وهي النباتات التي لها قابلية المحافظة على جهد مائي منخفض في خلاياها أو أنسجتها من خلال تركيز بعض الذائبات مثل السكريات بآلية تسمى التنظيم الازموزي (osmoregulation) مما يساعدها على القيام بفعاليتها الإحيائية بواسطة هذه الآلية ومقدرتها على استعادة نموها بعد زوال تأثير الجفاف.

يمكن أن نقسم الاجهاد المائي تبعاً لشدة تأثيره في الانسجة النباتية على عدة مستويات منها الاجهاد الطفيف Mild stress اذ يتراوح فيه الجهد المائي أقل من 12 بار أي ما يعادل عجز ماء التشبع 8-10% والاجهاد المعتدل Modrate stress حيث تتراوح فيه قيمة الجهد المائي بين 12-15 بار أي ما يعادل 10-20% من قيمة عجز ماء التشبع اما الاجهاد الشديد او القاسي Sever stress فهو الذي تنخفض فيه قيمة الجهد المائي للخلايا النباتية إلى أكثر من 15 بار بما يعادل 20% او أكثر من عجز التشبع (Shanker و Venkateswarlu 2011 ، Steinberg 2012). لقد بدء الباحثون ومنذ مدة ليست بالقليلة بدراسة نقص المياه و مختلف تأثيراتها السلبية على البيئة والنبات، حيث تعد احد اهم المشاكل اللاحيائية التي تواجه الإنتاج الزراعي فهي تؤثر على نمو المحصول ابتداءً من مرحلة الابنات وبزوغ البادرات وانتهاءً بالمراحل النهائية

من دورة حياته، ان التأثير السلبي الذي تحدثه على العمليات الفسلجية والحيوية في النبات. قد يسبب اختلال في التركيب الكيمياوي للجدار الخلوي وعدم انتظام الاغشية الخلوية وهدم البروتينات والبروتوبلازم وخلل في عمليات فسيولوجية مهمة منها التمثيل الكاربوني وتقليل فعاليات الانزيمات فضلاً عن التأثيرات في الشكل المورفولوجي للنبات، وكذلك انتاج أنواع (ROS) Reactive oxygen species () التي تسبب تلف للأغشية الخلوية وتحلل البروتينات والأحماض النوويه وغيرها (Tari و Basu ، 2016 و Vaughan و آخرون، 2016 و Vaughan و آخرون، 2018).

2-1-1- التأثيرات الفسيولوجية للاجهاد المائي

ان آلية تحمل النباتات للجفاف يمكن ان تعتبر صفة معقدة تتضمن العديد من الخصائص المورفولوجية والتشريحية والفسيولوجية والبايكيميائية والوراثية التي تحكم فيها جينات عدة ذات تأثيرات مختلفة ، بعض النباتات تمتلك العديد من الآليات التكيفية للاستجابة للاجهاد المائي، منها التغيرات المورفولوجية أو التغيرات في العمليات الفسيولوجية والكيميائية الحيوية (Barnabás و آخرون، 2008). بين Flexas و آخرون (2006) ان الاجهاد المائي يقلل من معدل التمثيل الكاربوني بشكل غير مباشر عن طريق إغلاق الثغور أو بشكل مباشر عن طريق تقليل مقدرة وكفاءة التمثيل الكاربوني للأوراق. ان صفة اختزال المساحة الورقية تعد من ابرز الآليات التي يلجأ اليها النبات لمواجهة ظروف نقص المياه، فهي تقلل فقد الماء من النبات عن طريق النتح، إن اختزال المساحة الورقية يتأنى عن طريق تقليل نشوء الأوراق الجديدة واتساعها أو التعجيل بشيخوخة وأسقاط الأوراق (Prasad و آخرون، 2008).

2-1-2- الاحتياجات المائية لمحصول الذرة الصفراء

تعتمد الاحتياجات المائية لأي محصول على عوامل عديدة منها الصنف المزروع ونسجة التربة والظروف المناحية، فضلاً عن عمليات خدمة التربة والمحصول. ان دراسة الاحتياجات المائية للمحاصيل في بعض المناطق مثل المناطق الجافة وشبه الجافة ذات أهمية كبيرة في استعمال مياه الري استعمالاً فعالاً وكفوءاً في تطوير انظمة الري وتزويد النبات بالاحتياجات المائية الفعلية، كما ان إدخال واستثمار أراض جديدة في الزراعة يتطلب تقدير المتطلبات المائية للمحاصيل التي ستزرع فيها ومقارنتها بالمصادر المائية المتوفرة ، ان مفهوم المتطلبات المائية يكون مشابهاً لمفهوم التبخر- نتح ويكون لبعض المحاصيل تقريراً متساوياً في قيمته مع قيمة التبخر- نتح باعتبار قيم الماء المستهلكة في بناء انسجة النبات قليلة مقارنة مع قيم التبخر- نتح (أرحيم، 2015). يعرف الاستهلاك المائي على انه مجموع ما يفقد من الماء عن طريق النتح

(T) بوساطة النبات وكمية الماء المفقود بالتبخر (E) من سطح التربة وكمية المياه المستعملة في بناء انسجة النبات نفسه، وتحسب هذه الكمية بما يساويها من المليمترات من الماء عمّاً بموجب طرائق ومعدلات عدة (Allen وآخرون، 1998). ان المعلومات عن معدل الاستهلاك المائي للمحاصيل تكون الأساس في اختيار المحاصيل الملائمة للمنطقة في ظل كميات المياه المتوفّرة تبعاً لأسس مجذبة اقتصادياً ، تعتمد على مقدار العائد من المحصول وطبقاً لكفة الوحدة الواحدة من المياه المستهلكة (Al-janabi، 2008). يُعد تقدير الاستهلاك المائي للمحصول من الامور الاساسية لأي مشروع اروائي كونه يمثل المرحلة الاولى والمهمة لخطيط الإدارة المثلث للمياه، الذي سيساعد في تنظيم كمية ومواعيد الري اللازمة للمحصول. تختلف الدراسات في تقدير الاستهلاك المائي للذرة الصفراء وذلك بحسب الظروف البيئية وموسم النمو وصفات التربة وغيرها. وتوصل فالح وصالح (2012) ان الاستهلاك المائي الفعلي لمعاملة الري الكامل للذرة الصفراء بلغ 610 ملم موسم¹. في المغرب توصل Bouazzama (2012) إلى ان الاستهلاك المائي لمحصول الذرة الصفراء بلغ 535 ملم موسم¹. وفي سوريا 475 ملم موسم¹ (عوادة وآخرون، 2016). أما في العراق توصل عبود ومهدى، (2016) إن الاستهلاك المائي لمحصول الذرة الصفراء هو 699 ملم موسم¹. بينما توصل Abdulameer و Ahmed (2018) ان الاستهلاك المائي للذرة الصفراء في وسط العراق بلغ 414 ملم موسم¹.

2-3- كفاءة استعمال الماء

إن مفهوم كفاءة استعمال المياه بشكل موجز يمكن تعريفه على انه حاصل المحصول القابل للتسويق لكل وحدة ماء مستعمل في التبخر – نتح ، أيضاً يصح التعبير عنه بمقدار انتاجية وحدة الماء (المعيني و العبيدي، 2018). كفاءة إستعمال الماء للمحصول تعتمد على عدة عوامل ، تشمل جوانب مختلفة منها الخصائص الفسيولوجية، والطبيعة الوراثية للمحاصيل، وخصائص التربة ومدى قدرتها على الاحتفاظ بالماء، ومعدل ارتفاع وانخفاض درجات الحرارة (Asare وآخرون، 2011). أشار Singh (2014) إلى إن كفاءة استعمال الماء تتأثر ضمن الانظمة الزراعية بمجموعة من العوامل منها الظروف المناخية وطبيعة التربة وطبيعة النبات، كما ويمكن رفع كفاءة الاستعمال المائي بإحدى الطريقتين اما عن طريق زيادة الحاصل او الادخار في كميات الماء المستعملة .أشار جبر و تعبان (2016) إلى ان زيادة كفاءة استعمال الماء قد تأتي من تقليل كميات الري مما يجعل النبات يبذل جهداً أكبر في إمتصاص الماء والمعذيات من التربة ليعطي أعلى قدر ممكن من الانتاجية. أشار عبد العظيم و أحمد (2017) إلى ان كفاءة استعمال الماء للذرة الصفراء تقل تحت الشد المائي نتيجة تأثير نمو توسيع الاوراق وقلة اعتراض الضوء ومن ثم تأثير عملية التمثيل الكاربوني

وانعكاس ذلك سلباً على حاصل المادة الجافة والحبوب. أثبتت العديد من الدراسات ان قيم كفاءة استعمال الماء تتراوح من 1.1 كغم م⁻³ إلى 3.2 كغم م⁻³ للذرة الصفراء في الزراعة المروية ومن 0.6 كغم م⁻³ إلى 2.3 كغم م⁻³ في الزراعة المطيرية (Magaiia ، 2017). أظهرت نتائج دراسة Yuan وآخرون (2019) أن لمعاملات ري الذرة الصفراء بمعدل 555 و 370 و 277 ملم موسم¹ تأثيرياً معنوياً في كفاءة استعمال الماء وسجل، 1.08 و 1.22 و 1.10 كغم م³ ماء بالتتابع. اشار محمد واحمد (2017) بعد تطبيقهم تجربة حقلية على محصول الذرة الصفراء تضمنت حجب ري عند مرحلة الاستطاله ونشوء العرانيص و10% تزهير انثوي و الطور الحليبي والطور العجيبي، ان حجب الري عند مرحلة مرحلة الاستطاله ونشوء العرانيص و10% تزهير انثوي سبب انخفاضاً معنوياً في كفاءة استعمال الماء لحاصل حبوب الذرة الصفراء، اذ اعطت متوسطات بلغت 0.97 و 0.96 و 0.81 كغم م⁻³ ، بالتتابع، مقارنة بمعاملة بدون حجب الري التي اعطت متوسط بلغ 1.12 كغم م⁻³ ، بينما لم يكن هنالك تأثيراً معنوياً لحجب الري عند مرحلتي الطور الحليبي والعجيبي. ذكر Tas و Mutlu (2021) بعد تطبيقة تجربة حقلية على محصول الذرة الصفراء ان حجب الري عند مرحلة التزهير سبب زيادة معنوية في كفاءة الاستعمال المائي اذ اعطت متوسط بلغ 2.114 كغم م⁻³ ، مقارنة بمعاملة عدم حجب الري التي اعطت متوسط بلغ 1.369 كغم م⁻³ والتي لم تختلف معنويًا عن حجب الري عند النمو الخضري وامتلاء الحبة، بينما سببت معاملة حجب الري عند مرحلة امتلاء الحبة سبب زيادة معنوية في معامل الاجهاد المائي للمحصول اذ اعطت متوسط بلغ 0.33 كغم حبوب م⁻³ مقارنة بمعاملة حجب الري التي اعطت اقل متوسط .وضح Kar و Kumar (2015) بعد تطبيقهم تجربة حقلية على محصول الذرة الصفراء ان حجب الري عند مرحلة التزهير والاستطاله سبب انخفاض معنويًا في كمية الماء المستعمل و كفاءة استعمال الماء اذ اعطت متوسطات بلغ (300 و 180) ملم و (0.918 و 0.811) كغم م⁻³ بالتتابع مقارنة بمعاملة عدم حجب الري التي اعطت متوسط بلغ 360 ملم و 1.019 كغم م⁻³ بالتتابع اشار Mubeen وآخرون (2021) بعد تطبيقهم تجربة حقلية على محصول الذرة الصفراء ان حجب الري عند مرحلة الحريرة وامتلاء الحبة سبب انخفاضاً معنويًا في كفاءة الاستعمال المائي اذ اعطت متوسطين بلغاً 1.29 و 1.76 كغم م⁻³ ، بالتتابع مقارنة بمعاملة عدم حجب الري التي اعطت متوسط بلغ 1.52 كغم م⁻³ والتي لم تختلف معنويًا عن معاملة ظهور الحريرة.

4-1-2- تأثير الاجهاد المائي في صفات النمو الخضري للذرة الصفراء

ان المجموع الخضري هو الجزء الاكثر حساسية للجفاف لانه يمثل صافي نواتج التمثيل الكاربوني والذي يعتمد على التوازن بين عمليتي التمثيل الكاربوني والتنفس، اذ يسبب الاجهاد اختزال المساحة الورقية التي

تقوم باعتراض الاشعاع ومن ثم تقليل المادة الجافة المترادفة (احمد و بكر، 2009). لاحظ كل من Salim و Igbadum (2004) و Cakir (2008) ان حاصل المادة الجافة لمحصول الذرة الصفراء يعتمد على مرحلة النمو التي يحصل عندها نقص الماء، وتكرار نقص الماء، بغض النظر عما اذا كان في مرحلة واحدة او اكثر من مراحل النمو.

وضح Yasmin واخرون (2017) بعد تطبيقهم تجربة حقلية على محصول الذرة الصفراء ان حجب الري عند الاستطالة وظهور الحريره سبب انخفاضاً معنوياً في ارتفاع النبات اذ اعطى متسطين بلغاً 148.50 و 148.03 سم بالتابع مقارنة بمعاملة عدم حجب الري التي اعطت متوسط بلغ 150.60 سم. اشار Aslam واخرون (2021) بعد تطبيقهم تجربة حقلية عن محصول الذرة الصفراء ان حجب الري عند مرحلة الاستطالة سبب انخفاضاً معنوياً في ارتفاع النبات والمساحة الورقية اذ اعطت متسطات بلغت 199.90 سم و 517.18 cm^2 ، بالتتابع مقارنة بمعاملة عدم حجب الري التي اعطت متوسط بلغ 215.89 سم. و 585 سم² بالتتابع. وضح Kar و Kumar (2015) بعد تطبيقهم تجربة حقلية على محصول الذرة الصفراء ان حجب الري عند مرحلة التزهير والاستطالة سبب انخفاضاً معنوياً في دليل المساحة الورقية اذ اعطت متسطين بلغاً 4.07 و 5.39 بالتابع مقارنة بمعاملة عدم حجب الري والتي اعطت متوسط بلغ 5.53.

يعتمد الوزن الجاف الكلي للنبات على معدل النمو وطول موسم النمو تحت متغيرات بيئية اهمها الاشعاع الشمسي اليومي ودرجة الحرارة والماء Jones و Kiniry (1986).. ذكر سالم واخرون (2012) ان حاصل المادة الجافة للذرة الصفراء زاد عند معاملة الري الكامل، قياساً بحجبه عند مرحلة التزهير، وعززوا ذلك الى انخفاض مكونات المادة الجافة، وتفقّت هذه النتيجة مع ما توصل اليه Nejat واخرون (2009) بحصول انخفاض في حاصل المادة الجافة عند حجب الري خلال مراحل النمو قياساً بمعاملة الري الكامل. بينت نتائج Kuscu و Demir (2012) انخفاض حاصل المادة الجافة عند قطع الري في مرحلة النمو الخضري حيث اعطت اقل متوسط بلغ 28.90 طن هـ¹، بينما اعطت معاملة قطع الري عند مرحلة التزهير اعلى متوسط لهذه الصفة بلغ 29.18 طن هـ¹. اظهرت نتائج Oveysi واخرين (2010) ان هناك اختلافات معنوية بين المعاملات في حاصل المادة الجافة حيث اعطت معاملة الري الكامل اعلى متوسط بلغ 23.4 طن هـ¹، واعطت معاملة الاجهاد المائي خلال مرحلة النمو الخضري اقل متوسط لهذه الصفة بلغ 19.5 طن هـ¹. تبين من نتائج Yilmaz واخرون (2010) ان اقل متوسط لحاصل المادة الجافة كان عند معاملة قطع الري في مرحلة الاستطالة بمتوسط بلغ 2.15 و 2.06 كغم م³ و اعلى متوسط لهذه الصفة عند معاملة الري الكامل وبمتوسط 3.13 و 3.00 كغم م³ كما بين نفس الباحث ان طول العرنوص انخفض بمقدار 3 %

و4% عند حجب الري في مرحلة ظهور النورة الانثرية وللسنتين 2003 و 2004 بالتتابع. وضح Yasmin واخرون (2017) بعد تطبيقهم تجربة حقلية على محصول الذرة الصفراء ان حجب الري عند ظهور الحريرة سبب انخفاض معنويا في طول العرنوص اذ اعطى متوسط بلغ 15.20 سم مقارنة بمعاملة عدم حجب الري اذ اعطت متوسط بلغ 15.93 سم ولم تختلف معنويا عن حجب الري عند مرحلة الاستطالة. توصل Meskelu واخرون (2014) بعد تطبيقهم تجربة حقلية على محصول الذرة الصفراء ،ان حجب الري في مرحلة الاستطالة سبب انخفاض معنويا في طول العرنوص اذ اعطت متوسط بلغ 14.6 سم مقارنة بمعاملة عدم حجب الري والتي اعطت متوسط بلغ 18.3 سم ، لاحظ Moosavi (2012) ان هناك اختلافات معنوية بين معاملات قطع الري ومعاملة الري الكامل في صفة طول العرنوص، حيث اعطت معاملة الري الكامل اعلى متوسط بلغ 20.89 سم في حين اعطت معاملة حجب الري عند مرحلة عشرة ورقة اقل متوسط بلغ 12.99 سم. في حين ذكر Olaoye واخرون (2009) ان طول العرنوص قد زاد عند تعرض النبات للجهاد المائي حيث زاد من 16.1 سم لمعاملة الري الكامل الى 17.12 سم عند قطع الري بعد تكوين المتوك. اشار Ghadiri و Majidian (2003) الى ان طول العرنوص اخترز من 23.77 سم لمعاملة الري الكامل الى 22.04 سم عند حجب الري في مرحلة الطور الحليبي. ذكر Azarpanah واخرون (2013) ان طول العرنوص لم يتاثر بالجهاد المائي لجميع مراحل النمو حيث لم تظهر اي فروق معنوية بين معاملات الحجب.

2-1-2- تأثير الاجهاد المائي في بعض المعايير الفسيولوجية والبيوكيميائية للذرة الصفراء

ان تأثير حامض البرولين في الانسجة النباتية يزيد من تحمل النبات لمختلف الاجهادات ومنها اجهاد نقص الماء والذي تناولته دراسات متعددة ومدى تأثيره على النبات ،ان من ابرز تأثيرات الاجهادات غير الحيوية على النباتات المعرضة هي انتاج انواع متعددة من المواد المذابة العضوية، التي تتضمن جزيئات صغيرة من البرولين وهذه ماتسمى بالمنظمات الأزموزية أو المواد الذائبة التوافقية (Osmolytes) وهي تعمل على حماية النبات من الاجهادات عن طريق التكيفات الخلوية والتي تعمل على حماية وسلامة الأغشية واستقرارية الانزيمات (Farooq وآخرون، 2009). يسبب تراكم البرولين زيادة في عملية التنظيم الأزموزي داخل الخلية لموازنة الجهد الأزموزي للعصير الخلوي ويتركز حامض البرولين في السايتوبلازم (Moveni و Heidari ، 2009). يعد البرولين احد أنواع الاحماس الامينية وان تراكمه يعد من احدى الوسائل الدافعية التي يستعملها النبات لمواجهة ظروف الجفاف (Sinay واخرون، 2015)، ان تراكم حامض البرولين له دور ايجابي في تنظيم الجهد الأزموزي لخلايا النبات والذي يسهم في زيادة قابلية الخلايا

على سحب الماء والمغذيات من محبيط النمو ومن ثم المحافظة على استطالة الخلايا وفتح التغور وكفاءة عملية التمثيل الكاربوني والذي يؤدي بدوره إلى المحافظة على نمو النبات تحت ظروف الاجهاد المائي (Al shaheen واخرون،2016). ان تراكم البرولين في أوراق النبات يعد مؤشراً لحدوث نقص الماء ، ويعتبر غير سام للنبات ويساعد على خزن النتروجين الزائد والذي يستفاد منه النبات عند تعرضه للإجهاد (Zhang) ونقص الطاقة، لأن أكسدة كل وحدة من البرولين يحرر حوالي 30 ATP من الطاقة الضرورية للنبات و Becker،(2015).

ان ابرز تأثير للجهد المائي هو تحلل الصبغات النباتية مسبباً بذلك تلفاً في أجهزة عملية التمثيل الكاربوني، ومن بين اهم هذه الصبغات هي صبغة الكلوروفيل التي لها دور اساسي في عملية التركيب الضوئي ، ان انخفاض محتوى الكلوروفيل في اوراق نباتات الذرة الصفراء قد بلغ نسبة وصلت الى 12.75 % و 49.44 % عند قطع الري عند مرحلتي الاستطالة ومرحلة الاستطالة واملاء الحبة (Alam واخرون, 2014). ذكر Tas (2021) بعد تطبيقه تجربة حقلية على محصول الذرة الصفراء ان حجب الري عند مرحلة امتلاء الحبة سبب انخفاض معنويا في محتوى الكلوروفيل اذ اعطت متوسط بلغ 39.10 سباد مقارنة بمعاملة عدم حجب الري والتي اعطت متوسط بلغ 44.50 سباد والتي لم تختلف معنويا عن حجب الري عند النمو الخضري والتزهير. وضح Mubeen واخرون (2021) بعد تطبيقهم تجربة حقلية على محصول الذرة الصفراء 'ان حجب الري عند مرحلتي ظهور الحريرة واملاء الحبة سبب انخفاض في محتوى الكلوروفيل اذ اعطت متوسطين بلغا 26.3 و 28.3 (ملغم 100 غم⁻¹ وزن طري) باتباع مقارنة بمعاملة عدم حجب الري والتي اعطت متوسط بلغ 36.3 (ملغم 100 غم⁻¹ وزن طري), بينت نتائج Gholamin و Khayatnezhad (2012) ان اعلى محتوى من الكلوروفيل كان 61.93 ملغم غم⁻¹ عن معاملة الري الكامل اما عند مرحلة الاستطالة اعطي اقل محتوى من الكلوروفيل كان 44.71 ملغم غم⁻¹. ذكر Rafiee و Khayatnezhad (2011) انخفاض محتوى الكلوروفيل في اوراق نباتات الذرة الصفراء عند تعرضها للجهد المائي.

يمكن تصنيف النباتات المتحملة للجفاف على أساس محتوى الماء النسبي والذي يعتبر من المؤشرات المهمة في معرفة مدى تحمل النبات للجهد المائي وغيرها من الاجهادات الأخرى مما دعت الحاجة إلى قياسه كأحد المؤشرات المهمة في الدراسة. اوضح Abd ulameer و Ahmed (2018) إن الشد المائي قد يلعب دور رئيسي في انخفاض محتوى الماء النسبي لأوراق نباتات الذرة الصفراء اذ انه سبب نقصان الجهد المائي للترابة نجم عنه انخفاض قدرة النبات على إمتصاص الماء ومن ثم نقص محتوى الماء في الانسجة

النباتية، ان فقدان الماء من الاوراق عن طريق النتح قد سبب ارتفاع في درجات الحرارة وانخفاض في الرطوبة النسبية مما أدى ذلك الى عدم توزان عملي الامتصاص والتح و الذي بدوره انعكس سلباً على الحالة المائية للنبات. وضح Aslam وآخرون (2014) بعد تطبيقهم تجربة حقلية على محصول الذرة الصفراء ان حجب الري عند مرحلة الاستطالة سبب انخفاض في المحتوى المائي النسبي اذا اعطي متواسطين بلغا 44.96 % و 47.21 % بلتابع مقارنة بمعاملة عدم حجب الري والتي اعطت متواسط بلغ 69.05 %، اشار Sah و Zamora (2005) الى ان الاجهاد المائي على نبات الذرة الصفراء سبب انخفاض في محتوى الماء النسبي من 82.15 % في معاملة الري الكامل الى 72.39 % لمعاملة حجب الري عند مرحلة التكاثر.

أشار Aldesuquy (2014) الى ان الاجهاد المائي سبب وبشكل واضح نقص في محتوى الهرمونات النباتية المحفزة للنمو ومن هذه الهرمونات هي الأوكسينات، والجبرلينات، والسايتوكاينينات، كذلك يؤدي في الوقت نفسه إلى رفع محتوى ABA والاثيلين. ، أشار Bano وآخرون (1993) ان النباتات المعرضة لنقص الماء كان تركيز السايتوكاينينات في انسجتها النباتية منخفض وسرعان ما يعود إلى حالته الطبيعية بعد زوال هذا الشد ، وقد تم ملاحظة ذلك في النباتات ذات المستوى العالي من السايتوكاينينات، وقد أظهرت مقدرة تحمل أكبر للإجهاد المائي.

6-1-2 تأثير الاجهاد المائي في مكونات الحاصل للذرة الصفراء

وضح Jasim وآخرون (2020) بعد تطبيقهم تجربة حقلية على محصول الذرة الصفراء ان حجب الري عند مرحلتي الاستطالة وامتلاء الحبة سبب انخفاض معنويا بعدد الحبوب بالصف الواحد اذا اعطي متواسطين بلغا 30.2 و 30.6 حبة صف⁻¹ بالتتابع مقارنة بمعاملة عدم حجب الري والتي اعطت متواسط بلغ 33.2 حبة صف⁻¹ كما بين ان حجب الري عند مرحلة 8 اوراق ومرحلة امتلاء الحبة سبب انخفاض معنويا في عدد الصفوف بالعنونص اذ اعطي متواسطات بلغا 12.6 و 12.7 صف عرنوص⁻¹ بالتتابع مقارنة بمعاملة عدم الحجب الري التي اعطت متواسط بلغ 14.5 صف للعنونص ، اشار Babakhaani وآخرون (2013) بعد تطبيقهم تجربة حقلية على محصول الذرة الصفراء، ان حجب الري عند مرحلة ظهور الحريرة سبب انخفاضا معنويا في عدد الحبوب بالصف الواحد بنسبة 29 % مقارنة بمعاملة عدم حجب الري .بين Azarpanah و آخرون (2013) بعد تطبيقهم تجربة حقلية على محصول الذرة الصفراء، ان حجب الري عند الاستطالة سبب انخفاض معنويا في عدد الحبوب بالصف الواحد اذ اعطي متواسط بلغ 42.3 حبة صف⁻¹ مقارنة بمعاملة عدم حجب الري التي اعطت متواسط بلغ 48.85 حبة صف⁻¹.

توصل Babakhaani وآخرون (2013) بعد تطبيقهم تجربة حقلية على محصول الذرة الصفراء ان حجب الري عند مرحلة امتلاء الحبة سبب انخفاض معنويا في عدد صفوف العرنوص اذ اعطى متوسط بلغ 11.96 صف عرنوص¹ مقارنة بمعاملة عدم حجب الري والتي اعطت متوسط بلغ 14.03 صف عرنوص¹، وضح Azarpanah وآخرون (2013) بعد تطبيقهم تجربة حقلية على محصول الذرة الصفراء ان حجب الري عند مرحلة الاستطالة سبب انخفاض معنوبا بعدد الصفوف للعرنوص اذ بلغا 13.56 صف عرنوص¹ مقارنة بمعاملة عدم حجب الري والتي اعطت متوسط بلغ 15.16 صف عرنوص¹.

وضح Kar و Kumar (2015) بعد تطبيقهم تجربة حقلية على محصول الذرة الصفراء ان حجب الري عند مرحلة التزهير والاستطالة سبب انخفاض معنويا في وزن الف حبة اذ اعطت متوسطات بلغت 218 و 245 غ مقارنة بمعاملة عدم حجب الري التي اعطت متوسط بلغ 250 غ. اشار Jasim وآخرون (2020) بعد تطبيقهم تجربة حقلية على محصول الذرة الصفراء ان حجب الري عند مرحلة ثمان اوراق وامتناء الحبة سبب انخفاضا معنويا في وزن 500 حبة اذ اعطى متوسطين قد بلغا 30.19 و 30.6 غ بالتابع مقارنة بمعاملة عدم حجب الري التي اعطت متوسط بلغ 33.86 غ . وفي دراسة Moosavi (2012) وجد ان حجب ماء الري عند مرحلة امتلاء الحبوب لمحصول الذرة الصفراء خفض وزن 500 حبة الى 208.80 غ قياسا مع معاملة الري الكامل وحجبه عند مرحلتي عشرة ورقة وظهور النورة والذي بلغ 298.20 و 233.70 و 219.80 غ بالتابع.

2-1-2- تأثير الاجهاد المائي في الحاصل الباليولوجي للذرة الصفراء

وضح Kar و Kumar (2015) بعد تطبيقهم تجربة حقلية على محصول الذرة الصفراء ان حجب الري عن مرحلتي التزهير والاستطالة سبب انخفاض معنويا في الحاصل الباليولوجي اذ اعطت متوسطين قد بلغا 10430 و 10980 كغم هـ¹ بالتابع مقارنة بمعاملة عدم حجب الري التي اعطت متوسط بلغ 12700 كغم هـ¹ . بين Aslam وآخرون (2014) ان نقص الماء في مراحل معينة من حياة النبات يقلل من معدلات النمو و وزن اجزاء النبات حيث وجد ان الحاصل الباليولوجي لمحصول الذرة الصفراء قد انخفض من 12,565 و 13,860 كغم هـ¹ لمعاملة الري الكامل لالسنتين 2010 و 2011 بالتابع الى 9027.5 و 9987.5 كغم هـ¹ لمعاملة حجب الري في مرحلة خمسة ورقة لالسندين بالتتابع. اشار Jasim وآخرون (2020) بعد تطبيقهم تجربة حقلية على محصول الذرة الصفراء ان حجب الري عن مرحلتي ثمان اوراق

وامتناع الحبة سبب انخفاضاً معنوياً في الحاصل الباليوجي اذ اعطى متوسطين قد بلغا 16.84 و 17.09 طن هـ¹ بالتتابع مقارنة بمعاملة عدم حجب الري اذ اعطى متوسط بلغ 20.89 طن هـ¹.

2-1-8- تأثير الاجهاد المائي في حاصل الحبوب للذرة الصفراء

اشار Mubeen واخرون (2021) بعد تطبيقهم تجربة حقلية على محصول الذرة الصفراء تضمنت حجب الري عن مرحلتين ظهور الحريرة وامتناع الحبة سبب انخفاض في حاصل الحبوب اذ اعطى متوسطين قد بلغا 4165 و 4515 كغم هـ¹ بالتتابع مقارنة بمعاملة عدم حجب الري التي اعطت متوسط قد بلغ 6080 كغم هـ¹ والتي لم تختلف معنوياً عن معاملة ظهور الحريرة . ووضح Tas و Mutlu (2021) تطبيقه تجربة حقلية على محصول الذرة الصفراء تضمنت حجب الري عند المرحلة الخضرية ومرحلة التزهير و مرحلة امتناع الحبة، ان حجب الري سبب انخفاضاً معنوياً في حاصل الحبوب، اذ اعطت المعاملات متوسطات بلغت 12761.5 و 13467.2 و 13341.1 كغم هـ¹ بالتتابع، مقارنة بمعاملة عدم حجب الري التي اعطت متوسط بلغ 14021.3 كغم هـ¹. ووضح Jasim واخرون (2020) بعد تطبيقهم تجربة حقلية على محصول الذرة الصفراء تضمنت حجب الري عند مرحلة تمان اوراق وامتناع الحبة ان حجب الري سبب انخفاض معنوياً في حاصل الحبوب اذ اعطت المعاملات متوسطين بلغا 5.696 و 5.893 طن هـ¹ بالتتابع مقارنة بمعاملة عدم حجب الري التي اعطت متوسط بلغ 7.527 طن هـ¹. ذكر محمد واحمد (2017) بعد تطبيقهم تجربة حقلية على محصول الذرة الصفراء تضمنت حجب ربي عند مرحلة الاستطاله ونشوء العرانيص و10% تزهير انثوي و الطور الحليبي والطور العجيبي، ان حجب الري عند هذه المراحل سبب انخفاضاً معنوياً في حاصل حبوب الذرة الصفراء، اذ اعطت متوسطات بلغت 5.51 و 5.46 و 4.64 و 5.95 و 6.19 طن هـ¹ بالتتابع، مقارنة بمعاملة بدون حجب الري التي اعطت متوسط بلغ 6.84 طن هـ¹.

2-2- تكيف اصناف الذرة الصفراء لتحمل الجفاف

يفسر مفهوم التأقلم مع الجفاف على انه قدرة النبات على إعطاء إنتاج مقبول تحت ظروف الجفاف، لذا فان اصناف الذرة الصفراء المتأقلمة لتحمل الجفاف هي تلك الاصناف التي تحمل او تقاوم عجزاً مائياً معيناً وتستطيع الإنتاج بمستوى مقبول مقارنة مع اصناف اخرى غير متكيفة مع الجفاف (Chukwudi وآخرون ، 2021). اشار عواد ،(2009) مدى تعقيد الظواهر الفيسيولوجية للتكيف مع العجز المائي في الذرة الصفراء، فقد سجل تراكماً للبرولين عند النباتات المعرضة للإجهاد المائي الذي يؤدي إلى جفاف الأوراق المسنة وتخفيض القدرة على إمتصاص الماء من طرف النبات مما يؤدي في النهاية إلى اختزال الإنتاج اذ

ان الاصناف المعرضة للإجهاد المائي تبدي استجابات مؤقتة لتنظيم حالتها المائية، فقد لوحظ من خلال الأبحاث العديدة في هذا المجال أن تلك الإستجابات ذات طبيعة فيسيولوجية و مورفولوجية وأخرى مرتبطة بدوره حياة النبات (جدول 1).

جدول 1: بعض آليات التكيف مع الجفاف

الآليات	المعايير	المصدر
تجنب الجفاف	التبكير	Malenica وآخرون , (2021)
تحسين امتصاص الماء	تطوير النظام الجذري	Wang وآخرون , (2015)
تخفيض فقدان الماء	- التقاف الاوراق - تقليص المساحة الورقية	Zenda وآخرون , (2019)
القدرة على تحريك المواد الایضية المخزنة	- ارتفاع النبات	Xiong و Fang (2015)
القدرة على التعديل الازموزي للورقة	- الهرمونات النباتية - محتوى الماء النسبي	Liang وآخرون , (2019)
المحافظة على نشاط البناء الضوئي	- محتوى الاوراق من الكلوروفيل	Monteoliva وآخرون , (2021)

في اغلب الاحيان قد تلجأ الاصناف المتحملة للجفاف الى تقانة تجنب او الهروب من الجفاف (Escapement) وتمثل في قدرة النبات على إنهاء دورة حياته خلال الفترة التي يكون فيها الماء متوفرا، فالنمو السريع والإزهار المبكر يسمحان بتفادي فترة الجفاف، اذ يطور النبات آليات تأقلمية مرتبطة بدوره حياته (التبكير) وأخرى فيسيولوجية (مقاومة جفاف الأنسجة) لتفادي الفترات الحرجة في حياته (ياسين,2001)، فالأصناف المبكرة تستطيع تجنب فترة العجز المائي التي تصادف عادة نهاية دورة حياة النبات، اذ ان التبكير آلية تستعملها النباتات لتجنب الجفاف، فقد تبين من معظم النتائج التي توصل لها ان الأصناف ذات الحاصل العالي هي دائمًا تلك التي تحدث عندها مرحلتي الإزهار والنضج مبكرة، هذا ما أكدته نتائج Mason وآخرون (2019) اذ بين ان حاصل الذرة الصفراء عالي الارتباط بالتبكير ($r=0.78$) وأرجع تحسن الإنتاج تحت شروط الجفاف إلى التبكير،كما بين Malenica وآخرون (2021) في دراسة على اصناف الذرة الصفراء، أن التبكير بيوم واحد قد يؤدي إلى زيادة الحاصل،في المقابل بين ان النتائج الايجابية للتبكير تبقى مرهونة بمدى حساسية النبات للفترة الضوئية ودرجات الحرارة المرتفعة والآليات

المورفولوجية والفيسيولوجية. ان امتلاك الصنف المتحمل لهذه الاليات تعمل على رفع قدرة الصنف على تقادم جفاف الأنسجة بمواصلة امتصاصه للماء من الوسط و بالتالي المحافظة على المحتوى المائي للخلايا. لخص Monneveux (1989) أهم معايير التكيف مع الجفاف (جدول 2).

جدول 2 :المعايير المورفوفيزيولوجية للتأقلم مع الجفاف حسب Monneveux (1989).

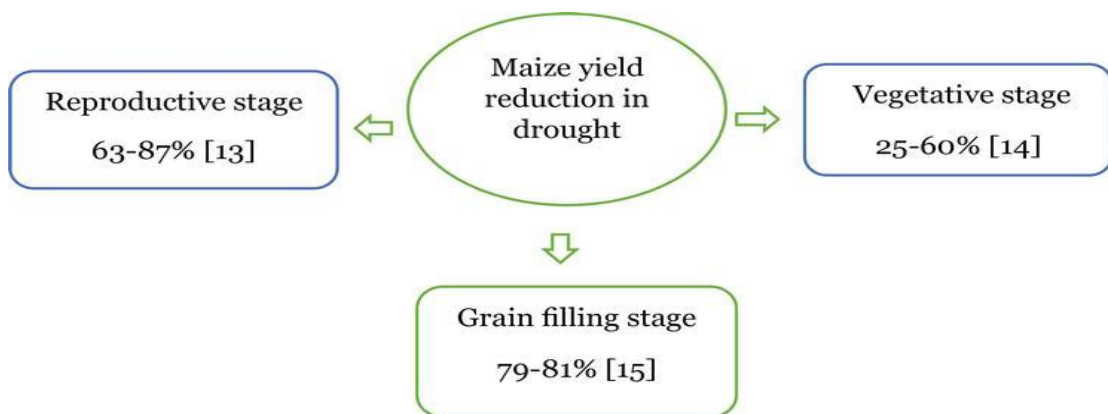
معايير التأقلم	امثلة	
معايير مرتبطة بالدورة البايولوجية	التبكر	
معايير مورفولوجية	- تطور الجذر - مساحة الاوراق - ارتفاع الساق - لون الاوراق - وجود المادة الشمعية - كثافة وحجم الثغور - سمك الكيوتاك، عدد وقطر اوعية النقل	
معايير فيسيولوجية	- التركيب الضوئي - النتح - محتوى الماء النسبي في الاوراق - الضغط الازموزي	

يبدي النبات جملة من الاليات للمحافظة على محتوى مائي داخلي كاف، مثل بعض الصفات المورفولوجية للأوراق كالإنفاف والأوراق و التنظيم التغري التي تساهم في تقليص فقدان الماء، أن ظاهرة الإنفاف للأوراق هي في نفس الوقت مؤشر على إنكمash الخلايا ووسيلة لتقادي جفاف الأنسجة بالقليل من عملية النتح (Romdhane وآخرون, 2021). فعملية النتح مرتبطة بعدة عوامل داخلية أهمها: المساحة الورقية، سمك طبقة الكيوتاك، عدد الثغور و مكانها على سطحي الورقة و هي العوامل التي يكيفها النبات حسب شدة الإجهاد المائي (Arshad وآخرون , 2021).

أجمع العديد من الباحثين على أن واحدة من أهم آليات التأقلم مع الجفاف هو التعديل الازموزي الذي يسمح بالحفاظ على خلايا النباتات المجهدة بتراكم عدة مواد منحلة كالسكريات، الأحماض الأمينية (كالبرولين)، الأحماض العضوية وأملاح البوتاسيوم ، اذ أن البرولين والسكريات تتركب بسرعة أكبر تحت تأثير الإجهاد المائي (Soh و Al-Shaheen Szabados Savoure 2010).

(2016) ان تراكم البرولين عند النباتات المجهدة يعتبر عالماً محدداً لتأثير الإجهاد المائي، كما أُعتبر مؤسراً على التأقلم مع إجهاد معين. بينت الكثير من الدراسات أن تراكم البرولين لا يحدث إلا عند النباتات المجهدة، اذ أن ارتفاع محتوى البرولين هو نتيجة مباشرة للإجهاد المائي كما بينت الدراسة التي قام بها Moaveni و Heidari (2009) على عدد من اصناف الذرة الصفراء، بينت ارتفاع مستويات البرولين في الاصناف تحت ظروف الاجهاد.

وضح kamara واخرون (2003) أن فرض الجفاف أثناء مرحلة الاستطاللة له تأثيراً ضاراً على التأسيس المبكر للمحصول والحد من إمكانية إنتاج الحبوب بسبب ظهور الحرارة المبكرة، كما يمكن ان يعمل على تقليل تراكم الكتلة الحيوية الكلية. يمكن أن تقلل عواملات إجهاد الجفاف الخفيف والشديد عند فرضه في مرحلة الاستطاللة وامتناع الحبة من حاصل الحبوب حتى 63% و 85% (Ge واخرون , 2012). اوضح Hasibuzzaman واخرون (2021) ان نسب الاختزال في حاصل الذرة الصفراء قد اختلفت عند فرض الجفاف في المرحلة الخضرية و التكاثرية و مرحلة امتناع الحبة (شكل 1).



شكل 1: نسب الانخفاض في حاصل حبوب الذرة الصفراء عند مراحل نمو مختلفة (Hasibuzzaman واخرون, 2021).

أشار Zheng واخرون (2010) ان اغلب النباتات تمتلك آليات تكيفية متنوعة ومتقدمة، تشمل التعديل المورفولوجي والفيسيولوجي والكيميائي الحيوي، وتنظيم النسخ والتعبير الجيني ، تشمل الآليات الأكثر أهمية امتصاص الماء إلى جانب أنظمة الجذور الغزيرة والعميقة، وفقدان الماء الجزئي عن طريق زيادة مقاومة الانتشار، وتقليل حجم الأوراق مما يجعلها عصارية من أجل تقليل الفقد الناتج عن النتح. تعتبر الأزموزية

ذات الوزن الجزيئي المنخفض، مثل البرولين والأحماض العضوية الأخرى والأحماض الأمينية، ضرورية للحفاظ على الوظائف الخلوية أثناء مواجهة الجفاف، أما مواد مختلفة مثل الاوكسينات والجبريلين والسيتوكينين وحمض الساليسيليك وحمض الأبيسيك (ABA) تنظم استجابات النبات للجفاف (Farooq وآخرون ، 2009).

2-3 - الآليات المورفولوجية لتحمل الجفاف

يؤثر الإجهاد المائي بشكل مباشر وضار على مورفولوجيا النبات بالكامل، تُخضع الخلايا والأوراق للتغير هائل في إجهاد نقص الماء، بين Zhao وآخرون (2006) أن إجهاد نقص الماء يسبب انخفاض عدد الأوراق لكل نبات، وحجم الورقة الفردية، ومساحة الورقة مما أدى إلى انخفاض التمثيل الضوئي كما يشير وبشكل واضح إلى شيخوخة الأوراق والتلفافها وهذا يعود إلى تأثيرات نقص المياه في النباتات، وبالتالي، فإن الإجهاد المائي يؤثر سلباً على نباتات الذرة مما يؤدي إلى انخفاض إنتاج الكتلة الحيوية.

تعتبر مقاومة التغور ومحتوى الماء النسبي ومعدل النتح ودرجة حرارة الأوراق من الخصائص المهمة التي تؤثر على علاقات النبات بالماء، إذ يسلط محتوى الماء النسبي الضوء على حالة المياه في الأوراق، إذ إنه المؤشر الأكثر فائدة لتحمل الجفاف في النباتات والذي يعكس النشاط الأيضي في الأنسجة، وقد لوحظ انخفاض في المحتوى المائي النسبي كاستجابة لإجهاد نقص الماء، عندما تتعرض النباتات لضغط الجفاف، فإنها تظهر انخفاضاً كبيراً في محتوى ماء الأوراق، ومعدل النتح (Anjum وآخرون ، 2011). تتدفق الإشارات التي يسببها الجفاف من خلال تيار النتح مما يؤدي إلى إغلاق التغور، وهو تغيير مهم لتقليل فقد المياه (Wu وآخرون ، 2000).

2-4- تقنية تفاعل البلمرة المتسلسل التقليدي Conventional PCR

يعد الحامض النووي (DNA) المادة الوراثية المسؤولة عن حفظ المعلومات الازمة للفعاليات الاحيائية للخلايا بصورة رئيسية ، وان DNA الحامل للمعلومات يتميز بثباته لأي نوع من أنواع الخلايا أو الكائنات ولا يتغير بتغير الظروف المحيطة به، تتضاعف كمية الحامض النووي في الخلية عند انقسامها ذاتياً و بشكل سريع مع وجود نظام تصحيح للأخطاء خلال النسخ. و تبلغ سرعة النسخ والمضاعفة إلى 1000 قاعدة نيتروجينية بالثانية (داخل النظام الحيوي) (زكرياء ، 2011). يمكن تعريف تقنية PCR بأنها تقنية مختبرية تقوم على إكثار نسخ الحامض النووي (DNA) خارج النظام الحيوي ، ولذلك فهي تقنية حيوية لاستنساخ قطعة محددة من الحامض النووي و مضاعفة إنتاجها للفحص

بالتجارب والفحوصات المختلفة . إن عمل تقنية PCR هو مضاعفة قطعة معينة من DNA المنتجة بوجود البادئات (Primers) والتي ترتبط بالتتابع المكمل لها على شريط DNA product (ال قالب DNA Template) ، و هذه العملية تعد محاكاة لما يحدث في الطبيعة في جميع الكائنات الحية والتي تقوم بتضاعف مادتها الوراثية اثناء الانقسام (العبيدي ، 2017) . يتميز هذا التفاعل PCR بالدقة والخصوصية والحساسية العالية في الكشف عن قطعة DNA معينة (Target DNA) ضمن الآلاف من القطع، لأهمية هذا التفاعل لا يمكن الاستغناء عن تقنية PCR في دراسات الوراثة الجزيئية ، وهي من الطرق السهلة نسبياً وسريعة ولا سيما عند تحليل عينات عديدة. لذلك فقد أصبح لهذا التفاعل تطبيقات واسعة منها دراسة التنوع والتغاير الوراثي وإيجاد البصمة الوراثية (Genetic Printing)، ويستعمل كذلك في تربية وتحسين النباتات الاستراتيجية. إذ استخدمت هذه التقانة لتعمل على تسهيل نتائج التهجين بين الأفراد عند محاولة استنباط أصناف أو هجن جديدة، وتستخدم هذه التقانة PCR في مجال تشخيص الأمراض المختلفة كالأمراض الوراثية والوبائية وذلك بالاستناد إلى المبادئ الأساسية لهذه التفاعلات (الكبيسي ، 2019) .

يتم بواسطة تقنية PCR اكتثار سلسل معين موجود في DNA في أنبوبة الاختبار ولبعض ساعات ، اذ يمزج المستخلص (DNA) مع البادئ (Primer) هو عبارة عن نسخة لقطعة من الدنا ويكون من النيكلوتيدات، وبعدها يتم اضافة نسب متساوية من النيوكليوتيدات المكونة للدنا وهي (dCTP، dGTP، dATP، dTTP) ثم يضاف الانزيم Taq DNA Polymerase الثابت حرارياً والمستخلص من البكتيريا المحبة للماء الحار *Thermus aquaticus* (Rahman وآخرون، 2013) . وقد اشار Reddy وآخرون (2017) الى ان الخطوات التي تتم في جهاز المدوار او البلمرة الحراري (PCR) هي فك حلزنة شريطي الدنا (denaturation) باستخدام درجة حرارة بين 92 و 97 °م ثم تبريد المزيج الى درجة حرارة 55-60 °م لغرض ارتباط البادئ مع شريط الدنا وتدعى هذه العملية بالارتباط او الالتحام (annealing) بعد ذلك يتم رفع درجة الحرارة بين 65 و 80 °م وان افضل درجة حرارة هي 72 °م وهي الدرجة الحرارية المثلث لعمل انزيم Taq DNA Polymerase ليعمل على تصنيع دنا جديد، وتسمى هذه العملية بالاستطالة (elongation) وبعدها يتم رفع درجة حرارة المزيج ثانية لفصل القطع الجديدة من الشريط الابوي ، وفي كل دورة تعاد عملية التبريد والحرارة ليعمل على مضاعفة قالب الدنا، ويكون حوالي مليون نسخة واكثر من قطع الدنا المكثرة بعد 25 الى 40 دورة.

2-4-1- تقنية تفاعل البلمرة المتسلسل الكمي او الاني

Quantitative real time polymerase chain reaction (qPCR)

تعمل هذه التقنية وعلى تشابه كبير من مبدأ تقنية PCR وتحتاج هذه التقنية قياس تضخيم الحامض النووي cDNA بشكل فوري لقياس ناتج التفاعل في كل دورة من خلال حساب معدل التعبير الجيني أو عدد نسخ (Copy number) الحامض النووي في عدة عينات، لذلك تطورت تقنية PCR إلى تقنية qPCR على أساس التفلور او التالق الفوري (Fluorescent)

تعمل هذه التقنية على العكس من تقنية PCR التقليدي التي ليس لها القدرة على تحديد الكميات بصورة دقيقة وتكون الكميات غير موثوق بها وتتفقد للحساسية و تستغرق وقتا طويلا لتضخيم الحامض النووي DNA أو الحامض النووي RNA (cDNA) ، بعدد من الدوارات وتعتمد على وجود قواعد نيتروجينية حرة مشعة لتحديد ذلك ، ما يسهل على الباحثين الوقت لتحديد وجود الجين المطلوب أو لا وكمية الجين بدون الوصول إلى نهاية الدورات الحرارية المحددة (Gunay وآخرون ، 2016) ،

اما تقنية qPCR فان هذه العملية لا تحتاج الى الترحيل الكهربائي لنواتج التفاعل بل يحتوي الجهاز مستشعر يتحسس بزيادة تالق صبغات معينة موجودة في مزيج التفاعل وان حدوث الزيادة في الصبغات دليل على تضاعف الحامض النووي وحدث التفاعل التكراري ويمكن ملاحظة ذلك عن طريق شاشة الكمبيوتر (VanGuilder وآخرون 2008) ومن الصبغات المستخدمة في تقنية qPCR هي الصبغة الخضراء SYBR Green dye وهي الأكثر شيوعا واهمية وهي عبارة عن صبغة غير متخصصة لتسلاسل او تتبع معين ، وتكون سهلة الاستعمال وقليلة الكلفة والتي ترتبط بجميع الأشرطة المزدوجة للحامض النووي DNA الموجودة في الناتج المتخصص (الهدف) وهذا يؤدي إلى تألق الصبغة عند ارتباطها . ومن عيوبها تقوم بالارتباط بالنواتج غير المتخصصة (غير الهدف) مثل Primer dimer وتنالق ايضا مما يؤدي إلى التداخل في الناتج الهدف فتؤثر في تحليل البيانات والتشخيص الدقيق للتسلسل الهدف المقصود ، أما صبغة TaqMan dye فهي من الصبغات المتخصصة لتسلاسل معين (الهدف) وتبعث إشارة التألق من خلال بادئ معلم (Probe Primer) ومن عيوبها تكون باهظة الثمن وصعوبة تصميم البادئات ، وتوجد صبغات أخرى مثل صبغة ايفا الخضراء Eva Green وتكون أكثر تألقا وثباتا من الصبغات الأخرى وتكون بسيطة ومرنة تحتاج فقط إلى اثنين من البادئات وأيضا غير مكلفة و غير متخصصة (Nolan وآخرون ، 2006).

2-4-2- طرق تحليل قيم تقنية qPCR

يتم من خلال هذه التقنية معرفة التعبير الجيني للوصول الى مراحل متطرفة ودقيقة في تحليل قيم هذه التقنية ، ويجد نوعان لتحليل البيانات ، النوع الاول تسمى الكميات النسبية (Relative Quantification, RQ) هنا يتم الاستدلال عن وجود تسلسل دنا الهدف وكذلك مقارنة العينات في ما بينها ، ولكن من دون الاستدلال على عدد النسخ او التركيز الحقيقي للهدف، ان الاستدلال على وجود تسلسل دنا معين هو الاساس للاستدلال على وجود كائن او جين او متغيرة وراثية معينة وغيرها، فقط يستخدم التشخيص دون معرفة التعبير الجيني .والنوع الثاني من التحليل تسمى الكميات المطلقة (Absolute Quantification, AQ) هنا يتم الاستدلال على وجود تسلسل دنا الهدف وبنفس الوقت التقدير الكمي للعدد النسخ او تركيز هذا التسلسل ، يتم هذا النوع بالمقارنة مع تراكيز قياسية من دنا الهدف .مثلاً للمقارنة بين عينتين ومعرفة ايهما تحتوي على كائن معين او تعبيرجيني اكثر من الاخرى نستعمل النوع الاول لمعرفة عدد الفايروسات او البكتيريا او اي كائن في عينة ما نستعمل النوع الثاني، وإن غالبية التحاليل مازالت تستخدم الكميات النسبية لأنها سهلة القياس وذات أهمية للباحثين لأنها تقوم بتشخيص الحالات المعرضة للاجهادات سواء كانت حيوية او غير حيوية (Wilkening و Bader ، 2004). وان الطريقة الأمثل استخداماً لتحديد الكميات النسبية هي طريقة $\Delta\Delta^{CT}$ ، بعد كل دورة يقوم الجهاز بفحص التالق الموجود بمزيج التفاعل وتكون هذه القيم مختلفة ومتداينة في الدورات الاولى ، وبما ان تفاعل ال qPCR يؤدي الى زيادة اسية في النواتج فان شدة التالق تزداد بصورة مفاجئة عند احد الدورات ، ان هذه الدورة من التفاعل التي يتجاوز بها مستوى التالق الخط الافتراضي (خط العتبة) تدعى دورة العتبة (Cycle of threshold ، Ct) هي عدد الدورات التي تستغرقه في كل التفاعل للوصول إلى الهدف المطلوب. ولغرض الحصول على التعبير الجيني للجين الهدف نقوم بتحليل البيانات باستخدام المعادلات التالية (Livak و Schmittgen ، 2001).

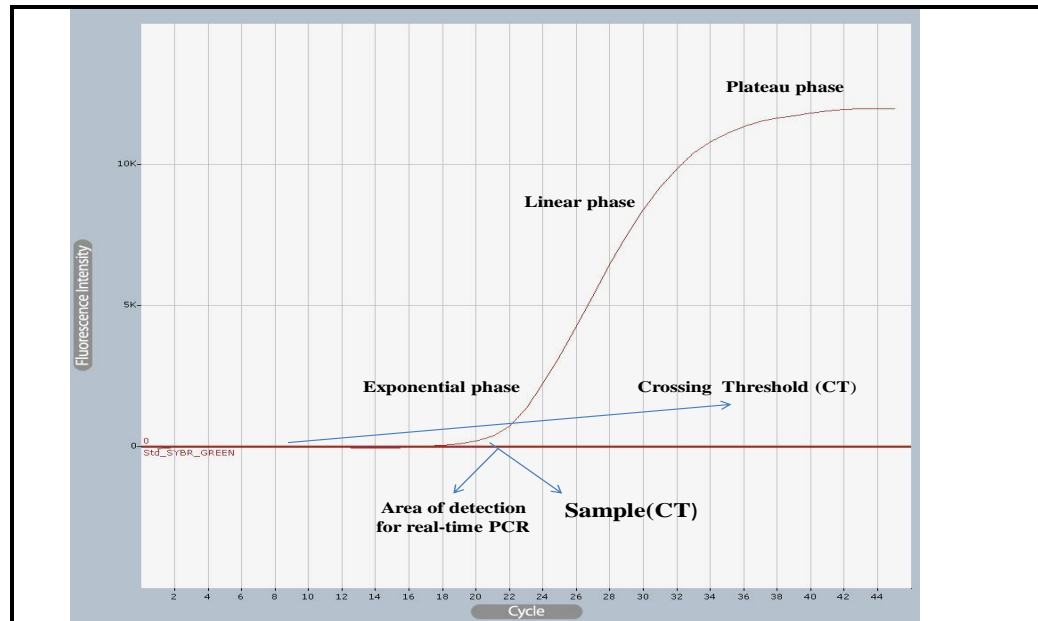
$$\Delta Ct (\text{level X}) = Ct (\text{target}) - Ct (\text{reference})$$

$$\Delta Ct (\text{level Control}) = Ct (\text{target}) - Ct (\text{reference})$$

$$\Delta\Delta Ct = \Delta Ct (\text{level X}) - Ct (\text{level Control})$$

$$\text{Normalized target gene expression level} = 2^{(-\Delta\Delta Ct)}$$

تم استخدام جين ثانٍ بالإضافة إلى جينات الهدف (Targat gene) لتصحيح التفاعل عن طريق استعمال جين آخر موجود بالخلية يكون ثابت من حيث التعبير ،استخدمت (Normalization) جينات Housekeeping Endogenous او الجينات المرجعية (Reference genes) والتي تعد جينات معايرة او تصحيح (selecting of normalization gene) وهي عبارة عن جينات تحتاجها الكائنات الحية من اجل الحفاظ على الوظيفة الخلوية الأساسية والحفاظ أيضا على الخلايا من التدهور والموت ، وهذه الجينات تعبّر في جميع مكونات الخلايا الكائنات الحية في ظل الظروف الطبيعية والفسيولوجية . والجينات المرجعية والتي استخدمت في التجارب يجب ان تكون في جميع العينات مشابه اثناء الدراسة ومقاومة لظروف التجربة وان تخضع لجميع خطوات وظروف تفاعلات qPCR عند استخدام جين الهدف ، وتمثل جينات المرجعية β -actin و GAPDH و Cyclophilin و Tubulin وهي الأكثر استخداما التي تعبّر في جميع مكونات الخلايا والأنسجة (Thellin واخرون ، 1999). وتشمل خطوات تفاعل qPCR يكون على ثلاث مراحل رئيسية (شكل 2):-
(1)المرحلة الاسية (Exponential phase): تبدأ كمية ناتج التفاعل بالتضاعف تقريبا في كل دورة وهذا التفاعل يكون متخصصاً بدقة عالية وكفاءة التفاعل يكون اقرب الى 100 % ، في بداية هذه المرحلة من الصعب الكشف عن الناتج انيا من خلال تالق الصبغة الموجودة لأن الناتج يكون قليلاً.
(2) المرحلة الخطية (Linear phase): في هذه المرحلة تستمر النواتج بالترافق او التجمع ولكن الناتج او كفاءة التفاعل يبدأ بالانخفاض.
(3)مرحلة القمة (Plateau phase): هي اخر مرحلة اذ يتوقف التفاعل ويتحلل ناتج التفاعل لأسباب عدة (VanGuilder واخرون ،2008).



الشكل (2) مراحل تفاعل qPCR

2-5- جينات تحمل الجفاف في الذرة الصفراء

ان استجابة النبات للاجهاد يحكمه عدد من الجينات تسمى بالجينات المتحملة للاجهاد وعليه يجب فهم الاليات الخاصة بالاجهاد التي تؤثر بها هذه الجينات من اجل معرفة الدور الاساسي الذي تقوم به في تحمل النبات للجفاف (Wang وآخرون, 2016). ان استجابة النبات للاجهاد يعتمد على مدة ودرجة الإجهاد الذي يواجهه النبات ونوع الإجهاد في بيئه النمو ومرحلة نمو النبات حجم الجين المستجيب للاجهاد (Bruce وآخرون, 2002) استنتاج الباحثون من خلال دراساتهم أن صفة تحمل الجفاف هي صفة وراثية قابلة للانتقال عبر الأجيال وان تقدماً أو تحسناً وراثياً لهذه الصفة متوقع من خلال دورات الانتخاب وذلك للتاثير الواضح لفعل الجين الإضافي (Additive gene) في توريث هذه الصفة وخاصة في مستوى الجفاف العالى، ولهذه الجينات دور كبير ومهم بقدرة النباتات على النمو في ظروف نقص مياه شديدة (Shiri وآخرون, 2010).

ان التقدم في تطبيق التحليل الوراثي الجزيئي وعلم الجينات تمكّن من تحديد الجينات المسؤولة عن تحمل الجفاف . اذا استطاع Campos وآخرون (2004) تقييم التنوع الوراثي وتحديد الموروثات المسؤولة عن هذه الصفة في نبات الذرة الصفراء، ومن جانب اخر درست علاقه بعض العناصر الاساسية لنمو النبات والتعبير الجيني الذي يلعب دورا هاما في تنظيم واستجابة تحمل الاجهاد تحت ظروف النمو الطبيعي . تعد

عائلة AP TF واحدة من أكبر عائلات تحمل الاجهاد في النباتات، والتي تلعب أدواراً مهمة في نمو النبات والاستجابة للإجهاد اللاحيائي (Xiang وآخرون 2018). أظهرت نتائج عدة دراسات أن مستويات التعبير عن هذه الجينات منخفضة في ظل الظروف العادية ، ولكن يمكن أن تحدث بسبب محفزات الإجهاد (Feng وآخرون, 2005 , Sun وآخرون 2017 Xie وآخرون, 2019). يؤدي جين AP2 دور مهم في نقل الإشارة تحت إجهاد الجفاف ، اضافة لدوره في التمثيل الغذائي من خلال فسفرة البروتين، كواحدة من أكثر التعديلات شيوعاً لنواتج هذا الجين بعد عملية الترجمة، اذ يعمل وظائف جديدة للانزيمات من خلال الارتباط والتحفيز والتنظيم والخصائص الفيزيائية وتعديل الخصائص كالنشاط الإنزيمي، والتفاعلات مع الانزيمات الأخرى (Lam Dai وآخرون,2016).

تم تشخيص جين ZmMYBE1 لأول مرة في الذرة الصفراء من قبل Paz-Ares وآخرون (1987) والذي يشارك في التحليق الحيوي للأنثوسيانين، ثم جرى تشخيص نسخ منه من قبل باحثين آخرين. تلعب العوامل التنظيمية لجين ZmMYBE1 دوراً حيوياً في تعديل النسخ أثناء استقلاب النبات وتطوره .

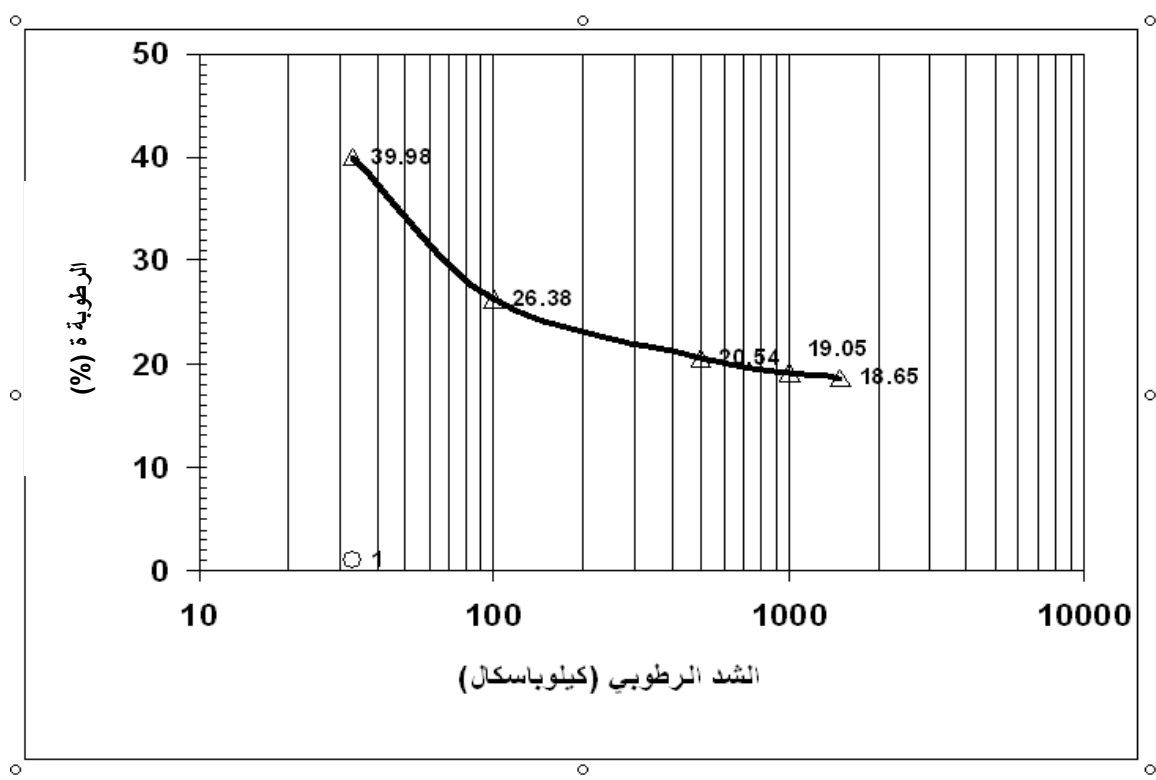
يشترك ZmMYBE1 في تنظيم معدل النمو وارتفاع النبات والفترقة الضوئية في الذرة الصفراء، اضافة من دوره الحيوي في تعديل الاستجابة للضوء (Jia وآخرون ، 2009). وايضا استطاع Maazou وآخرون (2016) الكشف عن اصناف من الذرة الصفراء تمتلك صفة تحمل الجفاف من خلال اجراء دراسة جزيئية وفصسلجية. حصل Jeanneau وآخرون (2002) على اصناف من الذرة الصفراء ذات التحمل العالي للجفاف. وكذلك اشار Aslam وآخرون (2021) وجود تباين في الآليات لصفة تحمل الجفاف بسبب التغير في تعبير الجينات المسئولة عن هذا التحمل. وأشار الصميدعي ، (2017) بان هناك عدة مسالك تحمل الاجهاد في النباتات وهي (1) الاحساس بالاجهاد. (2) نقل الاشارة. (3) تحفيز الجين نواتج الجين. (4) الوقاية من الضرر واصلاحه. (5) تحمل الاجهاد .

3- المواد وطرائق العمل

3-1-3- موقع التجربة

نفذت تجربة حقلية في الموسم الريعي 2022 في حقل تجارب المزرعة الارشادية في المهندوية التابع إلى المركز الارشادي التدريبي في محافظة بابل على بعد 8 كم شمالي المحافظة والواقعة ضمن خط عرض 32°31' شمالاً وخط طول 44°21' شرقاً ، في تربة مزيجية طينية غرينية بهدف دراسة تحمل اربعه اصناف من الذرة الصفراء للإجهاد المائي وتحديد التعبير الجيني لجين ZmMYBEI و AP2 فيها.

قدر العلاقة بين الشد الهيكلي لعينة التربة مغربلة (غربيل قطر فتحاته 2 ملم) والمحتوى الرطوبى لتقدير سعة التربة للاحتفاظ بالماء اذ سلطت عليها شدود مختلفة 33 و 100 و 300 و 500 و 1500 كيلو باسكال ومثلت العلاقة بيانيا في منحنى وصف رطوبة التربة (شكل 3).



شكل 3 . منحنى الوصف الرطوبى لتربة الحقل

3-2 خصائص التربة الحقلية

قيست بعض الصفات الفيزيائية والكيميائية لترابة الحقل قبل الزراعة وفق الطرائق القياسية وذلك بأخذ عينات للعمق 0 - 0.40 م جدول (3) (1967,Black)

جدول 3. بعض الخصائص الفيزيائية والكيميائية^{*} لترابة الحقل وللعمق 0 - 40 سم

الوحدة	القيمة	الخاصية	
غ. كغم ¹	176	الرمل	
غ. كغم ¹	484	الغررين	
غ. كغم ¹	340	الطين	
مزيجه طينية	-	النسجة	
ميكاغرام . م ³	1.24	الكتافة الظاهرية	
غ. كغم ¹	4.60	المادة العضوية	
ملغم. كغم ¹	73.20	النايتروجين الجاهز	
ملغم. كغم ¹	8.70	الفسفور الجاهز	
ملغم. كغم ¹	276	البوتاسيوم الجاهز	
ديسيمنز. م ¹	2.73	التوصيل الكهربائي (مستخلص عينة التربة)	
-	7.14	الأس الهيدروجيني	
0.3998	سم. ³ . سم ³	33 كيلو باسكال	المحتوى الرطobi الجمي عند الشدود
0.2638	سم. ³ . سم ³	100 كيلو باسكال	
0.2054	سم. ³ . سم ³	300 كيلو باسكال	
0.1905	سم. ³ . سم ³	500 كيلو باسكال	
0.1865	سم. ³ . سم ³	1500 كيلو باسكال	

3-3- تحضير الأرض والتصميم التجريبي والمعاملات

حرثت أرض التجربة حراثتين متعددين بالمحراث المطروح القلاب ونعمت بالامشاط القرصية وبعد التسوية قسمت إلى ألواح وفق ترتيب الألواح المنشقة بتصميم القطاعات الكاملة المعاشرة وبثلاث مكررات، تضمنت الألواح الرئيسية معاملات حجب ري وهي ري بعد استنفاد 50% من الماء الجاهز معاملة مقارنة (Gs0)، وحجب ري واحدة عند مرحلة الاستطاله (Gs-V7) وحجب ري واحدة عند مرحلة امتلاء الحبة (Gs-R2) وحجب ري واحدة في كل من مرحلتي الاستطاله وامتلاء الحبة (Gs- V7+R2). واستعمل مقياس Abendroth لتحديد مراحل نمو المحصول (Abendroth وآخرون، 2011) اما الألواح الثانوية تضمنت اربعه اصناف من الذرة الصفراء هي : الفرات و دجلة و ZP و كونسينر (جدول 4) ، تركت 2 م فوائل بين المكررات كما تركت 2 م بين الوحدات الرئيسية لمنع تسرب الماء بين الألواح.

جدول 4: أصناف الذرة الصفراء الداخلة في الدراسة

المنها	اسم الصنف	المنها	اعتمادية وزارة الزراعة	النقاوة (%)	نسبة الاببات (%)	العراقية
90	99	معتمد	هجين / هولندي	هجين / هولندي	الفرات	1
90	99	معتمد	هجين / هولندي	هجين / هولندي	دجلة	2
90	99	معتمد	هجين / صربيا	هجين / صربيا	Zp	3
90	99	معتمد	هجين / الماني	هجين / الماني	كونسينر	4

4-3- ممارسات خدمة المحصول

زرعت بذور الذرة الصفراء في 15-3-2022, اذ كانت الوحدة التجريبية بمساحة 3,5 x 2,5 م واشتملت على اربعة مروز بكثافة نباتية بلغت 53333 نبات هـ¹ وكانت المسافة بين مرز واخر 75 و بين نبات واخر 25 سم. اجريت عمليات خدمة المحصول حسب الحاجة، استعمل سمام سوبر فوسفات الثلاثي (P₂O₅ 45%) عند تحضير التربة بمعدل 200 كغم هـ⁻¹ ، وسماد البيوريا (N46%) بمعدل 320 كغم هـ⁻¹ بثلاث دفعات الأولى عند الزراعة والثانية بعد شهر من الزراعة و الثالثة عند بداية تكوين الحريرة،

وأضيفت كبريتات البوتاسيوم على ثلاث دفعات مع سماد البيريا بمعدل 80 كغم K_2O هـ⁻¹ (وزارة الزراعة العراقية، 2011). تم مكافحة حشرة حفار ساق الذرة بطريقة تقييم القمة النامية للنباتات باستعمال مبيد الديازينون المحبب (10%) وبمعدل 5 كغم هـ⁻¹ وعلى دفتين الاولى كانت بعد 20 يوما من البزوع والثانية بعد 15 يوما من اجراء المكافحة الاولى كاجراء وقائي، وتم الحصاد في 12-7-2022.

3-5- أرواء الألواح التجريبية

تمت عملية الري بوساطة شبكة من الأنابيب البلاستيكية المربوطة بمضخة تعمل بالبنزين وتم تثبيت عداد لقياس الماء على أنبوب التصريف للمضخة اذ أضيفت كميات متساوية من الماء إلى جميع الألواح عند الزراعة ولحدود السعة الحقيقة .

3-6- طريقة قياس و متابعة الاستنفاد الرطوبوي للتربة

اعتمدت الطريقة الوزنية لقياس رطوبة التربة و لمتابعة التغيرات الرطوبية في التربة و تحديد موعد الري حسب مستوى الاستنزاف للري التي حدلت بمحنى الشد الرطوبوي (50% من السعة الحقيقة). قدر المحتوى الرطوبوي في نماذج التربة بتجفيف النماذج في المايكروويف عند درجة حرارة 105°C ولمدة 12 دقيقة لكل رية ووضعت في علب الالمنيوم وزنت وهي رطبة، وفق الطريقة المقترنة من قبل (Zein، 2002) ثم وزنت بعد تجفيفها وقدر المحتوى الرطوبوي فيها حسب المعادلة:

$$(PW\%) = \frac{MW - DW}{DW} \times 100$$

اذ ان :

$PW\% = \text{المحتوى الرطوبوي على أساس الوزن الجاف}$

$MW = \text{الوزن الرطب(غم)}$

$DW = \text{الوزن الجاف(غم)}$

7-3 حساب كميات مياه الري

تم ارواء الألواح التجريبية بعد استنفاد 50% من الماء الجاهز و لعمق 40 سم واضيفت كمية من الماء لاعادة الرطوبة إلى السعة الحقلية ولكل وحدة تجريبية على وفق معادلة Kohnke وآخرون (1968) في حساب عمق الماء الواجب إضافته لتعويض الرطوبة المستنفدة.

$$W = a \times \ell b \left(\frac{\% P_{W^{f.c}} - P_{W^w}}{100} \right) \times D$$

إذ إن:

W = حجم الماء الواجب إضافته أثناء الري (م³) .

a = المساحة المروية (م²) .

ℓb = الكثافة الظاهرية (ميكارام. م⁻³) .

$P_{W^{f.c}}$ = النسبة المئوية لرطوبة التربة على أساس الوزن عند السعة الحقلية (بعد الري).

P_{W^w} = النسبة المئوية لرطوبة التربة قبل موعد الري.

D = عمق التربة المراد ريها (م)

عرضت النباتات لمعاملات الإجهاد المائي وذلك بحجب الري، تراوح مقدار الإجهاد الرطوبوي فيها إلى 700 كيلو باسكال، بعد انتهاء مدة الحجب أعيد ري الألواح التجريبية لمعاملات الشد واضيف لها كمية مياه متساوية لتلك المضافة للوحدات التجريبية لمعاملة المقارنة ، كما مبين في ملحق (1).

3-9-3- الاجهزه والمواد الكيميائيه المستعملة في تشخيص جينات تحمل الجفاف

3-9-1- الأجهزة

جدول 5: الأجهزة المستعملة في البحث

الاسم	الجهاز	نوع
حااضنه لعزل المحاليل والتفاعل التكراري	تصنيع محلي	1
ماصه (سحب السوائل)	Biopette 0.5-1000 µl	2
		3
جهاز الاستخلاص	Soxhlf exloactor	4
السائل عالي الأداء	High Performance liquia	
جهاز الترhill الكهربائي	Electrophoreses	5
جهاز الطرد المركزي المبرد	High Speed Refrigerated Centrifuge	6
مجهز الطاقة	Mini-Power Supply 300V, 2200V	7
مقياس الكثافة الضوئية	Spectrophotometer	8
جهاز التضخيم الحراري اللحظي المتكرر	Thermo cycler real time Sa Cycler-96	9
جهاز مطياف الاشعة المرئية وفوق البنفسجية	UV.transmission	10
المازج الدوار / الطرد المركزي	Vortex/Centrifuge Exispin	11

3-9-2- الموارد و المحاليل الكيميائية

جدول 6: المحاليل و الموارد الكيميائية المستعملة في البحث

الرقم	المواد	رقم العدة	الشركة و المنشأ
1	Agarose	8100.11	Conda / USA
2	RT-qPCR Master Mix	A6120	Promega
3	Ladder 100bp	KK6302	Kapa /USA
4	Loading dye	21161	Intron / Korea
5	Pre mix pcr	25025	Intron / Korea
6	Primer	NC00840	Integrated DNA technologies /USA
7	Red safe staining souluion	21141	Intron / Korea
8	TBE buffer	IBS.BT0 04	Conda / USA
9	Addprep Genomic DNA Extraction Kit	G202106 D	add bio / Korea
10	Addprep Genomic RNA Extraction Kit	R2024	add bio / Korea

10-3- تشخيص الجينات المسئولة عن تحمل الاجهاد المائي في الذرة الصفراء

تم دراسة جين ZmMYBE1 و PA2 المسؤول عن تحمل الاجهاد المائي في نباتات الذرة الصفراء (Zhou و اخرون, 2015 ; Zenda و اخرون, 2019)

11-3- استخلاص الحمض النووي الريبوزي منقوص الاوكسجين (DNA) من النبات

تم استخلاص الحامض النووي DNA من اوراق أربعة أصناف من الذرة الصفراء عند مرحلة الأربعه ورقة باستعمال عدة منتجة من شركة add bio/ Korea المبينة مكوناتها في جدول (7).

جدول 7: عدة استخلاص الحامض النووي الريبوزي منقوص الاوكسجين DNA

Solution & Material	Size
Spin column 1 (White ring)	50 es
Spin column2 (Green ring)	50 es
Lysis	25 ml
Binding	20 ml
Washing1	30 ml (add Ethanol 22.5 ml)
Washing 2	10 ml (add Ethanol 40 ml)
Elution	25ml
Proteinase K (20 mg/ml)	1.2 ml *1 tubes
RNase 1 (1 U/ml)	0.5 ml *1 tubes

اتبع الدليل الخاص بالشركة المجهزة للعدة الخاصة باستخلاص الحامض النووي الريبوزي منقوص الاوكسجين وحسب الخطوات التالية:

- اخذت عينات من اوراق نباتات نظيفة وخلية من المسببات المرضية وتم ترقيمها وغسلها وتعقيمتها وحفظها في اكياس بلاستيكية معقمة وحفظت في المجمدة لحين اجراء الاستخلاص .
- اخذت 100 ملغم من الاوراق النباتية وقطعت جيدا وسحقت باستعمال هاون خزفي معقم ، ونقلت الانسجة النباتية المطحونة الى تيوب حجم 1.5 مل وتم إضافة 20 مايكرو لیتر من K proteinase مع إضافة 200 مايكرو لیتر من محلول Lysis Buffer .
- نقل الخليط الى جهاز الرج لمدة 5 دقائق ثم وضع العينة في حمام مائي وبدرجة 65م و لمدة 30 دقيقة ومن ثم إضافة 100 مايكرو لیتر من precipitation Buffer ومزجها ثم توضع العينة بدرجة حرارة 4 م لمدة 15 ثانية.
- اجريت عملية طرد مركزي للمزيج لمدة خمس دقائق وبسرعة 13000 دورة دقيقة⁻¹.
- سحب 200-300 مايكرو لیتر من الطبقة العليا الحاوية على الحمض النووي المنقوص الاوكسجين ووووضع في انبيب حجم 1.5 مل
- اضيف 200 مايكرو لیتر من محلول الارتباط (DNA Binding Buffer) للاحتفاظ بالـ DNA والخلص من الشوائب غير المرغوبة .
- إضافة 200 مايكرو لیتر من الاثانول 99% ثم وضع العينة بجهاز Vortexing ولمدة 15 ثانية.
- نقل الطبقة العلوية الى اعمدة التصفية (-SpinTM IIC Column) .
- وضع العينة بجهاز الطرد المركزي لمدة واحد دقيقة وبسرعة 13000 دورة دقيقة ويتم الراشح والاحتفاظ بالجزء العلوي من الفلتر والذي يحتوي على DNA.
- إضافة 500 مايكرو لیتر من محلول 1 Washing Buffar الى اعمدة التنقية واجري له طرد مركزي لمدة 1 دقيقة فقط وبسرعة 13000 دورة دقيقة⁻¹.
- إضافة 500 مايكرو لیتر من محلول 2 Washing Buffar الى اعمدة التنقية واجري له طرد مركزي لمدة 1 دقيقة فقط وبسرعة 13000 دورة دقيقة⁻¹.
- إعادة العينة الى جهاز الطرد المركزي وبسرعة 13000 دورة للخلص من الاثانول .
- نقل اعمدة التصفية (-SpinTM IIC Column) الى تيوبة جديدة حجم 1.5 مل .

-Spin™ IIC Elution Buffar الى أعمدة التصفية (Column) ثم ننتظر واحد دقيقة ثم وضع العينة في جهاز الطرد المركزي وبسرعة 13000 دورة ولمدة واحد دقيقة.

15- نأخذ السائل المترشح الحاوي على الحامض النووي DNA

3-12-3- قياس مقاومة وتركيز الحامض النووي DNA.

يتم تقييم مقاومة الحامض النووي منقوص الاوكسجين بواسطة جهاز NanoDrop، اذ تحسب امتصاصية عينة الـ DNA عند الطول الموجي 260 نانوميتر (O.D₂₆₀) ثم تحسب الامتصاصية للعينة نفسها عند الطول الموجي 280 نانوميتر (O.D₂₈₀)، إذ إنَّ النسبة بين قراءة الموجة 260 نانوميتر الى 280 نانوميتر تساعد على تقييم مقاومة الحامض النووي، وتتراوح هذه النسبة بين (1.8 – 2.0) للدنا النقى (Sambrook وآخرون، 1989). و حسب المعادلة التالية:

$$DNA = \frac{O.D_{260}}{O.D_{280}} \geq 1.8$$

$$\text{تركيز DNA} = O.D \text{ at } 260 \text{ nm} \times 50 \mu\text{g ml}^{-1}$$

3-13-3- استعمال تقنية تفاعل البلمرة المتسلسل (PCR) لتضخيم جينات تحمل الاجهاد المائي

اجري اختبار تفاعل البلمرة المتسلسل (PCR) لتشخيص جين ZmMYBE1 و PA2 بوجود البوادئ المتخصصة (جدول 8).

جدول 8: البوادئ المتخصصة بتشخيص جين ZmMYBE1 و PA2 المسؤولة عن تحمل الاجهاد المائي في الذرة الصفراء المستعلة في تفاعل البلمرة المتسلسل PCR

Gene name	التتابع		Tm (°C)	GC (%)	Product length
ZmMYBE1	الامامي	AGACGAAGATGGCCTCCAAC	59	55	724
	الخلفي	AGTGATTCTGGTGGTGGT			
AP2	الامامي	TCAATGTGCCCTGTCCCTCG	59	55	953
	الخلفي	TTGGTTGGTGTGGTAGAGGC			

نفذ هذا التفاعل باستعمال العدة Maxime™ PCR PreMix (i-Taq) المجهزة من قبل شركة iNtRoN الكورية المبنية مكوناتها في جدول (9).

جدول 9: مكونات عدة تفاعل البلمرة المتسلسل (Maxime™ PCR PreMix (i-Taq))

(Kat.No 25025)

الحجم	المكونات	
5Unit / μl	انزيم البلمرة	i-Taq DNA Polymerase
2.5Mm	قواعد نتروجينية	DNTPs (DATP, DGTP, DCTP, DTTP)
تخفف الى x1	محلول التفاعل	Reaction buffer (10X) (MgCl ₂ , Tris-HCl, KCl)
تخفف الى x1	محلول جل التحميل	Gel loading buffer

نفذ تفاعل البلمرة المتسلسل بحجم اجمالي 25 مايكروليتر حاوية على المكونات المرفقة في جدول (10) و اكمل الحجم بالماء (Nuclease-free water) الى 25 مايكروليتر.

جدول 10: تركيز مكونات خليط تفاعل البلمرة المتسلسل PCR

الحجم	المكونات	ت
10 μl	عدة تفاعل PCR	Taq PCR PreMix 1
1μl	البادئ الامامي	Forward primer 2
1μl	البادئ الخلفي	Reverse primer 3
5μl	الحامض النووي	DNA 4
8 μl	ماء مقطر	Distill water 5
25μl	الحجم النهائي	

تم تحضير خليط التفاعل في أنبوبة معقمة (أنبوبة لكل جين مع أنبوبة خالية من الحامض النووي Negative Control) و مزجت مكوناته باستعمال ماصة دقيقة ثم وضعت في جهاز الطرد المركزي للحفظ على الحجم النهائي لخليط التفاعل، ثم تم وضعها في جهاز البلمرة الحراري PCR ، وتم تنفيذ البرنامج كما في جدول 11 لغرض تضخيم الجينات.

جدول 11: برنامج ظروف تفاعل البلمرة المتسلسل PCR لتضخيم جين ZmMYBE1 و PA2

المرحلة	عدد الدورات	الوقت	درجة الحرارة (°C)
Initial Denaturation		3 min.	95
نسخ اولي			
Denaturation -2		45 sec	95
نسخ ثانى			
Annealing		45 sec	59
الالتحام			
Extension-1		2 min	72
الاطالة الأولية			
Extension -2		7 min.	72
الاطالة الثانية			

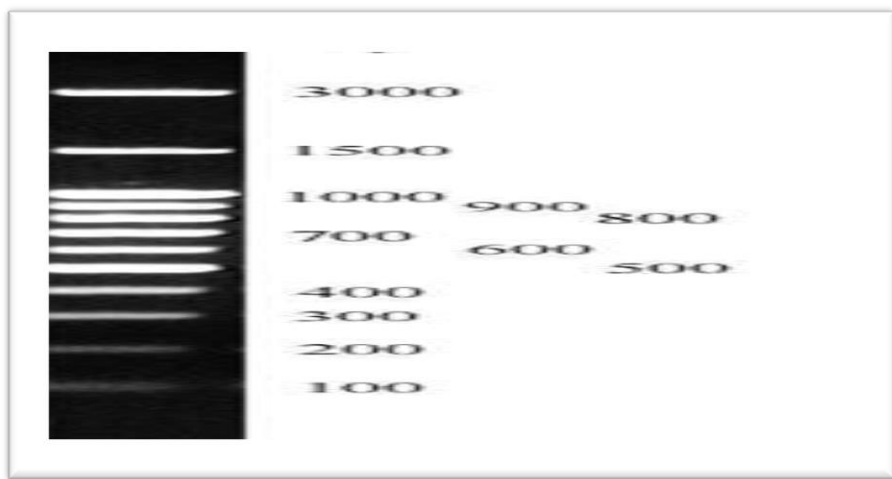
رفعت الانابيب بعد انتهاء الوقت ووضعت في الثلاجة لحين الترحيل .

14-3- الترحيل الكهربائي لناتج PCR باستعمال هلام الاكاروز

ليتم اجراء الترحيل الكهربائي لتحديد قطع الحامض النووي بعد عملية تفاعل البلمرة المتسلسل للعينات الناتجة و الدليل القياسي للحامض النووي الريبيوزي منقوص الاوكسجين (DNA Ladder marker), اذ تم مزج 1 غم من الاكاروز و اذيب في 100 مل من دارئ الترحيل الكهربائي (TBE بقوة X1) و سخن لحين الغليان و ترك لكي تنخفض درجة الحرارة الى (40-50 م) ثم يضاف له 2 ميكروليتر

من الصبغة الحمراء الامنة، في هذه الاثناء حضرت عينات الحامض النووي (3 مایکرولیتر) بمزجها مع دارئ التحميل loading buffer (5 مایکرولیتر) و تم تحضير القالب و وضع المشط في احدى نهايتيه لعمل حفر داخل طبقة هلام الاكاروز و ثم صب الاكاروز المذاب في القالب و ترك ليتصلب في درجة حرارة الغرفة.

بعد اكمال تصلب طبقة هلام الاكاروز، رفع المشط بحذر دون احداث تشويه او تحطم للحفر و اعيد القالب الى مكانه في جهاز الترحيل الكهربائي واضيف محلول الداري (TBE بقوة X1) الى حوض الترحيل الكهربائي لحين غمر طبقة الاكاروز بارتفاع حوالي 1ملم. اضيف 5 مایکرولیتر من الحامض النووي المضاعف بواسطة تفاعل البلمرة المتسلسل من كل عينة الى كل حفرة من حفرة طبقة هلام الاكاروز، كما اضيف 5 مایکرولیتر من الدليل القياسي للحامض النووي DNA (1Kbp DNA ladder marker) المبين في شكل (4) الى الحفرة الموجودة في الجانب اليسير من العينات المضافة لمساعدة بتحديد احجام الحامض النووي المضاعفة و ثم اوصلت اقطاب الجهاز بالتيار الكهربائي و شغل مجهز الطاقة على 120 ملي امبير لمدة ساعة و نصف.



شكل 4: الدليل القياسي للحامض النووي DNA

بعد اكمال عملية ترحيل العينات، فحصت طبقة هلام الاكاروز الحاوية على نواتج الحامض النووي المضاعف و المتصبغة بالصبغة الحمراء الامنة تحت الاشعة فوق البنفسجية و اخذت لها صور.

15-3 التعبير لجينات تحمل الاجهاد ZmMYBE1 و PA2

تم دراسة التعبير الجيني للجينات تحمل الاجهاد المائي في الذرة الصفراء، وذلك بأخذ عينات اوراق من محصول الذرة الصفراء وكل وحدة تجريبية. اذ تم استخلاص الحامض النووي RNA للعينات، واستعملت طريقة Livak و Schmittgen (2001) لتقدير التعبير الجيني النسبي و استعمل جين Actin كجين مرجعي من خلال المعادلات التالية:

$$\Delta ct = ct_{target\ gene} - ct_{reference\ gene}$$

$$\Delta\Delta ct = \Delta ct_{Test} - \Delta ct_{Control}$$

$$= 2^{-\Delta\Delta ct} \text{ التعبير النسبي للجين}$$

اذ ان:

$ct_{target\ gene}$ هي عتبة الدورة للجين الهدف

$ct_{reference\ gene}$ هي عتبة الدورة للجين المرجعي (Actin)

Ct_{test} هو عتبة الدورة للعينات المختبرة للجين المستهدف

$CT_{Control}$ هو عتبة الدورة لعينة المراقبة للجين المستهدف

16-3 استخلاص الحامض النووي RNA

تم استعمال العدة المجهزة من قبل شركة Add bio الكورية المرفقة مكوناتها في جدول (12)، لغرض استخلاص الحامض النووي RNA من اوراق الذرة الصفراء وفق معاملات التجربة.

جدول 12: مكونات عدة استخلاص الحامض النووي الريبيوزي RNA

Solution & Material	Size
Spin column 1 (White ring)	50 es
Spin column2 (Green ring)	50 es
Lysis	25 ml
Binding	20 ml
Washing1	30 ml (add Ethanol 22.5 ml)
Washing 2	10 ml (add Ethanol 40 ml)
Elution	25ml
DNase 1 Reaction Buffer	1ml *3 tubes
Proteinase K (20 mg/ ml)	1.2 ml *1 tubes
DNase 1 (1 U/ml)	0.5 ml *1 tubes

و تم تنفيذ الخطوات الآتية:

- تم اخذ 75 ملغم من الاوراق ، وتم وضعها في انبوبة 1.5 مل وتم سحقها بوجود 400 ميكرولتر من ProteinaseK و 4 ul من Lysis Buffer و 20 ul من B-mercaptoethanol . vortex (ومزجت بواسطة ml/mg)

2. تحضن عند 56 درجة مئوية لمدة 10 دقائق ، بعدها تنقل الى جهاز الطرد المركزي عند 13000 دورة / دقيقة لمدة 3 دقائق.

3. تنقل الطبقة الطافية بعانياة إلى Column 1

4. تنقل الى جهاز الطرد المركزي عند 13000 دورة في الدقيقة لمدة 30 ثانية وتم الاحتفاظ بالراشح .

5. تم اضافة 400 ميكرولتر من Binding Buffer إلى الرashح في أنبوبة وتم مزجها جيداً لمدة 10 ثانية .

6. ثم نقلت الى جهاز الطرد المركزي عند 13000 دورة / دقيقة لمدة 1 دقيقة.

7. تم نقل 500 ul من الطبقة العلوية إلى أنبوبة 容量 1.5 مل ، ثم أضف نفس الحجم من Binding Buffer و 200 ul من الإيثانول ومزجت جيداً.

8. نقل 600 ميكرولتر من الطبقة العليا الى Column 2

9. تم وضعها في جهاز الطرد المركزي عند 13000 دورة / الدقيقة لمدة 10 ثوانٍ ، وتم رمي الراشح .

10. كررت الخطوتين 10 و 11 باستخدام الطبقة المتبقية.

11. تم اضافة 500 من 1 Column إلى 2 Washing ووضعت في جهاز الطرد المركزي عند 13000 دورة / الدقيقة لمدة 10 ثوانٍ ، وتم رمي الراشح .

12. في أنبوبة اخرى تم اضافة 10 ميكروليتر من DNase ، و 40 ميكرولتر من DNase Reaction ومزجت جيداً ، ثم أضف الخليط مباشرة على 2 Column Buffer

13. ثم حضنت في درجة حرارة الغرفة (20 - 30 درجة مئوية) لمدة 15 دقيقة.

14. تم اضافة 500 ميكرولتر من محلول 1 Washing إلى 2 Column ثم وضعت في جهاز الطرد المركزي عند 13000 دورة / دقيقة لمدة دقيقة واحدة ثم تم اهمال الراشح .

15. تم اضافة 700 ميكروليتر من محلول 2 Washing إلى 2 Column وتم وضعها في جهاز الطرد المركزي عند 13000 دورة / دقيقة لمدة دقيقة واحدة ثم تم اهمال الراشح .

16. ثم تم تجفيف Column 2 عن طريق الطرد المركزي الإضافي 13000 دورة/ دقيقة لمدة دقيقة واحدة لإزالة الإيثانول المتبقى .

17. تم نقل Column 2Spin إلى أنبوبة جديدة سعة 1.5 مل .

18. تم اضافة 100 ميكرولتر من محلول Column 2Spin إلى Elution وتم تركه لمدة دقيقة .

19. تم تنقية RNA وتجميعه بالطرد المركزي عند 13000 دورة/ دقيقة .

20- ثم حفظ RNA المستخلص وخزنه في درجة حرارة -70 م.

1-16-3-- قياس نقاوة الحامض النووي RNA

تم تقييم نقاوة الحامض النووي الريبيوزي RNA بواسطة جهاز Nano Drop, اذ تحسب امتصاصية عينة الـ RNA عند الطول الموجي 260 نانوميتر (O.D₂₆₀) ثم تحسب الامتصاصية للعينة نفسها عند الطول الموجي 280 نانوميتر (O.D₂₈₀), إذ إنَّ النسبة بين قراءة الموجة (260 نانوميتر) الى (280 نانوميتر) تساعد على تقييم نقاوة الحامض النووي الريبيوزي، وتتراوح هذه النسبة بين اكبر او يساوي 2 لـ RNA النقي (Sambrook وآخرون,1989) و حسب المعادلة التالية:

$$RNA = \frac{O.D_{260}}{O.D_{280}} \geq 2$$

$$RNA = O.D \text{ at } 260 \text{ nm} \times 40 \mu\text{g ml}^{-1}$$

17-3- تقنية التفاعل التكراري اللحظي لتحديد قيمة التعبير الجيني

اجري اختبار التفاعل التكراري اللحظي لمعاملات الدراسة وفق مراحل النمو المطلوبة و الاجزاء النباتية وبوجود البوادئ المتخصصة (جدول 13) .

**جدول 13: البوادي المتخصصة لجينات تحمل الاجهاد المائي AP2 ZmMYBE1 المستعملة في تفاعل
البلمرة المتسلسل اللحظي الكمي RT- Qpcr**

الجين		التتابع
ZmMYBE1	الامامي	GCTTCAGGTGCTCTGCCTAC
	الخلفي	TTCCATCCTGCTAGCGAAGT
AP2	الامامي	CACATGGTTCTGTGCCTGAG
	الخلفي	TCCTCCTCATCTGGCTCATC

نفذ هذا التفاعل باستعمال العدة (GoTaq® Probe RT-qPCR Master Mix) المجهزة من شركة Promega المرفقة مكوناتها في جدول (14).

جدول 14: مكونات عدة لتحضير التفاعل التكراري اللحظي (Master Mix)

المكونات
GoTaq® Hot Start Polymerase
MgCl ₂
dNTPs
proprietary reaction buffer

تم حساب الحجم المطلوب لكل مكونات التفاعل التكراري اللحظي حسب جدول (15).

جدول 15: مكونات التفاعل التكراري اللحظي (RT-qPCR)

الحجم (مايكروليتر)	المكونات	ت
10	الخليط التفاعل	GoTaq® RT-qPCR Master Mix
1	البادئ الامامي للجين الهدف	Forward primer of target gene
1	البادئ الخلفي للجين الهدف	Reverse primer of target gene
1	البادئ الامامي للجين المرجعي	Forward primer of gene reference
1	البادئ الخلفي للجين المرجعي	Reverse primer of gene reference
6	ماء خالي من الاحماض النووي	Nuclease-free water
5	عينة الحامض النووي الريبوزي	RNA Sample Volume
25	الحجم النهائي	

تم مزج المكونات اعلاه بجهاز المازج الدوار بسرعة 3000 دورة دقيقة⁻¹ لمدة 10 ثانية، ثم وضعت في جهاز البلمرة الحراري اللحظي ونفذت البرامج كما في جدول (16) ولكل جين

جدول 16: برنامج ظروف تفاعل (RT-qPCR) لجينات تحمل الاجهاد المائي ZmMYBE1 و

AP2

الخطوة	درجة الحرارة (°C)	الوقت	عدد الدورات
cDNA synthesis	50	20 min	Hold
Denaturation	95	min10	Hold
Initial			
Denaturation	95	45 sec	
Annealing	60	45 sec	40
Extension	72	1	
Extension	72	5	Hold

18-3- الصفات قيد الدراسة

- **المدة من الزراعة حتى 50% تزهير ذكري (يوم):**
تم حساب المدة من تاريخ الزراعة (تاريخ الريه الاولى) الى بزوغ النورة الذكرية لـ 50 % من نباتات الوحدة التجريبية.
- **المدة من الزراعة الى 50% تزهير انثوي (يوم):**
تم حساب المدة من تاريخ الزراعة (تاريخ الريه الاولى) الى بزوغ الحريرة 50 % من النباتات الوحدة التجريبية.
- **ارتفاع النبات (سم):**
اخذ متوسط خمس نباتات اختيرت بصورة عشوائية من كل وحدة تجريبية ثانوية وتم قياسه من سطح التربة الى العقدة السفلی للنورة الذكرية.
- **المساحة الورقية للنبات (سم² نبات⁻¹):** حسبت من متوسط خمسة نباتات وباستخدام المعادلة : مربع طول الورقة تحت ورقة العرنوص × 0.75 (ورقة واحدة) (الساهوكي وجیاد, 2013).

• دليل المساحة الورقية :

حسب من قسمة المساحة الورقية للنبات الواحد على مساحة الأرض التي يشغلها ذلك النبات.

• الوزن الجاف (غم نبات⁻¹):

حسب من متوسط خمسة نباتات عند مرحلة 50% تزهير ذكري أخذت بصورة عشوائية بكامل مكوناتها (ماعدا الجذر) ثم قطعت وجفت طبيعياً على الهواء مع مراعاة تقليبيها لحين ثبات الوزن.

• محتوى الأوراق من الكلورو菲ل الكلي (ملغم 100 غم⁻¹ وزن طري):

قدر محتوى الأوراق من الكلورو菲ل الكلي عند 50% تزهير حسب طريقة Lichtenthaler (1987), اذ وزنت 0.20 غم من الأوراق الطيرية و اضيف لها 20 مل من الاسيتون 80%, اذ تم التقطيع والسحق بجفنة خزفية و للمحافظة على الصيغة من التحلل الضوئي يضاف لها كarbonات الصوديوم وضعت بعدها في انبيب معتممة وتمت القراءة بجهاز Spectrophotometer على طول موجي 663 نانوميتر للكلورو菲ل a و الآخر ذو طول موجي 645 نانوميتر للكلورو菲ل b على وفق المعادلة التالية قدر محتوى الكلورو菲ل

$$Chlorophyll.a = \frac{(1.25 \times D663 - 2.79 \times D645) \times V}{W \times 1000}$$

$$Chlorophyll.b = \frac{(2.15 \times D645 - 5.68 \times D663) \times V}{W \times 1000}$$

إذ ان:-:

D=قراءة الكثافة الضوئية للكلورو菲ل المستخلص على الأطوال الموجية 663 نانوميتر و 645 نانوميتر بالتابع.

V=الحجم النهائي للأسيتون المخفف بتركيز (80%)

W=وزن العينة الطيرية المأخوذة 0.20 غم

ثم تم اعتماد المعادلة التالية:

$$Chlorophyll.total = Chlorophyll.a + Chlorophyll.b$$

- محتوى الأوراق من البرولين (مايكرومول غرام⁻¹ وزن طري) :
قدر محتوى البرولين في الأوراق النباتية حسب طريقة (Bates وآخرون, 1973).

- محتوى الماء النسبي للأوراق (%):
تم اخذ عدد من الأوراق الطيرية (الورقة الثالثة من أعلى النبات)، ثم اخذت منها أربعة افراد من منتصفها بقطر (2) سم ووضعت في اكياس نايلون لمنع فقد الرطوبة ووزنت بعد القطع مباشرة ثم وضعت في ماء مقطر لمدة (24) ساعة تحت اضاءة ودرجة حرارة الغرفة، ثم جفت الأوراق باستخدام ورق ترشيح ووزنت لقياس الوزن الممتنئ ثم وضعت في فرن بدرجة حرارة (60°C) لمدة (24) ساعة ثم اخذ الوزن الجاف. Woolley و Barnes ، 1969). وقدر محتوى الماء النسبي حسب المعادلة الآتية.

$$R.W.C = \frac{FW - DW}{TW - DW} \times 100$$

اذ ان:

= الوزن الطري (غم). FW

= الوزن الجاف (غم). DW

= الوزن الممتنئ (غم). TW

- محتوى الأوراق من الهرمونات النباتية (مايكرو مول): قدرت الهرمونات النباتية (الاوكتينات، الجبرلينات GA، السايتوكلينينات CKs)، حسب طريقة (Unyayar وآخرون، 1996).
- فعالية الإنزيمات المضادة للأكسدة :
تم تقدير فعالية الإنزيمات المضادة للأكسدة البيروكسيديز (peroxidasePOD) والكاتاليز (CatalaseCAT) وفق ما جاء في طريقة Beers و Sizer (1952).
- الحاصل ومكوناته: اخذت خمسة نباتات مختارة عشوائياً من كل وحدة تجريبية وتم حساب.
- عدد الصفوف(صف عرنوص⁻¹) :
حسب عدد الصفوف في العرنوص يدويا واستخراج متوسطها

- **عدد الحبوب بالصف(حبة صف⁻¹) :**
حسب عدد الحبوب في الصف الواحد يدويا واستخرج متوسطها
- **وزن 500 حبة(غم) :**
حسب 500 حبة من كل عينة ماخوذة لخمسة نباتات محسودة من كل وحدة تجريبية وزننت بميزان حساس
- **حاصل الحبوب الكلي(ميكا غرام ه⁻¹) :**
حسب الحاصل الكلي للحبوب من معدل وزن حاصل النبات الواحد الماخوذ كمعدل من خمسة نباتات محسودة من كل وحدة تجريبية مضروب في الكثافة النباتية
- **الحاصل الباليولوجي الكلي(ميكا غرام ه⁻¹) :**
تم حساب حاصل الباليولوجي من خلال المعادلة التالية بعد تجفيف العينة لحين ثبات الوزن (الساهوكي 1990).
الحاصل الباليولوجي = (الوزن الجاف الكلي للنبات × الكثافة النباتية ه⁻¹)
- **كفاءة استعمال الماء لحاصل الحبوب (كغم حبوب م⁻³ ماء):**
حسبت وفق المعادلة التالي

$$WUE = \frac{GY}{WA}$$

WUE = كفاءة استعمال الماء (كغم حبوب م⁻³ ماء)

GY = حاصل الحبوب (كغم ه⁻¹).

WA = مياه الري المضافة (م⁻³ ه⁻¹).

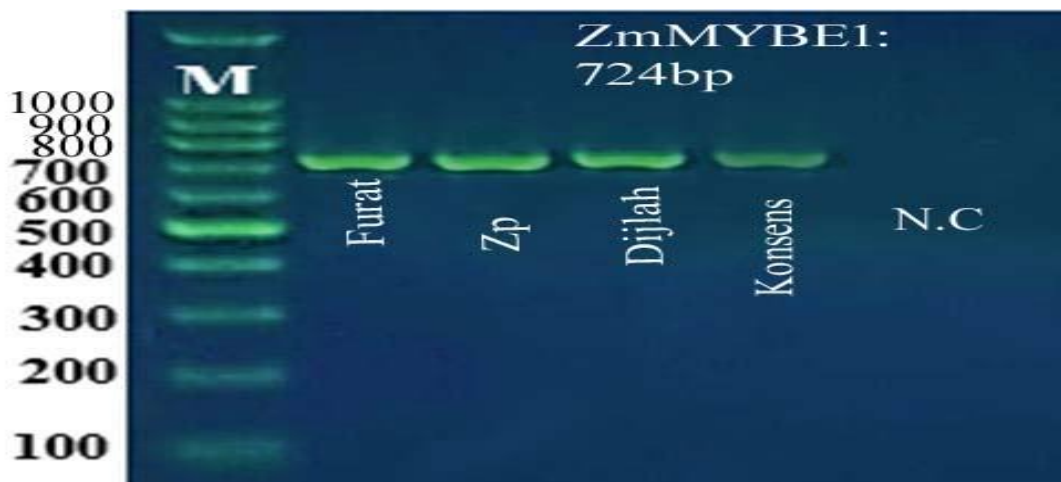
19-3 التحليل الإحصائي

اجري تحليل البيانات احصائياً وفق ترتيب اللواح المنشقة بتصميم القطاعات الكاملة المعشرة ولجميع الصفات المدروسة. واستعمال اختبار اقل فرق معنوي (أ.ف.م) وعلى مستوى احتمالية 0.05 لمقارنة المتوسطات واستعمل البرنامج الاحصائي **Gene Stat ver⁷** في اجراء التحليل الاحصائي

4- النتائج والمناقشة

1-4. تشخيص جين ZmMYBE1 و AP2.

بعد تهيئة ظروف تفاعل تقانة PCR لغرض تصخيم جين ZmMYBE1 في اربعة اصناف للذرة الصفراء (الفرات Furat و Zp و دجلة Dijlah و كونسينز Konsens)، تم ترحيل نواتج التفاعل على هلام الاكاروز اظهرت نتائج شكل (5) وجود حزمة ذات وزن جزيئي 724 bp تمثل جين ZmMYBE1 المسؤول عن تحمل نباتات الذرة الصفراء للجفاف من خلال دوره الحيوي في تعديل عملية النسخ اثناء ايض النبات وتطوره وكذلك مساهمته في تعديل الاستجابة للضوء.



شكل 5: ترحيل نواتج تفاعل PCR لبادئ جين ZmMYBE1 مع معاملة مقارنة (N.C) بدون اضافة DNA الى بقية المكونات المطلوبة لتفاعل البلمرة المتسلسل . بالإضافة الى احجام سلم الحامض النووي (DNA ladder) مثبتة على الجانب اليسير من الشكل.

بيّنت نتائج شكل 6 الذي يمثل الترحيل الكهربائي لنواتج PCR المضخمة لجين AP2 لأربعة اصناف للذرة الصفراء (الفرات Furat و Zp و دجلة Dijlah و كونسينز Konsens)، ظهور حزمة ذات وزن جزيئي 953 bp تمثل جين AP2 المسؤول عن تحمل نباتات الذرة الصفراء للجفاف، اذ ان جين AP2 يعد من الجينات التي تنظم نمو النبات وتطوره والاستجابة الدفاعية ضد الاجهادات الحيوية (Liu وآخرون, 2021)، اضافة لدوره في التمثيل الغذائي من خلال فسفرة البروتين، كواحدة من اكثر التعديلات شيوعا لنواتج هذا الجين بعد عملية الترجمة، اذ يعمل وظائف جديدة للانزيمات من خلال الارتباط والتحفيز والتنظيم والخصائص الفيزيائية وتعديل الخصائص كالنشاط الإنزيمي، والتفاعلات مع الانزيمات الأخرى (Lam

واخرون,2016). علاوة على ذلك ، فإنه يتحكم في استجابات الإجهاد عن طريق نقل إشارات الإجهاد من سطح الخلية إلى النواة ، هي إشارة كيميائية حيوية في الخلايا وتعديل مركزي لاحق للترجمة (Xu و (2015 ,Zhang



شكل6: ترحيل نواتج تفاعل PCR لبودي جين AP2 مع معاملة مقارنة (N.C) بدون اضافة الى DNA بقية المكونات المطلوبة لتفاعل البلمرة المتسلسل .بالاضافة الى احجام سلم الحامض النووي (ladder) مثبتة على الجانب اليسير من الشكل.

4-2- تأثير معاملات حجب الري في عتبة الدورة (CT) والتعبير النسبي لجين ZmMYBE1 في اوراق اصناف الذرة الصفراء عند المرحلة الخضرية .

ضخم جين ZmMYBE1 باستعمال تقانة RT-qPCR من اجل دراسة تعبيره النسبي في اوراق اربعة اصناف من الذرة الصفراء تحت تأثير حجب الري عند مرحلتين من نمو النبات وتدالهما، اذ كشفت نتائج جدول تحليل التباين (ملحق 2)، وجود فروقاً معنوية بين معاملات حجب الري بقيم عتبة الدورة (CT) والتعبير النسبي لجين ZmMYBE1 في اوراق الذرة الصفراء عند المرحلة الخضرية، بينما لم توجد فروقاً معنوية عند تقدير التعبير النسبي عند المرحلة التكاثرية (جدول 18)، اذ بينت نتائج جدول 17، ان حجب الري عند مرحلة الاستطاله (GS-V7) و حجب رية عند الاستطاله و امتلاء الحبة (GS-V7+R2) سبب انخفاضاً معنوياً في قيم CT اذ اعطتنا متوسطات بلغت 29.69 و 29.68 دورة، مقارنة بمعاملة الري الكامل (GS0) التي أعطت دورات بلغت 30.37 دورة، والتي لم تختلف معنويًا مع معاملة حجب الري عند مرحلة

امتلاء الحبة (GS-R2) التي أعطت متوسط بلغ 30.20 دورة وذلك لأنه تم قياس هذه الصفة قبل تطبيق معاملة حجب الري. كذلك لوحظ وجود علاقة عكسية بين قيم CT والتعبير النسبي للجين، إذ وضحت نتائج جدول 17 ان حجب الري عند مرحلة الاستطاللة (GS-V7) و حجب رية عند الاستطاللة و امتلاء الحبة (GS-V7+R2) سببت زيادة معنوية في التعبير النسبي لجين ZmMYBE1 عند المرحلة الخضرية بمقدار 1.63 و 1.69 مرة بالتتابع، مما هو عليه في معاملة المقارنة (GS0)، ربما تعزى الزيادة في التعبير النسبي للجين الى ان التعرض الى الاجهاد يمكن ان يسبب تعديل ميثلة DNA وبالتالي تعمل على تغيير مستوى التعبير الجيني (Dodig وآخرون, 2019)، كذلك ربما لوجود بعض الخلايا التي تتحسس مؤشرات الاجهاد بواسطة جزيئات حساسة على سطوحها لتعطي إشارات إلى تغيير عمليات التأييض داخل الخلايا من خلال تغيير التعبير الجيني (Rodríguez و آخرون, 2005)، لذا فان زيادة الاجهاد ربما تعمل على زيادة الاشارات اللازمة لعمل جين ZmMYBE1.

بينت نتائج جدول 17 وجود فروقاً معنوية بين اصناف الذرة في قيم CT اذ اعطى الصنفين دجلة و الفرات اقل قيم Ct بلغت 29.59 و 29.84 دورة بالتتابع، مقارنة الصنفين Zp وكونسينز اللذان اعطيا 30.20 و 30.31 دورة بالتتابع، ان انخفاض قيم Ct للصنفين دجلة و الفرات تعد مؤشراً على زيادة التعبير النسبي لجين ZmMYBE1 فيهما، وهذا ما اكنته نتائج التعبير النسبي، اذ بينت نتائج جدول 17 ان الصنفين دجلة و الفرات بالتتابع، اعطيا اعلى تعبير نسبي لجين ZmMYBE1 عند المرحلة الخضرية بمتوسطات بلغت 1.58 و 1.38 مرة، لذا نعتقد ان هذين الصنفين ممكناً ان تكون لديهما مقومات بتحمل الجفاف نظراً للارتفاع تعبير جين ZmMYBE1. ان اختلاف تعبير جين ZmMYBE1 في الاصناف يمكن ان يعزى لاختلافاتها الوراثية واحتمال وجود طفرات تعمل على اختلاف التعبير بينها من خلال تعديل الاشارة ، اضافة لاختلاف قدرة الاصناف على نقل الاشارة المحفزة لزيادة التعبير الجيني (Vranová و آخرون, 2002)، او ربما يعزى لاختلافاتها في عوامل النسخ المسؤولة عن زيادة او انخفاض التعبير (Denekamp و (2003, Smeekens

جدول 17 : تأثير معاملات حجب الري في عتبة الدورة (CT) والتعبير النسبي لجين ZMMYBE1 في اوراق اصناف الذرة الصفراء عند المرحلة الخضرية.

النوع	ΔΔ CT of ZMMYBE1 gene	Δ CT of ZMMYBE1 gene	CT of ZMMYBE1 gene	CT Actin gene	حجب الري
1.00	0.00	11.81	30.37	18.56	GS0
1.63	-0.66	11.15	29.69	18.53	GS-V7
1.03	-0.05	11.76	30.20	18.44	GS-R2
1.69	-0.70	11.11	29.68	18.57	GS-V7+R2
0.233	-----	-----	0.254	-----	ا. ف. م 0.05
النوع	ΔΔ CT of ZMMYBE1 gene	Δ CT of ZMMYBE1 gene	CT of ZMMYBE1 gene	CT Actin gene	الاصناف
1.38	-0.40	11.24	29.84	18.60	الفرات
1.21	-0.24	11.54	30.20	18.65	Zp
1.58	-0.55	11.21	29.59	18.39	دجلة
1.18	-0.21	11.85	30.31	18.46	كونسينز
0.231	-----	-----	0.401	-----	ا. ف. م 0.05
النوع	ΔΔ CT of ZMMYBE1 gene	Δ CT of ZMMYBE1 gene	CT of ZMMYBE1 gene	CT Actin gene	تدخل حجب الري مع الاصناف
1.00	0.00	11.64	30.33	18.69	الفرات
1.00	0.00	11.78	30.49	18.71	Zp
1.00	0.00	11.75	30.28	18.53	دجلة
1.00	0.00	12.06	30.38	18.31	كونسينز
1.65	-0.72	10.92	29.43	18.51	الفرات
1.25	-0.31	11.47	30.04	18.58	Zp
2.31	-0.20	10.55	29.15	18.60	دجلة
1.30	-0.38	11.68	30.12	18.44	كونسينز
1.08	-0.11	11.53	30.18	18.65	الفرات
1.01	-0.01	11.77	30.20	18.44	Zp
1.04	-0.05	11.70	29.79	18.09	دجلة
1.01	-0.01	12.06	30.63	18.57	كونسينز
1.81	-0.78	10.86	29.41	18.55	الفرات
1.58	-1.62	11.16	30.04	18.89	Zp
1.96	-0.93	10.83	29.16	18.33	دجلة
1.40	-0.46	11.61	30.10	18.49	كونسينز
غ. م	-----	-----	غ. م	-----	ا. ف. م 0.05

جدول 18 : تأثير معاملات حجب الري في عتبة الدورة (CT) والتعبير النسبي لجين ZMMYBE1 في اوراق اصناف الذرة الصفراء عند المرحلة التكاثرية.

النوع النسبي	$\Delta\Delta$ CT of ZMMYBE1 gene	Δ CT of ZMMYBE1 gene	CT of ZMMYBE1 gene	CT Actin gene	حجب الري
1.00	0.00	15.88	34.44	18.56	GS0
1.04	-0.06	15.82	34.35	18.53	GS-V7
1.03	-0.04	15.85	34.29	18.44	GS-R2
1.05	-0.07	15.82	34.38	18.57	GS-V7+R2
غ.م	-----	-----	غ.م	-----	ا.ف.م 0.05
النوع النسبي	$\Delta\Delta$ CT of ZMMYBE1 gene	Δ CT of ZMMYBE1 gene	CT of ZMMYBE1 gene	CT Actin gene	الاصناف
1.04	-0.05	15.69	34.29	18.60	الفرات
1.03	-0.04	15.83	34.48	18.65	Zp
1.05	-0.07	15.86	34.24	18.39	دجلة
1.00	0.00	15.99	34.45	18.46	كونسينز
غ.م	-----	-----	غ.م	-----	ا.ف.م 0.05
النوع النسبي	$\Delta\Delta$ CT of ZMMYBE1 gene	Δ CT of ZMMYBE1 gene	CT of ZMMYBE1 gene	CT Actin gene	تدخل حجب الري مع الاصناف
1.00	0.00	15.74	34.44	18.69	الفرات
1.00	0.00	15.87	34.58	18.71	Zp
1.00	0.00	15.93	34.45	18.53	دجلة
1.00	0.00	15.99	34.31	18.31	كونسينز
1.03	-0.04	15.70	34.22	18.51	الفرات
1.07	-0.10	15.77	34.35	18.58	Zp
1.08	-0.11	15.82	34.41	18.60	دجلة
0.99	-0.01	16.00	34.44	18.44	كونسينز
1.06	-0.08	15.67	34.32	18.65	الفرات
1.03	-0.03	15.83	34.27	18.44	Zp
1.07	-0.09	15.83	33.92	18.09	دجلة
0.96	0.06	16.06	34.63	18.57	كونسينز
1.07	-0.10	15.64	34.19	18.55	الفرات
1.02	-0.03	15.83	34.72	18.89	Zp
1.05	-0.07	15.86	34.19	18.33	دجلة
1.04	-0.06	15.93	34.42	18.49	كونسينز
غ.م	-----	-----	غ.م	-----	ا.ف.م 0.05

4-3- تأثير معاملات حجب الري في عتبة الدورة (CT) والتعبير النسبي لجين AP2 في اوراق اصناف الذرة الصفراء عند المرحلة الخضرية والتکاثرية.

استعملت تقانة RT-qPCR من اجل تضخيم جين AP2 ودراسة تعبيره النسبي في اوراق اربعه اصناف من الذرة الصفراء تحت تأثير حجب الري عند مرحلتين من نمو النبات وتدالخهما، اذ كشفت نتائج جدول تحليل التباين (ملحق2)، وجود فروقاً معنوية بين معاملات حجب الري بقيم عتبة الدورة (CT) والتعبير النسبي لجين AP2 في اوراق الذرة الصفراء عند المرحلة الخضرية والتکاثرية.

اذ بينت نتائج عتبة الدورة (CT) والتعبير النسبي لجين AP2 في اوراق الذرة الصفراء عند المرحلة الخضرية(جدول19)، ان حجب الري عند مرحلة الاستطالله (GS-V7) و حجب رية عند مرحلة الاستطالله و امتلاء الحبة (GS-V7+R2) سبب انخفاضاً معنويَا في قيم CT اذ اعطتنا متوسطات بلغت 31.68 و 31.69 دورة، مقارنة بمعاملة الري الكامل (GS0) التي أعطت دورات بلغت 32.36 دورة، والتي لم تختلف معنويَا مع معاملة حجب الري عند مرحلة امتلاء الحبة (GS-R2) التي أعطت متوسط بلغ 32.21 دورة وذلك لانه تم قياس هذه الصفة قبل تطبيق معاملة حجب الري. كذلك لوحظ وجود علاقة عكسية بين قيم CT والتعبير النسبي للجين، اذ وضحت نتائج جدول 18 ان حجب الري عند مرحلة الاستطالله (GS-V7) و حجب الري عند مرحلة الاستطالله و عند مرحلة امتلاء الحبة (GS-V7+R2) سببت زيادة معنوية في التعبير النسبي لجين AP2 عند المرحلة الخضرية بمقدار 1.62 و 1.66 مرة بالتنابع، مما هو عليه في معاملة المقارنة (GS0). اما عند تقدير عتبة الدورة (CT) والتعبير النسبي لجين AP2 في اوراق الذرة الصفراء عند المرحلة التکاثرية(جدول20)، فقد بينت النتائج ان حجب الري عند مرحلة امتلاء الحبة (GS-V7+R2) و حجب الري عند مرحلة الاستطالله و عند مرحلة امتلاء الحبة (GS-V7+R2) سبب انخفاضاً معنويَا في قيم CT اذ اعطنا متوسطات بلغت 34.60 و 34.77 دورة، مقارنة بمعاملة الري الكامل (GS0) التي أعطت دورات بلغت 35.04 دورة، والتي لم تختلف معنويَا مع معاملة حجب الري عند مرحلة الاستطالله (GS-V7) التي أعطت متوسط بلغ 34.97 دورة. كذلك لوحظ وجود علاقة عكسية بين قيم CT والتعبير النسبي للجين، اذ وضحت نتائج جدول 19 ان حجب الري عند مرحلة امتلاء الحبة (GS-R2) و حجب رية واحدة عند الاستطالله و امتلاء الحبة (GS-V7+R2) سببت زيادة معنوية في التعبير النسبي لجين AP2 عند المرحلة التکاثرية بمقدار 1.29 و 1.25 مرة بالتنابع، مما هو عليه في معاملة المقارنة (GS0). ربما تعزى الزيادة في التعبير النسبي لجين AP2 للجوء النبات الى تعديل بعض التفاعلات الكيميائية في الخلية والتي

تحكم في تغيير التعبير الجيني كان تكون عملية الميثلة (Bartels وآخرون, 2018) التي تسبب زيادة او نقصان في انتاج بعض البروتينات والانزيمات وبالتالي التحكم بالتعبير الجيني تحت ظروف الجفاف.

بينت نتائج جدول 19 وجود فروقاً معنوية بين اصناف الذرة في قيم Ct عند تقديرها في المرحلة الخضرية اذ اعطى الصنفين الفرات ودجلة اقل قيم Ct بلغت 31.83 و 31.59 دورة بالتتابع، مقارنة الصنفين Zp كونسينر اللذان اعطيا 32.20 و 32.32 دورة بالتتابع، ان انخفاض قيم Ct للصنفين دجلة و الفرات تعد مؤشراً على زيادة التعبير النسبي لجين AP2 فيهما، وهذا ما اكده نتائج التعبير النسبي، اذ بيّنت نتائج جدول 19 ان الصنفين الفرات و دجلة اعطيا اعلى تعبير نسبي لجين AP2 عند المرحلة الخضرية بمتوسطات بلغت 1.56 و 1.37 مرة بالتتابع . بينما عند تقدير قيم CT و التعبير النسبي عند المرحلة التكاثرية لوحظ عدم وجود فروقاً معنوية بين اصناف الذرة الصفراء.

جدول 19 : تأثير معاملات حجب الري في عتبة الدورة (CT) والتعبير النسبي لجين AP2 في اوراق اصناف الذرة الصفراء عند المرحلة الخضرية.

التعبير النسبي	$\Delta\Delta$ CT of AP2 gene	Δ CT of AP2 gene	CT of AP2 gene	CT Actin gene	حجب الري
1.00	0.00	13.80	32.36	18.56	GS0
1.62	-0.65	13.15	31.68	18.53	GS-V7
1.02	-0.03	13.77	32.21	18.44	GS-R2
1.66	-0.68	13.12	31.69	18.57	GS-V7+R2
0.217	-----	-----	0.241	-----	ا.ف.م 0.05
التعبير النسبي	$\Delta\Delta$ CT of AP2 gene	Δ CT of AP2 gene	CT of AP2 gene	CT Actin gene	الأصناف
1.37	-0.38	13.23	31.83	18.60	الفرات
1.20	-0.23	13.54	32.20	18.65	Zp
1.56	-0.53	13.20	31.59	18.39	دجلة
1.18	-0.22	13.86	32.32	18.46	كونسينزر
0.223	-----	-----	0.393	-----	ا.ف.م 0.05
التعبير النسبي	$\Delta\Delta$ CT of AP2 gene	Δ CT of AP2 gene	CT of AP2 gene	CT Actin gene	تداخل حجب الري مع الأصناف
1.00	0.00	13.61	32.31	18.69	الفرات GS0
1.00	0.00	13.77	32.48	18.71	Zp
1.00	0.00	13.73	32.26	18.53	دجلة
1.00	0.00	14.08	32.39	18.31	كونسينزر
1.64	-0.71	12.90	31.41	18.51	الفرات GS-V7
1.23	-0.30	13.47	32.05	18.58	Zp
2.29	-1.19	12.54	31.14	18.60	دجلة
1.32	-0.40	13.68	32.12	18.44	كونسينزر
1.05	-0.07	13.54	32.19	18.65	الفرات GS-R2
1.01	-0.01	13.76	32.20	18.44	Zp
1.01	-0.02	13.71	31.80	18.09	دجلة
1.02	-0.03	14.05	32.63	18.57	كونسينزر
1.78	-0.75	12.86	31.41	18.55	الفرات GS-V7+R2
1.56	-0.60	13.17	32.05	18.89	Zp
1.95	-0.91	12.82	31.15	18.33	دجلة
1.38	-0.91	13.64	32.14	18.49	كونسينزر
0.422	-----	-----	غ.م	-----	ا.ف.م 0.05

جدول 20 : تأثير معاملات حجب الري في عتبة الدورة (CT) والتعبير النسبي لجين AP2 في اوراق اصناف الذرة الصفراء عند المرحلة التكاثرية.

التعبير النسبي	$\Delta\Delta$ CT of AP2 gene	Δ CT of AP2 gene	CT of AP2 gene	CT Actin gene	حجب الري
1.00	0.00	16.48	35.04	18.56	GS0
1.03	-0.03	16.44	34.97	18.53	GS-V7
1.29	-0.31	16.16	34.60	18.44	GS-R2
1.25	-0.27	16.20	34.77	18.57	GS-V7+R2
0.163	-----	-----	0.176	-----	ا.ف.م 0.05
التعبير النسبي	$\Delta\Delta$ CT of AP2 gene	Δ CT of AP2 gene	CT of AP2 gene	CT Actin gene	الأصناف
1.15	-0.16	16.23	34.83	18.60	الفرات
1.01	0.00	16.39	35.05	18.65	Zp
1.28	-0.32	16.09	34.48	18.39	دجلة
1.12	-0.14	16.57	35.03	18.46	كونسينزر
0.176	-----	-----	0.433	-----	ا.ف.م 0.05
التعبير النسبي	$\Delta\Delta$ CT of AP2 gene	Δ CT of AP2 gene	CT of AP2 gene	CT Actin gene	تداخل حجب الري مع الأصناف
1.00	0.00	16.39	35.08	18.69	الفرات GS0
1.00	0.00	16.39	35.10	18.71	Zp
1.00	0.00	16.41	34.94	18.53	دجلة
1.00	0.00	16.71	35.02	18.31	كونسينزر
1.01	-0.01	16.38	34.89	18.51	الفرات GS-V7
1.00	0.00	16.39	34.97	18.58	Zp
1.03	-0.04	16.37	34.97	18.60	دجلة
1.06	-0.08	16.63	35.07	18.44	كونسينزر
1.35	-0.44	15.95	34.60	18.65	الفرات GS-R2
0.87	0.23	16.62	35.06	18.44	Zp
1.57	-0.65	15.76	33.85	18.09	دجلة
1.38	-0.40	16.31	34.88	18.57	كونسينزر
1.22	-0.20	16.19	34.74	18.55	الفرات GS-V7+R2
1.18	-0.23	16.17	35.05	18.89	Zp
1.54	-0.60	15.82	34.15	18.33	دجلة
1.06	-0.07	16.64	35.14	18.49	كونسينزر
غ.م	-----	-----	غ.م	-----	ا.ف.م 0.05

4-4- مدد النمو

4-4-1- عدد الأيام حتى 50% تزهير ذكري (يوم)

أظهرت نتائج ملحق (2) وجود تأثيراً معنوياً لمعاملات حجب الري و أصناف الذرة الصفراء و التداخل بينهما في عدد الأيام من الزراعة حتى 50% تزهير ذكري.

بيّنت نتائج جدول 21 ان حجب الري عند مرحلة الاستطالة (GS-V7) و حجب رية واحدة عند الاستطالة و امتلاء الحبة (GS-V7+R2) سبب انخفاضاً معنوياً في عدد الأيام من الزراعة حتى 50% تزهير ذكري، اذ أعطتنا متوسطين 57.00 و 56.75 يوماً بالتتابع، مقارنة بمعاملة الري الكامل (GS0) التي أعطت متوسط بلغ 60.75 يوماً، والتي لم تختلف معنوياً مع معاملة حجب الري عند مرحلة امتلاء الحبة (GS-R2) التي أعطت متوسط بلغ 60.50 يوماً وذلك لانه تم قياس هذه الصفة قبل تطبيق معاملة حجب الري. ربما يعزى انخفاض عدد الأيام من الزراعة حتى 50% تزهير ذكري عند المعاملتين GS-V7 و GS-V7+R2 إلى انخفاض المحتوى المائي للتربة وارتفاع درجات الحرارة وانخفاض الرطوبة النسبية مما أدى ذلك إلى تسارع العمليات الفسيولوجية حيث أدت هذه العملية في التكثير بالتزهير والتي يمكن ان نعبر عنها بهروب النبات من الجفاف أي بمقدرة النبات على اكمال دورة حياته قبل التعرض إلى حجب الري من خلال تسريع العمليات الحيوية داخل النبات والتکثير بالتزهير (Fang و Xiong , 2015)، وتطابق هذه النتائج مع ما توصل إليه Yasmin و آخرون (2017) اللذين وجدوا ان حجب الري يسبب اختزالاً معنوياً في عدد الأيام إلى التزهير.

أظهرت نتائج جدول 21 ان أصناف الذرة الصفراء تختلف معنوياً في عدد الأيام حتى 50% تزهير ذكري، اذ اعطى صنف الفرات أعلى متوسط لعدد الأيام من الزراعة حتى 50% تزهير ذكري اذ بلغ 64.00 يوماً، بينما أعطت الأصناف ZP و دجلة و كونسينز متوسطات بلغت 56.50 و 60.00 و 54.50 يوماً بالتتابع، ربما يعزى هذا الاختلاف بمدة النمو إلى عدة عوامل ومن هذه العوامل هي التراكيب الوراثية وبعض الجينات المسؤولة عن مدة النمو و خصوصاً جينات Stay Green المسؤولة عن طول فترة نمو النبات، لذلك تختلف عمل وتعبير هذه الجينات بين التراكيب والعوامل الوراثية المختبرة (Murtadha و آخرون, 2018).

أوضحت نتائج جدول 21 وجود تداخلاً معنوياً بين معاملات حجب الري و أصناف الذرة الصفراء في عدد الأيام من الزراعة حتى 50% تزهير ذكري، اذ لوحظ ان أصناف الذرة الصفراء قد اختلفت بمدى

تأثيرها بالإجهاد المائي، إذ بلغت نسبة الانخفاض بعدد الأيام من الزراعة حتى 50% تزهير ذكري لصنف الفرات 11.59% تحت المعاملة GS-V7، بينما للاصناف Zp و دجلة وكونسينر بلغت 3.51% و 4.84% و 3.64% بالتتابع.

جدول 21: تأثير حجب الري في عدد الأيام من الزراعة حتى 50% تزهير ذكري (يوم) لأربعة اصناف من الذرة الصفراء

متوسط حجب الري	الاصناف				مراحل حجب الري
	كونسينر	دجلة	Zp	الفرات	
60.75	55.00	62.00	57.00	69.00	GS0
57.00	53.00	59.00	55.00	61.00	GS-V7
60.50	56.00	61.00	59.00	66.00	GS-R2
56.75	54.00	58.00	55.00	60.00	GS-V7+R2
2.526		3.426			أ.ف.م
	54.50	60.00	56.50	64.00	متوسط الأصناف
					أ.ف.م
		1.553			

4-4-2 عدد الأيام من الزراعة حتى 50% تزهير انثوي (يوم)

أظهرت نتائج ملحق (2) وجود فروقاً معنوية بين معاملات حجب الري و اصناف الذرة الصفراء و التداخل بينهما في عدد الأيام من الزراعة حتى 50% تزهير انثوي.

بيّنت نتائج جدول 22 ان حجب الري عند الاستطالة (GS-V7) و حجب رية واحدة عند الاستطالة و امتلاء الحبة (GS-V7+R2) سبباً انخفاضاً معنواً في عدد الأيام حتى 50% تزهير انثوي اذ أعطنا متوسطين بلغاً 59.50 و 59.42 يوماً بالتتابع، مقارنة بمعاملة الري الكامل (GS0) التي أعطت متوسط بلغ 64.50 يوماً، والتي لم تختلف معنواً مع معاملة حجب الري عند مرحلة امتلاء الحبة (GS-R2) التي أعطت متوسط بلغ 64.42 يوماً. ان اختزال عدد الأيام حتى 50% تزهير انثوي نتيجة حجب الري عند المعاملتين

GS-V7 و GS-V7+R2 ربما يعزى الى تناقص عدد الأيام من الزراعة الى التزهير الذكري (جدول 21) والتي تقع ضمنها المرحلة التي يستطيع بها فضلا عن ان نقص المياه يسبب تسريع العمليات الحيوية للنبات وبالتالي تسارع مراحل نموه وتطوره (Ahmed و Abd ulameer, 2019). تتفق هذه النتيجة مع ما توصل اليه (Fang و Xiong, 2015) اذ وجدوا ان عدد أيام التزهير انثوي تقل مع تناقص وقلة مياه الري.

أظهرت نتائج جدول 22 ان أصناف الذرة الصفراء تختلف معنويا في عدد الأيام من الزراعة حتى 50% تزهير انثوي، اذ اعطى صنف الفرات اعلى متوسط لعدد الأيام من الزراعة حتى 50% تزهير انثوي اذ بلغ 66.50 يوما، بينما أعطت الأصناف ZP و دجلة و كونسينر متوسطات بلغت 60.25 و 62.92 و 58.17 يوما بالتتابع، ربما يعود اختلاف الأصناف بمدة نموها الى اختلاف قدرتها على ادارة فعالية الانزيمات وتوفير الطاقة للازمة بهيئة ATP لاستمرار عملية التمثيل الضوئي ونمو الاوراق وتقدير شيخوختها (Mutlu و Tas, 2021).

أوضحت نتائج جدول 22 وجود تداخلا معنويا بين معاملات حجب الري وأصناف الذرة الصفراء في عدد الأيام من الزراعة حتى 50% تزهير انثوي، اذ لوحظ ان اصناف الذرة الصفراء قد اختلفت ب مدى تأثيرها بالإجهاد المائي، اذ بلغت نسبة الانخفاض بعدد الأيام من الزراعة حتى 50% تزهير انثوي لصنف الفرات 12.50% تحت المعاملة GS-V7, بينما للاصناف Zp و دجلة وكونسينر بلغت 3.82% و 5.65% و 8.33% بالتتابع.

جدول 22: تأثير حجب الري في عدد الأيام من الزراعة حتى 50% تزهير انثوي (يوم) لأربعة اصناف من الذرة الصفراء

متوسط حجب الري	الاصناف				مراحل حجب الري
	كونسينر	دجلة	ZP	الفرات	
64.50	60.00	65.00	61.00	72.00	GS0
59.50	55.00	61.33	58.67	63.00	GS-V7
64.42	60.33	64.67	63.33	69.33	GS-R2
59.42	57.33	60.67	58.00	61.67	GS-V7+R2
2.308	3.374				أ.ف.م
	58.17	62.92	60.25	66.50	متوسط الاصناف
				1.606	أ.ف.م

4-5- الـصفات الفسيولوجـية

4-5-1- محتوى الاوراق من الكلوروفيل الكلى (ملغم 100 غم⁻¹ وزن طري)

أظهرت نتائج ملحق (2) وجود فرقاً معنوياً بين معاملات حجب الري و أصناف الذرة الصفراء و التداخل بينهما في محتوى الاوراق من الكلوروفيل الكلى.

بيّنت نتائج جدول 23 ان حجب الري عند المعاملتين حجب الري عند الاستطالة (GS-V7) و حجب رية واحدة عند الاستطالة و امتلاء الحبة (GS-V7+R2) سبباً انخفاضاً معنوياً في محتوى الكلوروفيل الكلى في الاوراق، اذ أعطتنا المعاملتين متسطين بلغاً 29.52 و 29.65 ملغم 100 غم⁻¹ وزن طري بالتابع، مقارنة بمعاملة الري الكامل (GS0) التي أعطت متوسطاً بلغ 37.02 ملغم 100 غم⁻¹ وزن طري، والتي لم تختلف معنوياً عن معاملة حجب الري عند مرحلة امتلاء الحبة التي أعطت متوسطاً بلغ 36.66 ملغم 100 غم⁻¹ وزن طري. ربما يعزى انخفاض محتوى الكلوروفيل تحت ظروف نقص المياه إلى تراجع مقدرة النبات على امتصاص الماء والعناصر لاسيما عنصر النتروجين الذي يعد أحد المكونات الدالة في حلقة البيروفيرون وهي أحد المركبات المهمة في بناء جزيئه الكلوروفيل (Pessarakli, 2016)، كما يمكن ان يؤدي الشد المائي إلى نقص السايتوكاينين (جدول 28) المهم في بناء الكرانا التي هي الأكثر تركيزاً بالكلوروفيل (Gou وآخرون ، 2017)، تطابقت هذه النتائج مع ما توصل إليه Rafiee (2012) اذ بين انخفاض محتوى الكلوروفيل في أوراق نباتات الذرة الصفراء عند تعرضها إلى اجهاد نقص المياه.

أظهرت نتائج جدول 23 ان أصناف الذرة الصفراء تختلف معنوياً في محتوى الكلوروفيل اذ اعطى صنف الفرات أعلى متوسط بلغ 36.03 ملغم 100 غم⁻¹ وزن طري ، بينما أعطت الأصناف ZP و دجلة و كونسينر متosteات بلغت 32.19 و 33.80 و 30.83 ملغم 100 غم⁻¹ وزن طري بالتابع، ربما يعزى تفوق صنف الفرات بمحتوى الكلوروفيل لتفوقه في المساحة الورقية (جدول 32) وبالتالي زيادة تراكم الكلوروفيل.

أوضحت نتائج جدول 23 وجود تداخلاً معنوياً بين معاملات حجب الري و أصناف الذرة الصفراء في محتوى الكلوروفيل الكلى في الاوراق، اذ لوحظ ان اصناف الذرة الصفراء قد اختلفت بمدى تأثيرها بالإجهاد المائي، اذ كان صنف كونسينر الاكثر انخفاضاً بمحتوى الكلوروفيل الكلى في الاوراق اذ اعطى متوسط بلغ 25.76 ملغم 100 غم⁻¹ وزن طري تحت المعاملة GS-V7، بينما صنف الفرات كان الاقل تاثراً عند مرحلة (GSO) اذ بلغ 39.18 ملغم 100 غم⁻¹ وزن طري.

جدول 23: تأثير حجب الري على محتوى الكلوروفيل (ملغم 100 غم⁻¹ وزن طري) لأربعة اصناف من الذرة الصفراء

متوسط حجب الري	الأصناف				مراحل حgebung الري
	كونسينز	دجلة	ZP	الفرات	
37.02	36.00	37.63	35.27	39.18	GS0
29.52	25.76	30.10	29.22	33.00	GS-V7
36.66	35.63	37.26	34.92	38.84	GS-R2
29.65	25.91	30.21	29.34	33.12	GS-V7+R2
1.392		1.963			أ.ف.م
	30.83	33.80	32.19	36.03	متوسط اصناف
			0.914		أ.ف.م

4-5-2 تركيز البرولين في الاوراق (ميكرومول غم⁻¹)

أظهرت نتائج ملحق (2) وجود فروقاً معنوية بين معاملات حجب الري و اصناف الذرة الصفراء و التداخل بينهما في تركيز البرولين.

بيّنت نتائج جدول 24 ان حجب الري عند مرحلة الاستطالة (GS-V7) و حجب رية واحدة عند الاستطالة و امتلاء الحبة (GS-V7+R2) سبب زيادة معنوية في تركيز البرولين اذ اعطتنا متواسطين بلغا 76.79 و 76.16 ميكرومول غم⁻¹ بالتتابع, متتفوقة على معاملة الري الكامل التي اعطت متواسطاً بلغ 60.53 ميكرومول غم⁻¹ ربما تعزى هذه الزيادة الى فسيولوجية النبات من اجل حماية خلاياه من الضرر الناجم من نقص المياه عن طريق الاسهام في الوقاية من اضرار مركبات ROS فضلاً عن دوره الإيجابي في التنظيم الأزموزي لخلايا النبات والذي يزيد من قدرته على سحب الماء والمغذيات ومن ثم المحافظة على استطالة الخلايا وفتح الثغور وكفاءة عملية التمثيل الكارbone والذى يؤدي بدوره على المحافظة على نمو النبات تحت ظروف نقص المياه، اذ ان البرولين يعد غالباً او قشرة مائية مشدودة ومتناسكة تعمل على مقاومة التغيرات تحت الاجهاد المائي، مهدي ومحمد (2009)، تتفق هذه النتيجة مع ما توصل اليه Al-shaheen وآخرون

(2016) Soh AL shaheen (2016) الذين وجدوا في نتائجهم زيادة محتوى الأوراق من البرولين تحت ظروف نقص المياه.

أظهرت نتائج جدول 24 ان أصناف الذرة الصفراء تختلف معنوياً في محتوى الأوراق من البرولين، اذ اعطى الصنف دجلة اعلى متوسط بلغ 79.97 ميكرومول غم⁻¹, بينما لم يختلف الصنفين الفرات و ZP والتي أعطت الأصناف الفرات و ZP و متوسطات بلغت 58.53 و 61.83 وتلاه الصنف كونسينر الذي اعطى متوسط بلغ 73.44 ميكرومول غم⁻¹ بالتتابع ، وربما يعود ذلك الى اختلافها الوراثية (Rafiee, 2012).

أوضحت نتائج جدول 24 وجود تداخلاً معنوياً بين معاملات حجب الري و أصناف الذرة الصفراء في تركيز البرولين في الأوراق، اذ لوحظ ان اصناف الذرة الصفراء قد اختلفت بمدى تأثيرها بالإجهاد المائي، اذ كان صنف الفرات الاكثر انخفاضاً بتركيز البرولين في الأوراق اذ بلغ 64.01 % تحت المعاملة GS-V7, بينما صنف كونسينر كان الاقل تأثراً اذ بلغ 16.71 %.

جدول 24: تأثير حجب الري على تركيز البرولين (ميكرومول غم⁻¹) لأربعة اصناف من الذرة الصفراء

متوسط حجب	الأصناف				مراحل حجب
الري	كونسينر	دجلة	ZP	الفرات	الري
60.53	67.99	73.20	56.43	44.51	GS0
76.79	79.35	87.25	67.54	73.00	GS-V7
60.29	67.75	72.93	56.18	44.32	GS-R2
76.16	78.68	86.51	67.17	72.27	GS-V7+R2
6.234		9.210			أ.ف.م
	73.44	79.97	61.83	58.53	متوسط
					الأصناف
			4.409		أ.ف.م

4-5-3- محتوى الماء النسبي (%)

أظهرت نتائج ملحق (2) وجود فروقاً معنوية بين معاملات حجب الري و أصناف الذرة الصفراء و التداخل بينهما في محتوى الماء النسبي (%) .

بيّنت نتائج جدول 25 ان حجب الري عند الاستطالة (GS-V7) و حجب رية واحدة عند الاستطالة و امتلاء الحبة (GS-V7+R2) سبب انخفاضاً معنويّاً في محتوى الماء النسبي، اذ أعطتنا متواسطين بلغا 70.03 % و 69.88 % بالتابع، مقارنة بمعاملة الري الكامل (GS0) التي أعطت نسبة بلغت 84.37% والتي لم تختلف معنويّاً مع معاملة حجب الري عند مرحلة امتلاء الحبة التي أعطت نسبة بلغت 83.57%. ان انخفاض المحتوى المائي النسبي في الأوراق يمكن ان يعزى الى انخفاض جاهزية ماء التربة مما خفض من قدرة النبات على امتصاص الماء وبالتالي انخفاض محتوى الماء في الانسجة النباتية (Karrou و اخرون 2012) كما تؤثر قلة المساحة الورقية (جدول 32) على قدرة الاوراق على احتفاظها بالماء. تتفق هذه النتيجة مع Aslam و اخرون (2014) حيث وجدوا انخفاضاً في محتوى الماء النسبي عند حجب الري في المراحل الخضرية.

أظهرت نتائج جدول 25 ان أصناف الذرة الصفراء تختلف معنويّاً في محتوى الماء النسبي ، اذ اعطى صنف الفرات اعلى نسبة لمحتوى الماء النسبي بلغت 88.11 %، بينما أعطت الأصناف ZP و دجلة و كونسينز نسب بلغت 83.64 % و 69.33 % و 66.78 % بالتابع، يمكن ان يعزى هذا التباين في محتوى الماء النسبي بين الأصناف الى اختلافها في المساحة الورقية (جدول 32) وبالتالي اختلاف قدرتها على الاحتفاظ بالماء.

أوضحت نتائج جدول 25 وجود تداخلاً معنويّاً بين معاملات حجب الري و أصناف الذرة الصفراء في محتوى الماء النسبي في الأوراق، اذ لوحظ ان أصناف الذرة الصفراء قد اختلفت بمدى تأثيرها بالإجهاد المائي، اذ كان صنف الفرات الاقل انخفاضاً بنسبة بلغت 10.38 % تحت المعاملة GS-V7، بينما صنف كونسينز كان الاكثر تأثراً بنسبة بلغت 32.97%.

جدول 25: تأثير حجب الري في محتوى المائي النسبي (%) لاربعة اصناف من الذرة الصفراء

متوسط حجب	الاصناف				مراحل حجب
	كونسينز	دجلة	ZP	الفرات	
الري					الري
84.37	80.34	73.88	89.92	93.35	GS0
70.03	53.85	65.10	77.53	83.66	GS-V7
83.57	79.27	73.83	89.18	92.01	GS-R2
69.88	53.65	64.51	77.93	83.41	GS-V7+R2
6.407		9.318			أ.ف.م
	66.78	69.33	83.64	88.11	متوسط
					الاصناف
		4.422			أ.ف.م

4-5-4- تركيز الهرمونات النباتية في الاوراق (ميكرومول غم⁻¹)

أظهرت نتائج ملحق (2) وجود فروقاً معنوية بين معاملات حجب الري و اصناف الذرة الصفراء و التداخل بينهما في تركيز الهرمونات النباتية (هرمون الاندول استيک اسيد IAA و هرمون الجبرلين GA و هرمون السايتوكابين CK).

بيّنت نتائج جداول 26 و 27 و 28 ان حجب الري سبب انخفاضاً معنويّاً في IAA و GA و CK, اذ أعطت المعاملتين حجب الري عند الاستطالة (GS-V7) و حجب رية واحدة عند الاستطالة و امتلاء الحبة (GS-V7+R2) اقل متوسطات لـ IAA و GA و CK بلغت (52.97 و 52.60) و (33.45 و 33.24) و (43.01 و 42.51) ميكرومول غم⁻¹ بالتتابع, مقارنة بمعاملة الري الكامل (GS0) التي أعطت متوسطاً بلغ 71.39 و 47.97 و 61.08 ميكرومول غم⁻¹ بالتتابع, والتي لم تختلف معنويّاً مع معاملة حجب الري عند مرحلة امتلاء الحبة. ان انخفاض تركيز الهرمونات النباتية (IAA و GA و CK) في اوراق الذرة الصفراء نتيجة لظروف نقص الماء التي تعمل على تثبيط فعالية بعض الانزيمات المسؤولة عن تحفيز الهرمونات النباتية (Wang وآخرون 2008).

أظهرت نتائج جدول 26 و 27 و 28 ان أصناف الذرة الصفراء اختلفت معنويا في محتواها من الهرمونات النباتية في الاوراق، اذ اعطى الصنفين فرات و Zp اعلى متوسطات لمحتوى IAA و GA و CK بلغت (74.04 و 71.32) و (47.44 و 45.77) و (59.54 و 57.82) ميكرومول غم⁻¹ بالتتابع، بينما اعطى الصنف كونسيز اقل المتوسطات، ان هذا الاختلاف بين اصناف الذرة الصفراء في محتواها من الهرمونات النباتية يمكن ان يعزى لاختلافاتها الوراثية، اذ ان تعبير الجينات المسئولة عن تحفيز زيادة تخليق الهرمونات النباتية يختلف ما بين اصناف الذرة الصفراء Rathinasabapathi و Krishnamurthy (2013).

بينت نتائج جدول 26 وجود تداخلاً معنوياً بين معاملات حجب الري و اصناف الذرة الصفراء في محتوى الاوراق من الهرمونات النباتية، اذ لوحظ تفوق الصنفين فرات و Zp باعطائهما اعلى تركيز لـ IAA و GS و CK تحت ظروف الري الكامل (GS0)، بينما تنخفض هذه التراكيز عند معاملتي حجب الري V7 و GS-V7+R2.

جدول 26: تأثير حجب الري في IAA (ميكرومول غم⁻¹) لأربعة اصناف من الذرة الصفراء

متوسط حجب الري	الأصناف					مراحل حجب الري
	كونسيز	دجلة	ZP	الرات		
71.39	64.90	60.22	79.60	80.84	GS0	
52.97	32.16	48.12	63.79	67.78	GS-V7	
70.67	64.06	60.12	87.42	80.06	GS-R2	
52.60	31.94	47.50	63.48	67.50	GS-V7+R2	
7.109		10.603			أ.ف.م	
	48.27	53.99	71.32	74.04	متوسط الاصناف	
		5.101			أ.ف.م	

جدول 27: تأثير حجب الري في تركيز الجبرلين (ميكرومول غم⁻¹) لاربعة اصناف من الذرة الصفراء

متوسط حجب الري	الأصناف					مراحل حجب الري
	كونسينتر	دجلة	ZP	الفرات		
47.97	44.26	41.19	52.85	53.57	GS0	
33.45	21.46	30.46	39.61	42.28	GS-V7	
46.55	43.10	40.14	51.16	51.79	GS-R2	
33.24	21.33	30.09	39.43	42.11	GS-V7+R2	
4.147		6.112			A.F.M	
	32.54	35.47	45.77	47.44	Mتوسط الأصناف	
		2.922			A.F.M	

جدول 28: تأثير حجب الري في تركيز السايتوكاينين (ميكرومول غم⁻¹) لاربعة اصناف من الذرة الصفراء

متوسط حgebung الري	حجب الأصناف					مراحل حgebung الري
	كونسينتر	دجلة	ZP	الفرات		
61.08	56.38	67.16	52.78	68.00	GS0	
43.01	32.57	49.25	38.15	52.05	GS-V7	
59.66	55.02	65.83	51.53	66.24	GS-R2	
42.51	31.76	49.04	37.39	51.86	GS-V7+R2	
4.485				غ.م	A.F.M	
	43.93	44.96	57.82	59.54	Mتوسط الأصناف	
		3.533			A.F.M	

٤-٥-٥- فعالية الانزيمات (وحدة امتصاص غم^{-١})

أظهرت نتائج ملحق (2) وجود فروقاً معنوية بين معاملات حجب الري والأصناف والتدخل بينهما في فعالية إنزيم بيروكسيديز و الكتاليز في الاوراق.

بيّنت نتائج جدول 29 و 30 ان حجب الري سبب زيادة معنوية في فعالية إنزيم بيروكسيديز و الكتاليز في الاوراق، اذ أعطت المعاملتين حجب الري عند الاستطالة (GS-V7) و حجب رية واحدة عند الاستطالة و امتلاء الحبة (GS-V7+R2) أعلى متوسطين بلغا (76.54 و 73.77) و (53.83 و 52.25) وحدة امتصاص غم^{-١} بالتتابع، مقارنة بمعاملة الري الكامل (GS0) التي أعطت متوسطاً بلغ 62.40 و 43.43 وحدة امتصاص غم^{-١}، والتي لم تختلف معنويًا مع معاملة حجب الري عند مرحلة امتلاء الحبة التي أعطت متوسطاً بلغ 56.24 و 53.83 وحدة امتصاص غم^{-١}. قد يعود سبب زيادة فعالية إنزيم البيروكسيديز و الكتاليز إلى زيادة وفعالية الأحماض الأمينية و البروتينات الذائية في سايتوبلازم الخلايا التي قد تساهم في زيادة بناء وفعالية هذه الإنزيمات، ان زيادة هذه الإنزيمات احدى الوسائل الدافعية لخلايا النبات المعرض للإجهاد المائي لتقليل التأثير السلبي لمجاميع الأوكسجين الفعالة (ROS) Reactive oxygen species مثل السوبر اوکسیديز (O_2) و بيروكسيد الهيدروجين H_2O_2 peroxide hydrogen و جذر الهيدروكسيل (OH) hydroxyl radical التي تعمل عند تعرض الخلايا لظروف اجهاد نقص الماء والذي يكون له دوره المباشر في التخلص من و بيروكسيد الهيدروجين Kamphorst و آخرون (2018).

أظهرت نتائج جدول 29 و 30 ان أصناف الذرة الصفراء قد تباينت معنويًا في فعالية إنزيم بيروكسيديز و الكتاليز، اذ اعطى صنف الفرات أعلى متوسطين لفعالية إنزيم بيروكسيديز و الكتاليز اذ بلغ 81.29 و 55.09 وحدة امتصاص غم^{-١} بالتتابع، متقدماً على الأصناف الأخرى ZP و دجلة و كونسيز، وربما يعود ذلك إلى الاختلافات بلتركيب الوراثي ما بين أصناف الذرة الصفراء، ويمكن ان تقلص قدرة الخلايا والنبات في مقاومتها لظروف الإجهاد من محافظته على مستوى عالي من الإنزيمات الفعالة المضادة للأكسدة (عبد القادر ، 2007).

أوضحت نتائج جدول 29 و 30 وجود تداخلاً معنويًا بين معاملات حجب الري وأصناف الذرة الصفراء في فعالية إنزيم بيروكسيديز، اذ تفوق صنف الفرات باعطائه أعلى فعالية لأنزيم بيروكسيديز تحت ظروف حجب الري عند المعاملتين GS-V7 و GS-V7+R2، بينما انخفضت هذه الفعالية تحت ظروف الري الكامل (GS0).

جدول 29: تأثير حجب الري في فعالية انزيم بيروكسيديز (وحدة امتصاص غم⁻¹) لاربعة اصناف من الذرة الصفراء

متوسط حجب		الأصناف				مراحل حجب	
الري	كونسينز	دجلة	ZP	الفرات	الري		
62.40	56.78	64.39	62.25	66.19	GS0		
76.54	57.47	73.33	76.07	99.31	GS-V7		
56.24	43.79	60.01	58.56	62.60	GS-R2		
73.77	53.99	71.27	72.77	97.05	GS-V7+R2		
8.149		12.059			A.F.M		
	53.00	67.25	67.41	81.29	Mتوسط الاصناف		
		5.777			A.F.M		

جدول 30: تأثير حجب الري في تركيز انزيم الكاتيليز (وحدة امتصاص غم⁻¹) لاربعة اصناف من الذرة الصفراء

متوسط حجب		الأصناف				مراحل حجب	
الري	كونسينز	دجلة	ZP	الفرات	الري		
43.43	32.99	49.21	39.37	52.13	GS0		
53.83	49.87	59.42	46.13	59.89	GS-V7		
41.17	30.95	47.11	36.54	50.09	GS-R2		
52.25	48.58	57.21	44.95	58.24	GS-V7+R2		
4.810		غ. م			A.F.M		
	40.60	53.24	41.75	55.09	Mتوسط الاصناف		
		3.417			A.F.M		

6-4- الصفات الخضرية

6-4-1- ارتفاع النبات (سم)

أظهرت نتائج ملحق (2) وجود فروقاً معنوية بين معاملات حجب الري و أصناف الذرة الصفراء و التداخل بينهما في ارتفاع النبات.

بيّنت نتائج جدول 31 ان حجب الري عند الاستطالة (GS-V7) و حجب رية واحدة عند الاستطالة و امتلاء الحبة (GS-V7+R2) سبب انخفاضاً معنويّاً في ارتفاع نبات، اذ أعطتنا متوسطين بلغا 171.26 و 170.69 سم بالتتابع، مقارنة بمعاملة الري الكامل (GS0) والتي أعطت متوسط بلغ 205.82 سم، والتي لم تختلف معنويّاً مع معاملة حجب الري عند مرحلة امتلاء الحبة (GS-R2) والتي أعطت متوسط بلغ 207.20 سم. ان انخفاض ارتفاع النبات نتيجة لحجب الري ربما يعزى ذلك الى ان نقص الماء في الكلوروبلاست و محتوى الماء النسبي (جدول 25) مما يسبب اضطرابات في النظام الانزيمي مما يتبط عملية البناء الضوئي ويوقف اقسام وتطور النمو(Gupta , 2011)، تطابقت هذه النتيجة مع ما توصل اليه Azarpanah وآخرون (2013) الذين اشاروا الى ان اجهاد نقص الماء خلال مرحلة النمو الخضري أدى الى انخفاض ارتفاع النبات نتيجة تأثير الاجهاد المائي في اقسام واستطالة الخلايا.

أظهرت نتائج جدول 31 ان أصناف الذرة الصفراء تختلف معنويّاً في ارتفاع النبات اذ اعطى الصنفين ZP و كونسينز أعلى متوسطين لارتفاع النبات اذ بلغا 218.07 و 200.56 سم، بالتتابع، بينما اعطى الصنفين الفرات و دجلة متوسطين بلغا 163.32 و 173.02 سم، بالتتابع، ان هذا التباين في ارتفاع النبات بين التراكيب الوراثية يعزى الى العوامل الوراثية اذ يعد الصنفين Zp و كونسينز من الاصناف الطويلة قياساً بباقي التراكيب الوراثية، ان هذا الاختلاف في ارتفاع النبات ناتج من اختلاف التراكيب الوراثية في طول السلامية الواحدة و عدد السلاميات نتيجة لوجود جينات تحكم بهذه الصفة ، Cakir (2004).

أوضحت نتائج جدول 31 وجود تداخلاً معنويّاً بين معاملات حجب الري و أصناف الذرة الصفراء في ارتفاع النبات، اذ لوحظ ان اصناف الذرة الصفراء قد اختلفت بمدى تأثيرها بالإجهاد المائي، اذ كان صنف الفرات الاكثر انخفاضاً بنسبة بلغت 23.91 % تحت المعاملة GS-V7، بينما صنف Zp كان الاقل تأثراً بنسبة بلغت 11.03 %.

جدول 31: تأثير حجب الري في ارتفاع النبات (سم) لأربعة اصناف من الذرة الصفراء

متوسط حجب الري	الأصناف					مراحل حجب الري
	كونسينزر	دجلة	ZP	الفرات		
205.82	222.22	185.82	230.73	184.51	GS0	
171.26	177.39	161.98	205.28	140.39	GS-V7	
207.20	222.10	185.26	232.50	188.93	GS-R2	
170.69	180.51	159.00	203.77	139.47	GS-V7+R2	
13.305		14.802			أ.ف.م	
	200.56	173.02	218.07	163.32	متوسط الاصناف	
			5.094		أ.ف.م	

4-6-2- المساحة الورقية ($\text{سم}^2 \text{ نبات}^{-1}$)

أظهرت نتائج ملحق 2 وجود فروقاً معنوية بين معاملات حجب الري و اصناف الذرة الصفراء و التداخل بينهما في المساحة الورقية.

بيّنت نتائج جدول 32 ان حجب الري عند الاستطالة (GS-V7) و حجب رية واحدة عند الاستطالة و امتلاء الحبة (GS-V7+R2) سبب انخفاضاً معنوفياً في مساحة الورقة اذ أعطتنا متوسطتين بلغاً 1892.01 و 1893.19 $\text{سم}^2 \text{ نبات}^{-1}$ بالتتابع، مقارنة بمعاملة الري الكامل (GS0) التي أعطت متوسط بلغ 3452.82 $\text{سم}^2 \text{ نبات}^{-1}$ ، والتي لم تختلف معنوفياً مع معاملة حجب الري عند مرحلة امتلاء الحبة (GS-R2) التي أعطت متوسط بلغ 3399.20 $\text{سم}^2 \text{ نبات}^{-1}$. ان اختزال حجم المساحة الورقية نتيجة حجب الري ربما يعزى الى تقلص حجم خلايا نسيج الورقة مما أدى الى خفض قدرتها على الاستطالة والتتمدد فضلاً عن انخفاض محتوى الهرمونات المشجعة للنمو والمحفزة للاستطالة مثل الاوكسينات والجبريلينات (جدول 26, 27) وبالتالي انعكس ذلك على عمليات النمو المتمثلة بالانقسام والاتساع والتمايز الخلوي ، كذلك ان فقدان الضغط الانتفاخي للأوراق اثر سلباً في نمو وتوسيع خلايا الأوراق مما اثر ذلك سلباً على المساحة الورقية وهذا يتطابق مع ماجاء به العودة وخطي (2008).

أظهرت نتائج جدول 32 ان أصناف الذرة الصفراء تختلف معنويا في المساحة الورقية اذ اعطى صنف الفرات اعلى متوسط بلغ $3057.58 \text{ سم}^2 \text{ نبات}^1$, بينما أعطت الأصناف ZP و دجلة و كونسيز متوسطات بلغت 2729.77 و 2481.57 و $2366.31 \text{ سم}^2 \text{ نبات}^1$ بالتتابع, ان هذا التباين في المساحة الورقية بين اصناف الذرة الصفراء يعزى الى العوامل الوراثية, وكذلك الى اختلافها بمتغير النمو (جدول 21 و 22).

أوضحت نتائج جدول 32 وجود تداخلاً معنوياً بين معاملات حجب الري و أصناف الذرة الصفراء في المساحة الورقية، اذ لوحظ ان اصناف الذرة الصفراء قد اختلفت بمدى تأثيرها بالإجهاد المائي، اذ كان صنف الفرات الاقل انخفاضاً بنسبة بلغت 37.45% تحت المعاملة GS-V7, بينما صنف كونسيز كان الاكثر تأثراً بنسبة بلغت 55.66%.

جدول 32: تأثير حجب الري في المساحة الورقية ($\text{سم}^2 \text{ نبات}^1$) لأربعة اصناف من الذرة الصفراء

متوسط حجب	الاصناف				مراحل حجب
	كونسيز	دجلة	ZP	الفرات	
الري					الري
3452.82	3300.22	3190.73	3543.82	3776.51	GS0
1892.01	1463.39	1792.28	1949.98	2362.39	GS-V7
3399.20	3245.10	3137.50	3488.26	3725.93	GS-R2
1893.19	1456.51	1805.77	1937.00	2373.47	GS-V7+R2
176.163		231.976			أ.ف.م
	2366.31	2481.57	2729.77	3057.58	متوسط
					الاصناف
			102.635		أ.ف.م

4-3-6- دليل المساحة الورقية

أظهرت نتائج ملحق (2) وجود فروقاً معنوية بين معاملات حجب الري و أصناف الذرة الصفراء و التداخل بينهما في دليل المساحة الورقية .

بيّنت نتائج جدول 33 ان حجب الري عند مرحلة الاستطالة (GS-V7) و حجب رية واحدة عند الاستطالة و امتلاء الحبة (GS-R2) سبب انخفاضاً معنواً في دليل المساحة الورقية اذ أعطنا متrosطين بلغاً 1.00 و 1.01 بالتتابع، مقارنة بمعاملة الري الكامل (GS0) التي أعطت متrosطاً بلغاً 1.84، والتي لم تختلف معنواً مع معاملة حجب الري عند مرحلة امتلاء الحبة (GS-R2) التي أعطت متrosطاً بلغاً 1.81. ان انخفاض دليل المساحة الورقية نتيجة لحجب الري ربما يعزى الى تأثير مؤشرات النمو المورفولوجية للنبات مما تؤدي الى قلة الماء الجاهز الذي ينتج عنه ضعفاً في نمو خلايا النبات مما انعكس على مقدار السطح المعرض للأشعاع الشمسي الساقط والذي يعد جزءاً أساسياً في عملية البناء الكاربوبي وهذا مما أدى الى انخفاض الى دليل المساحة الورقية الذي يعتمد على تشكيل الخلايا وتوسيعها وبالتالي انخفاض المساحة الورقية (جدول 32) والتي تؤثر مباشرة في دليل المساحة الورقية (Hammad وآخرون 2018)

أظهرت نتائج جدول 33 ان أصناف الذرة الصفراء تختلف معنواً في دليل المساحة الورقية ، اذ اعطى الصنف الفرات اعلى متrosط لدليل المساحة الورقية بلغاً 1.63 ، بينما أعطت الأصناف ZP و دجلة و كونسينر متrosطات بلغاً 1.45 و 1.32 و 1.26 بالتتابع، ان هذا الاختلاف في دليل المساحة الورقية يعود لتباين الأصناف في المساحة الورقية (جدول 32).

أوضحت نتائج جدول 33 وجود تداخلاً معنواً بين معاملات حجب الري و أصناف الذرة الصفراء في دليل المساحة الورقية، اذ لوحظ ان أصناف الذرة الصفراء قد اختلفت بمدى تأثيرها بالإجهاد المائي، اذ كان صنف الفرات الاقل انخفاضاً بنسبة بلغاً 37.31 % تحت المعاملة GS-V7، بينما صنف كونسينر كان الاكثر تأثراً بنسبة بلغاً 56.82 %.

جدول 33: تأثير حجب الري على دليل المساحة الورقية لاربعة اصناف من الذرة الصفراء

متوسط حجب		الأصناف			مراحل حجب	
الري	كونسينز	دجلة	ZP	الفرات	الري	
1.84	1.76	1.70	1.89	2.01	GS0	
1.00	0.76	0.95	1.02	1.26	GS-V7	
1.81	1.73	1.67	1.86	1.99	GS-R2	
1.01	0.78	0.96	1.03	1.27	GS-V7+R2	
0.094		0.124			أ.ف.م	
	1.26	1.32	1.45	1.63	متوسط	
				0.055	الأصناف	
					أ.ف.م	

4-6-4- الوزن الجاف للنبات (غم نبات⁻¹)

أظهرت نتائج ملحق (2) وجود فروقاً معنوية بين معاملات حجب الري والأصناف والتدخل بينهما في الوزن الجاف للنبات (غم نبات⁻¹).

بيّنت نتائج جدول 34 ان حجب الري عند الاستطالة (GS-V7) و حجب رية واحدة عند الاستطالة و امتلاء الحبة (GS-V7+R2) سبب انخفاضاً معنواً في الوزن الجاف للنبات، اذ أعطتنا متسطين بلغاً 210.67 و 211.96 (غم نبات⁻¹) بالتتابع، مقارنة بمعاملة الري الكامل (GS0) التي أعطت متوسط بلغ 285.69 (غم نبات⁻¹), ربما يعزى انخفاض الوزن الجاف للنبات الى ان حجب الري سبب زيادة التنافس بين الأنسجة المرستيمية على الماء الذي انخفض بازدياد درجة الإجهاد مما يؤدي إلى تسارع عمليات النمو باتجاه النضج ، فعل من النبات للإجهاد المائي يعمد إلى غلق التغور وبذلك ينخفض تمثيل CO_2 مما ينجم عنه خلل في العمليات البنائية ومن ثم انخفاض تراكم المادة الجافة والذي انعكس سلباً على الوزن الجاف للنبات (Duca, 2015)، كما ان انخفاض ارتفاع النبات و المساحة الورقية يعمل على اختزال الوزن الجاف للنبات. تطابقت هذه النتائج مع نتائج Murtadha وآخرون (2018).

بيّنت نتائج جدول 34 ان أصناف الذرة الصفراء قد اختلفت معنويا في الوزن الجاف للنبات، اذ تفوق معنويا الصنفين الفرات و Zp اعلى متوسطين للوزن الجاف اذ بلغا 260.34 و 258.85 (غم نبات¹), بينما أعطت الأصناف دجلة و كونسيز متوسطات بلغت 237.98 و 233.25 (غم نبات¹) بالتتابع، ربما يعزى تباين اصناف الذرة الصفراء بالوزن الجاف الى اختلافها بمدة النمو (جدول 22) وارتفاع النبات (جدول 31) والمساحة الورقية (جدول 32) مما يسبب اختلاف قدرتها على انتاج المادة جافة.

أوضحت نتائج جدول 34 وجود تداخلاً معنوياً بين معاملات حجب الري و أصناف الذرة الصفراء في الوزن الجاف، اذ لوحظ ان اصناف الذرة الصفراء قد اختلفت بمدى تأثيرها بالإجهاد المائي، اذ كان صنف الفرات الاقل انخفاضاً بنسبة بلغت 21.18% تحت المعاملة GS-V7، بينما صنف كونسيز كان الاكثر تأثراً بنسبة بلغت 35.95%.

جدول 34: تأثير حجب الري على الوزن الجاف (غم نبات¹) لأربعة اصناف من الذرة الصفراء

متوسط حجب الري	الأصناف				مراحل حجب الري
	كونسيز	دجلة	ZP	الفرات	
285.69	285.01	276.25	289.72	291.77	GS0
210.67	182.56	201.00	229.15	229.96	GS-V7
282.11	281.34	272.55	286.17	288.40	GS-R2
211.96	184.10	202.13	230.38	231.23	GS-V7+R2
11.744		15.465			أ.ف.م
	233.25	237.98	258.85	260.34	متوسط الاصناف
			6.842		أ.ف.م

7-4. مكونات الحاصل

4-1-7-4. عدد الصفوف في العرنوص (صف عرنوص¹)

أظهرت نتائج ملحق (2) وجود فروقاً معنوية بين معاملات حجب الري و أصناف الذرة الصفراء و التداخل بينهما في عدد الصفوف في العرنوص.

بيّنت نتائج جدول 35 ان حجب الري عند الاستطالة (GS-V7) و حجب رية واحدة عند الاستطالة و امتلاء الجبة (GS-V7+R2) سبب انخفاضاً معنواً في عدد الصفوف في العرنوص, اذ أعطتنا متostein بلغاً 11.65 و 11.02 صف عرنوص¹ بالتتابع, مقارنة بمعاملة الري الكامل (GS0) التي أعطت متوسط بلغ 16.40 صف عرنوص¹, والتي لم تختلف معنواً مع معاملة حجب الري عند مرحلة امتلاء الجبة (GS-R2) التي أعطت متوسط بلغ 15.98 صف عرنوص¹. ان انخفاض عدد الصفوف في العرنوص نتيجة لحجب الري عند المرحلتين GS-V7 و GS-V7+R2 ربما يعود السبب الى احتزال المدة من البزوع الى 50% تزهير ذكري (جدول 21) اي خلال مدة تشكيل ونمو المبايض, اضافة لانخفاض المساحة الورقية (جدول 32) مما يعتقد انه سبب عدم كفاية نواتج التمثيل لاتمام تكوين اكبر عدد من الصفوف لكل عرنوص. تتفق هذه النتيجة مع ما توصل اليه الزوبعي , (1984) على ان تعرض النبات الى اجهاد نقص الماء في مرحلة الازهار الانثوي مما أدى الى خفض عدد الصفوف بالعرنوص .

أظهرت نتائج جدول 35 اختلاف أصناف الذرة الصفراء معنواً بعدد الصفوف في العرنوص, اذ اعطى صنف الفرات اعلى متوسط لعدد الصفوف في العرنوص اذ بلغ 17.58 صف عرنوص¹, بينما أعطت الأصناف ZP و دجلة و كونسينر متوسطات بلغت 14.44 و 12.84 و 10.19 صف عرنوص¹ بالتتابع, , وربما يعود ذلك طول مدي نمو صنف الفرات (جدول 22) والمساحة الورقية (جدول 32) ودليل المساحة الورقية (جدول 33) مما ينعكس على كفاءة التمثيل الضوئي مما وفر نواتج تمثيل ضوئي كافية لتخليل اكبر عدد ممكن من الصفوف في العرنوص.

اووضحت نتائج جدول 35 وجود تداخلاً معنواً بين معاملات حجب الري و أصناف الذرة الصفراء في عدد الصفوف في العرنوص, اذ لوحظ ان اصناف الذرة الصفراء قد اختلفت بمدى تأثيرها بالإجهاد المائي, اذ كان صنف الفرات الاقل انخفاضاً بنسبة بلغت 11.98% تحت المعاملة GS-V7, بينما صنف كونسينر كان الاكثر تأثراً بنسبة بلغت 46.46% تحت المعاملة GS-V7+R2.

جدول 35: تأثير حجب الري في عدد الصفوف بالعرنوص (صف عرنوص¹) اصناف من الذرة الصفراء

متوسط حجب الري	الأصناف				مراحل حجب الري
	كونسينز	دجلة	ZP	الفرات	
16.40	13.56	14.00	19.08	18.95	GS0
11.65	7.26	12.32	10.34	16.68	GS-V7
15.98	12.89	14.02	17.91	19.10	GS-R2
11.02	7.06	11.00	10.45	15.57	GS-V7+R2
3.768		4.111			أ.ف.م
	10.19	12.84	14.44	17.58	متوسط الاصناف
		1.337			أ.ف.م

2-7-4- عدد الحبوب في الصف (حبة صف¹)

أظهرت نتائج ملحق (2) وجود فروقاً معنوية بين معاملات حجب الري و اصناف الذرة الصفراء و التداخل بينهما في عدد الحبوب في لصف.

بيّنت نتائج جدول 36 ان حجب الري عند مرحلة الاستطالة (GS-V7) و معاملة حجب الري عند مرحلة الاستطالة وامتلاء الحبة (GS-V7+R2) سبب انخفاضاً معنواً في عدد الحبوب في الصف لمحصول الذرة الصفراء، اذ أعطت متوسطين بلغاً 26.77 و 23.23 حبة صف¹ بالتتابع، مقارنة بمعاملة الري الكامل (GS0) التي أعطت متوسط بلغ 44.90 حبة صف¹, بينما اعطت معاملة حجب الري عند مرحلة امتلاء الحبة (GS-R2) متوسط بلغ 35.40 حبة صف¹. يمكن ان يعزى اختزال عدد الحبوب في العرنوص عند معاملتي حجب الري GS-V7 و GS-V7+R2 الى ان تحديد موقع منشئات الحبوب في الصف يحد في مراحل النمو الخضرية والتي زامنت فرض الاجهاد المائي والتي بها قلة نواتج التمثل الضوئي مما خفض من موقع منشئات الحبوب وبالتالي انخفاض عدد الحبوب. كما ان انخفاض عدد الحبوب في الصف عند تطبيق نقص المياه في مرحلة امتلاء الحبة (GS-R2), يمكن ان يعزى الى ان نقص الماء سبب انخفاض في نقل المادة الجافة من المصدر الى المصب (الحبوب) وبالتالي فشلت بعض مواقع الحبوب من ان تكون حبوب كذلك ان اجهاد نقص الماء خلال مرحلة الازهار يقلل من قدرة النبات على الازهار

وتكون حبوب لقاح ذات حيوية عالية فتفشل عملية الاصناب بسبب تبيس حبوب اللقاح وموتها لذلك تسبب عدم القدرة على النمو عند سقوطها على المياسم (Boyer Mcphere 1977)

أظهرت نتائج جدول 36 ان اصناف الذرة الصفراء تختلف معنويا في عدد الحبوب في الصف، اذ اعطى صنف الفرات اعلى متوسط لعدد الحبوب في الصف اذ بلغ 37.58 حبة صف¹, بينما اعطى الأصناف ZP و دجلة و كونسينر متوسطات بلغت 33.69 و 30.69 و 28.34 (حبة صف¹) بالتتابع, يعزى تفوق صنف الفرات لتفوقه في المساحة الورقية ودليلها (جدول 32 و 33) مما يوفر نواتج تمثيل اكبر والتي تقلل من اجهاص الزهيرات وبالتالي سينعكس بزيادة عدد الحبوب في الصف.

أوضحت نتائج جدول 36 وجود تداخلاً معنوياً بين معاملات حب البري و اصناف الذرة الصفراء في عدد الحبوب بالصف، اذ لوحظ ان اصناف الذرة الصفراء قد اختلفت بمدى تأثيرها بالإجهاد المائي، اذ كان صنف الفرات الاكثر انخفاضاً بنسبة بلغت 50.78% تحت المعاملة GS-V7, بينما صنف كونسينر كان الاقل تأثيراً بنسبة بلغت 30.77%.

جدول 36: تأثير حب البري في عدد الحبوب بالصف (حبة صف¹) لأربعة اصناف من الذرة الصفراء

متوسط حب البري	الاصناف				مراحل حب البري
	كونسينر	دجلة	ZP	الفرات	
44.90	39.00	41.56	47.08	51.95	GS0
26.77	27.00	28.06	26.45	25.57	GS-V7
35.40	31.32	31.26	34.34	44.68	GS-R2
23.23	16.02	21.89	26.91	28.10	GS-V7+R2
5.559		7.438			أ.ف.م
	28.34	30.69	33.69	37.58	متوسط الاصناف
		3.335			أ.ف.م

3-7-4- وزن 500 حبة (غم)

أظهرت نتائج ملحق (2) وجود فروقاً معنوية بين معاملات حجب الري والأصناف والتدخل بينهما في متوسط وزن 500 حبة (غم).

بيّنت نتائج جدول 37 ان حجب الري عند مرحلة امتلاء الحبة (GS-R2) و حجب رية واحدة عند الاستطالة و امتلاء الحبة (GS-V7+R2) سبب انخفاضاً معنواً في متوسط وزن 500 حبة (غم) ، اذ اعطنا متسطين بلغا 54.90 و 63.94 غم بالتتابع، مقارنة بمعاملة الري الكامل (GS0) التي أعطت متوسط بلغ 78.23 غم، في حين سبب حجب الري عند مرحلة الاستطالة (GS-V7) زيادة معنوية في وزن الحبة اذ اعطت متوسط بلغ 82.73 غم، ربما هذه الزيادة ترجع الى قلة عدد الحبوب (جدول 36) مما سبب املاء عدد مواقع حبوب اقل وبالتالي زيادة وزن الحبة. بينما انخفاض متوسط وزن الحبة ربما يعزى الى ان حجب الري أدى الى خفض وصول الماء والمغذيات للحبوب في أثناء مدة امتلائها مما أدى الى انكماس وصغر حجم الحبوب فضلاً عن قلة نقل التمثيل الكاربوني من المصدر الى المصب وبالتالي انخفاض وزنها، او ان انغلاق الثغور التي تؤدي إلى تقليل انتشار غاز CO_2 الذي يتبعه انخفاض في عملية التمثيل الضوئي فتقل نسبة المادة الجافة المنتجة من الاوراق أثناء مرحلة امتلاء الحبة مما ينعكس في قلة وزنها ، أو قد يكون كنتيجة لاختزال في معدل ومرة تراكم وإعادة توزيع النشا في الاندوسبيرم (Gao واخرون, 2017)، هذا يتفق مع نتائج Kuscu و Demir (2012) و Sajedi و آخرين (2009) الذين وجدوا بأن حجب الري خلال مرحلة امتلاء الحبة يؤدي الى انخفاض وزنها.

أظهرت نتائج جدول 36 ان أصناف الذرة الصفراء تختلف معنويًا في متوسط وزن 500 حبة (غم)، اذ اعطي صنف الكونسينز اعلى متوسط وزن 500 حبة اذ بلغ 84.36 غم، بينما أعطت الأصناف الفرات ZP و دجلة متسطات بلغت 61.41 و 65.75 و 68.28 غم بالتتابع، ربما يعود السبب في زيادة وزن الحبة في صنف كونسينز إلى إملاء عدد مواقع حبوب أقل وهذا ما يسمى بظاهرة التعويض ، كما وجد ان هناك علاقة سلبية بين عدد الحبوب في العرنوص والوزن الكلي للحبة تحت ظروف الجفاف، (Anjum واخرون 2011).

أوضحت نتائج جدول 37 وجود تداخلاً معنويًا بين معاملات حجب الري وأصناف الذرة الصفراء في متوسط وزن 500 حبة، اذ لوحظ ان اصناف الذرة الصفراء قد اختلفت بمدى تأثيرها بالإجهاد المائي، اذ

كان صنف الفرات الاكثر انخفاضا بنسبة بلغت 35.32% تحت المعاملة GS-V7+R2، بينما صنف كونسينر كان الاقل تأثرا بنسبة بلغت 7.78%.

جدول 37: تأثير حجب الري في متوسط وزن 500 حبة (غم) لأربعة اصناف من الذرة الصفراء

متوسط حجب الري		الأصناف			مراحل حجب الري	
كونسينر	دجلة	ZP	الفرات	GS0	GS-V7	GS-R2
88.26	72.34	79.32	73.02	82.73	93.23	54.90
81.39	59.12	68.00	47.23	63.94		63.94
14.285	18.226					أ.ف.م
84.36	68.28	65.75	61.41			متوسط الاصناف
	7.827					أ.ف.م

4-8- حاصل الحبوب (ميكا غرام هـ¹)

أظهرت نتائج ملحق (2) وجود فروقاً معنوية بين معاملات حجب الري والأصناف والتدخل بينهما في متوسط حاصل الحبوب (ميكا غرام هـ¹).

بيّنت نتائج جدول 38 ان حجب الري عند الاستطالة (GS-V7) و حجب الري عند امتلاء الحبة (GS-R2) و حجب رية واحدة عند الاستطالة و امتلاء الحبة (GS-V7+R2) سبب انخفاضاً معنواً في حاصل حبوب الذرة الصفراء، اذ اعطت متوسطات بلغت 5.36 و 4.54 و 4.13 ميكا غرام هـ¹ بالتتابع، مقارنة بمعاملة الري الكامل (GS0) التي اعطت متوسط بلغ 7.42 ميكا غرام هـ¹. ان انخفاض حاصل الحبوب عند المعاملة GS-V7 ربما نتيجة لتأثير الاجهاد المائي في نمو و توسيع الاوراق (جدول 32) فيقل اعتراض الضوء من قبل الاوراق فينخفض معدل التمثيل الكاربوني، مما انعكس سلباً في معدل نمو النبات وتراكم المادة الجافة الذي انعكس سلباً في عدد الصفوف و عدد حبوب الصف (جدول 35 و 36) مؤثراً بذلك في حاصل الحبوب. حيث يرتبط الحاصل بمكوناته، كما يرتبط الاخير مع تحت مكونات الحاصل. أما النقص

في الحاصل عند المعاملة GS-R2 فيعود الى أن حجب الري سبب انخفاض معنويًا في وزن 500 حبة (جدول 37) مما انعكس على انخفاض الحاصل.

هذه النتيجة تطابق نتائج دراسة Azarpanah وآخرون (2013) الذين وجدوا انخفاضاً في حاصل الحبوب عند حجب الري عند المراحل الخضرية والتکاثرية.

أظهرت نتائج جدول 38 ان أصناف الذرة الصفراء تختلف معنويًا في متوسط حاصل الحبوب, اذ اعطى صنف الفرات اعلى متوسط لحاصل الحبوب اذ بلغ $6.18 \text{ ميكروغرام هـ}^{-1}$, بينما أعطت الأصناف ZP و دجلة و كونسينزر متوسطات بلغت 5.54 و 5.38 و $4.35 \text{ ميكروغرام هـ}^{-1}$ بالتتابع, ربما يعود هذا التفوق الى تفوق صنف الفرات باعطائه اعلى عدد صفوف (جدول 35) وعدد حبوب في الصف (جدول 36) مما انعكس على زيادة حاصل الحبوب.

أوضحت نتائج جدول 38 وجود تداخل معنوي بين معاملات حجب الري و أصناف الذرة الصفراء في متوسط حاصل الحبوب, اذ لوحظ ان اصناف الذرة الصفراء قد اختلفت بمدى تأثيرها بالإجهاد المائي, اذ كان صنف دجلة الاكثر انخفاضاً بنسبة بلغت 50.18 % تحت المعاملة GS-V7+R2, بينما صنف كونسينزر كان الاقل تأثيراً بنسبة بلغت 43.07 %.

جدول 38: تأثير حجب الري في متوسط حاصل الحبوب (ميكروغرام هـ $^{-1}$) لأربعة اصناف من الذرة الصفراء

مراحل حgebung الري	الأصناف					متوسط حجب الري
	الفرات	ZP	دجلة	كونسينزر	الري	
GS0	8.54	7.13	7.96	6.06	7.42	7.42
GS-V7	6.89	5.79	4.84	3.92	5.36	5.36
GS-R2	4.78	4.65	4.75	3.99	4.54	4.54
GS-V7+R2	4.51	4.60	3.97	3.45	4.13	4.13
أ.ب.م	0.962				0.813	0.813
متوسط الاصناف	6.18	5.54	5.38	4.35		
أ.ب.م	0.375					0.375

4-9. الحاصل البايولوجي (ميكا غرام هـ¹)

أظهرت نتائج ملحق (2) وجود فروقاً معنوية بين معاملات حجب الري و أصناف الذرة الصفراء و التداخل بينهما في متوسط الحاصل البايولوجي

بيّنت نتائج جدول 39 ان حجب الري عند الاستطالة (GS-V7) و حجب الري عند امتلاء الحبة (GS-R2) و حجب رية واحدة عند الاستطالة و امتلاء الحبة (GS-V7+R2) سبب انخفاضاً معنواً في متوسط الحاصل البايولوجي، اذ أعطت متوسطات بلغت 13.54 و 15.53 و 12.13 ميكا غرام هـ¹ بالاتّباع، مقارنة بمعاملة الري الكامل (GS0) التي أعطت متوسط بلغ 16.94 ميكا غرام هـ¹. ان انخفاض الحاصل البايولوجي عند حجب الري في مرحلة الاستطالة ربما يعزى الى احتزال الوزن الجاف للمجموع الجذري بسبب قلة نمو الجذور فقللت قابلية النبات على امتصاص الماء ومن ثم قلت الفعاليات الحيوية في المجموع الخضري وكذلك نتيجة لانخفاض ارتفاع النبات (جدول 31)، كما انه ويؤثر في سعة التمثيل الكاربوني بسبب انخفاض المساحة الورقية (جدول 32) وقلة معدل توسيع الورقة والاسراع في شيخوخة الاوراق ومن ثم تقليل اعتراض الاشعة الشمسية وقلة تحويل الطاقة الشمسية الى طاقة كيميائية نتيجة لانغلاق الثغور وزيادة التنفس وحصول اضطرابات للعمليات البيوكيميائية (احمد، 1987). يمكن ان يعزى انخفاض الحاصل البايولوجي عند حجب الري في مرحلة امتلاء الحبة الى انخفاض حاصل الحبوب (جدول 38) الذي يعد احدى مكونات الحاصل البايولوجي. تتفق هذه النتيجة مع نتائج Kuscu و Demir (2012) و Oveysi (2010) الذين ذكروا أن حجب الري خلال مرحلة النمو الخضري والثمري أدى الى انخفاض الحاصل البايولوجي للنبات.

أظهرت نتائج جدول 39 ان أصناف الذرة الصفراء تختلف معنواً في متوسط الحاصل البايولوجي، اذ اعطى الصنف ZP اعلى متوسط للحاصل البايولوجي اذ بلغ 17.24 ميكا غرام هـ¹، بينما أعطت الأصناف الفرات ودجلة وكونسینز متوسطات بلغت 13.31 و 12.01 و 15.58 ميكا غرام هـ¹ بالاتّباع، ان هذا التفوق لصنف Zp يمكن ان يعزى لتفوقه باعطائه اعلى ارتفاع للنبات (جدول 31) مما انعكس على زيادة الحاصل البايولوجي.

أوضحت نتائج جدول 39 وجود تداخلاً معنواً بين معاملات حجب الري و أصناف الذرة الصفراء في الحاصل البايولوجي، اذ اعطى الصنف ZP اعلى حاصل بايولوجي تحت معاملة الري الكامل (GS0) بلغ

20.97 ميكا غرام هـ⁻¹, بينما اعطى الصنف دجلة اقل متوسط لمتوسط الحاصل البايولوجي تحت معاملة حجب رية واحدة عند مرحلة الاستطالة وامتلاء الحبة .

جدول 39: تأثير حجب الري في متوسط الحاصل البايولوجي (ميكا غرام هـ⁻¹) لاربعة اصناف من النزرة الصفراء

الري	متوسط حجب					GS0
	كونسينز	دجلة	ZP	الفرات	GS-V7	
16.94	18.23	14.10	20.97	14.46		
13.54	14.75	11.64	13.96	13.81		
15.53	16.64	12.62	19.73	13.11		
12.13	12.68	9.67	14.31	11.85		
0.388		1.085				أ.ف.م
	15.58	12.01	17.24	13.31		متوسط
						الاصناف
		0.602				أ.ف.م

10-4- كفاءة استعمال الماء لحاصل الحبوب (كغم مـ⁻³)

أظهرت نتائج ملحق (2) وجود فروقاً معنوية بين معاملات حجب الري و اصناف النزرة الصفراء و التداخل بينهما في متوسط كفاءة استعمال الماء.

بيّنت نتائج جدول 40 ان حجب الري سبب انخفاضاً معنواً في متوسط كفاءة استعمال الماء لحاصل الحبوب, اذ أعطت المعاملات GS-V7+R2 و GS-R2 اقل المتوسطات بلغت 0.89 و 0.79 و 0.77 كغم مـ⁻³ بالتتابع, مقارنة بمعاملة الري الكامل (GS0) التي أعطت متوسط بلغ 1.14 كغم مـ⁻³, ان انخفاض كفاءة استعمال الماء عند حجب الري في المرحلة الخضرية يعود الى اخترزال عدد الصنوف وعدد الحبوب (جدول 35 و 36) اذ تتحدد موقع الحبوب في المرحلة الخضرية اما سبب انخفاض كفاءة استعمال الماء في معاملة امتلاء الحبة (Gs-R2) يعود إلى ان حاصل الحبوب انخفض بشكل كبير (جدول 38) نتيجة لانخفاض وزن الحبوب (جدول 37). هذه النتيجة تتفق مع نتائج Najy (2009) والحديثي (2002) الذين

ذكروا ان تعرض محصول الذرة الصفراء الى حجب الري خلال مرحلة النمو الخضري والثمري يؤدي الى خفض قيم كفاءة استعمال الماء.

أظهرت نتائج جدول 40 ان أصناف الذرة الصفراء اختلفت معنويا في كفاءة استعمال الماء, اذ اعطى صنف الفرات اعلى متوسط لكافءة استعمال الماء بلغ 1.03 كغم م^{-3} , بينما أعطت الأصناف ZP و دجلة و كونسيز متوسطات بلغت 0.93 و 0.90 و 0.73 كغم م^{-3} بالتتابع, يمكن ان يعزى هذا التفوق لصنف الفرات لتفوقه باعطائه اقل ارتفاع نبات (جدول 31) مما انعكس على قلة استهلاكه لمياه الري وفي ذات الوقت لتفوقه باعطائه اعلى حاصل حبوب (جدول 38).

بيّنت نتائج جدول 40 وجود تداخلاً معنوياً بين معاملات حجب الري وأصناف الذرة الصفراء في كفاءة استعمال الماء, اذ اعطى صنف الفرات اعلى كفاءة استعمال الماء تحت معاملة الري الكامل (GS0) بلغ 1.32 كغم م^{-3} , بينما اعطى الصنف كونسيز اقل المتوسطات لكافءة استعمال الماء تحت معاملة حجب الري عند مرحلة الاستطاللة (Gs-V7) وحجب رية واحدة عند الاستطاللة و امتلاء الحبة (GS-V7+R2)

جدول 40: تأثير حجب الري في متوسط كفاءة استعمال الماء (كغم م⁻³) لاربعة اصناف من الذرة الصفراء

الري	الأصناف				GS0 GS-V7 GS-R2 GS-V7+R2 أ.ف.م متوسط الأصناف أ.ف.م
	كونسيز	دجلة	ZP	الفرات	
1.14	0.93	1.23	1.10	1.32	GS0
0.89	0.65	0.80	0.96	1.14	GS-V7
0.79	0.69	0.82	0.81	0.83	GS-R2
0.77	0.64	0.74	0.96	0.84	GS-V7+R2
0.121		0.149			أ.ف.م
	0.73	0.90	0.93	1.03	متوسط الأصناف
			0.061		أ.ف.م

5- الاستنتاجات والمقتراحات

1-5- الاستنتاجات

نستنتج من هذه الدراسة ما هو اتٍ :

- 1- ان الاحتياج المائي لمحصول الذرة الصفراء خلال الموسم الربيعي بلغ 6482 م³ موسم¹
- 2- نستنتج ان صنف الفرات هو الأكثر تحملًا نتيجة زيادة التعبير الجيني له
- 3- ان للجينين ZmMYBE1 و AP2 دوراً مهماً في زيادة تحمل الأصناف للاجهاد المائي وهذا ما لوحظ من زيادة تعبيرهما في صنف الفرات .
- 4- اختلف أداء الأصناف تحت معاملات حجب الري اذ اظهر صنف الفرات تحمل أعلى للجفاف بناء على صفات النمو الخضري والحاصل عند فرض الاجهاد عند مرحلتي الاستطالة (GS-V7) ومرحلة امتلاء الحبة (GS-R2)
- 5- لوحظ ان حجب الري عند مرحلة امتلاء الحبة (Gs-R2) سبب اختزال كبير في حاصل الذرة الصفراء مقارنة بحجب الري عند مرحلة الاستطالة (Gs-V7) .
- 4- ان حجب الري يسبب انخفاض كفاءة استعمال الماء لحاصل الحبوب لاسيما عند تزامن الحجب في المرحلة الاستطالة (Gs-V7) ومرحلة امتلاء الحبة (Gs-R2).

2-5- المقتراحات:-

- 1- في المناطق التي تعاني من نقص الماء نقترح زراعة صنف الفرات لتميزه بتحمل الجفاف.
- 2- دراسة جينات أخرى يعتقد انها لها علاقة بالاجهاد المائي .
- 3- العمل على تطوير أصناف أخرى جديدة لديها تحمل او مقاومة لظروف الاجهاد المائي.

- 4- استعمال عمليات اخرى لتقنين الري كالري بالرش او التقطيط او الري تحت السطحي.
- 5- في حالة ظروف نقص الماء ينصح بحجب الري عند المراحل الخضرية كونها اقل تاثرا بحاصل الجبوب من المراحل التكاثرية .

-6- المصادر:-

-6-1-المصادر العربية:-

احمد ، رياض عبد اللطيف . 1987 . فسلجة الحاصلات الزراعية و نموها تحت الظروف الجافة (الشد الرطبوبي) ، مديرية دار الكتب و الطباعة و النشر ، جامعة الموصل .

احمد ، شذى عبد الحسن و رعد هاشم بكر . 2009 . استجابة صنفين من الذرة البيضاء *Sorghum bicolor L.* للجهاد المائي تحت ظروف الحقل . مجلة الزراعة العراقية . 14 . (2) : 71-82.

احمد ، مقداد صلاح الدين ، فوزي عبد الحسين كاظم . 2017. كفاءة دليل الانتخاب لصفات الجذر في تحمل تراكيب وراثية من الذرة الصفراء *Zea mays L.* للجفاف. مجلة الانبار للعلوم الزراعية . 15 (1) : 110-95.

أرجيم، حمدة عبد الستار. 2015. تأثير الري المقيد في التربة وحاصل الذرة الصفراء *Zea mays L.* اطروحة دكتوراه. كلية علوم الهندسة الزراعية. جامعة بغداد.

الزوبيعي ، احمد طلال فزع . 1984. تأثير العجز في مياه الري على محصول الذرة الصفراء في مراحل مختلفة من النمو. رسالة ماجستير – كلية الزراعة – جامعة بغداد.

الساهوكي , محدث وصدام حكيم جياد. 2013. جداول تقدير المساحة الورقية للذرة الصفراء باعتماد طول ورقة واحدة . مجلة العلوم الزراعية العراقية 44 (2): 164-167.

الساهوكي ، محدث مجید . 1990 . الذرة الصفراء إنتاجها و تحسينها . وزارة التعليم العالي و البحث العلمي _ جامعة بغداد . ع ص : 400 .

الصميدعي, كاظم محمد إبراهيم. 2017. تطبيقات في التقانات الاحيائية . الدار الجامعية للطباعية والنشر والترجمة .جامعة النهرین . العراق . 23-12.

الكبيسي،مجاهد اسماعيل حمدان (2019) . الوراثة الجزيئية وتطبيقاتها. الفصل الخامس ، وزارة الزراعة / دائرة البحوث الزراعية . 235-303.

العبيدي، عماد عبد الرزاق وهب (2017). تقييم وراثي لداء تراكيب وراثية من الحنطة *(Triticum aestivum L.)* لتحمل الملوحة بتأثير الكائنتين . رسالة ماجستير ، كلية الزراعة – جامعة الانبار.

العودة ، أيمن الشحادة و مأمون خطي . 2008 . فسيولوجيا المحاصيل الحقلية (الجزء النظري) . جامعة دمشق ع . ص: 315.

المعيني، أياد حسين علي و محمد عويد العبيدي . 2018. الاسس العلمية لإدارة وانتاج وتحسين المحاصيل الحقلية. وزارة التعليم العالي والبحث العلمي. دار الوارث للطباعة والنشر . كربلاء العراق.

الحديثي ، سيف الدين عبد الرزاق سالم . 2002 . جدوله الري الناقص لمحصول الذرة الصفراء لزيادة كفاءة استخدام المياه . اطروحة دكتوراه _ قسم التربية . كلية الزراعة _ جامعة بغداد . ع ص : 162 .

جبر، عبد سلمان و صادق كاظم تعبان . 2016. تأثير السماد العضوي ومصادر الفسفور وكثيارات مياه الري في محتوى الذرة الصفراء من الفسفور. مجلة ديالى للعلوم الزراعية،(8).172-180.

حمدان، مجاهد اسماعيل و فاضل يونس بكتاش. 2011. استبيان وتقدير أصناف تركيبية من سلالات مختلفة العدد من الذرة الصفراء. الحاصل ومكوناته. مجلة العلوم الزراعية العراقية.42(4):9-16.
ذكرية،بلال فاضل (2011). دراسة بعض التغيرات الفسلجية والوراثية لصفة تحمل الملوحة في بعض التراكيب الوراثية المنتسبة من الحنطة (*Triticum aestivum* L.). رسالة ماجستير. كلية التربية الرازي - جامعة ديالى .

سالم ، سيف الدين عبد الرزاق ، كامل مطشر الجبوري و طالب حسين السعد . 2012 . استجابة نبات الذرة الصفراء (*Zea mays* L.) لكميات الماء المضافة حسب مراحل نموه . المجلة العراقية لدراسة الصحراء . 46(2): 66-74 .

عبد العظيم، منى سمير، شذى عبد الحسن أحمد. 2017. تأثير حامض الاسكوربيك في بعض صفات النمو لصنفين من الذرة الصفراء. مجلة مركز بحوث التقانات الاحيائية. 11 (1):12

عبد القادر.مي عبد الهادي.2007. دراسة مختبريه لتأثير عدد من مثبطات انزيمات الاكسدة مختلطة الوظيفة في سمية المبيد اكتارا . رسالة ماجستير. كلية الزراعة. جامعة بغداد.

عبد، احمد مدلول ونمير طه مهدي . 2016 . تأثير الري المروز الجزئي المتبدال والثابت ونوعية مياه الري في عمق الماء المضاف وكفاءة الذرة الصفراء في استعمال الماء. مجلة الفرات للعلوم الزراعية/ المؤتمر الزراعي الثالث: 49 - 58 .

عواد، حسن عودة . 2009 . وراثة وتربيبة المحاصيل لتحمل الإجهاد البيئي، الملوحة – نقص العناصر الغذائية – سمية العناصر الغذائية – مبيدات الحشائش – الأشعة فوق البنفسجية. المكتبة المصرية للطباعة والنشر والتوزيع. ع ص: 534

عودة، بسام و شرى خزام و عبد الكرييم الجردي و نضال غانم و طلال عبدوا . 2016. تأثير استخدام طائق رى مختلفة على كفاءة استخدام مياه الري لمحصول الذرة الصفراء التكثيفية بمحافظة حمص. المجلة السورية للبحوث الزراعية. 3 (2): 218-234.

فالح، عدنان شبار و عبد الامير ثجيل صالح . 2012. . تقدیر الاحتیاجات المائیة لمحصول الذرة الصفراء اعتماداً على الري الناقص و مقارنته بالمعادلات المناخیة و مقاييس التبخر. مجلة دیالى للعلوم الزراعیة، 4 (1) : 62-75.

محمد، نور جاسم و شذى عبد الحسين احمد. 2017. تأثير رش الكاينتين في كفاءة استعمال الماء للذرة الصفراء تحت ظروف حجب الري. مجلة الانبار للعلوم الزراعية. 15 (عدد خاص مؤتمر): 142-155.

مهدي ، عبد الخاق صالح و حسين عزيز محمد . 2009 . تأثير الشد الرطوبی و عملية تقسيمة البذور و السماد البوتاسي على الصفات الكمية والنوعية لمحصول الذرة الصفراء مجلة تكريت. 9 (3) : 79_90 .

وزارة الزراعة العراقية.2011. دليل زراعة محصول الذرة الصفراء. نشرة ارشادية. الهيئة العامة للبحوث الزراعية. وزارة الزراعة العراقية.

ياسين ، بسام طه . 2001 . اسasيات فسيولوجيا النبات . كلية العلوم ، جامعة قطر .

-2-المصادر الاجنبية:-

Abd ulameer,O.Q. and S.S. Ahmed .2018. Anti-transpirant role in improving the morphological growth traits of maize plants subjected to water stress. Res. on Crops.,19(4): 593-603.

Abdulameer, O. Q., and S. A. Ahmed. 2019."Role of humic acid in improving growth characters of corn under water stress. Iraqi Journal of Agricultural Science. 50. (1): 420-430.

Abendroth, L. J.,R.W., Elmore .M.J.,Boyer and S.K. Marlay. 2011. Corn Growth and Development. Ames: Iowa State University.

Alam, M. R. , S. Nakasathien, E. D. Sarobol and V. Vichukit .2014. Responses of physiological traits of maize to water deficit induced at different phonological stages.*Kasetsart J. Nat . Sci.*, 48: 183-196.

Aldesuquy, H. S. .2014. Glycine betaine and saliylic acid induced modification in water relation and productivity of drought wheat plants . *J. stress.Physio . Bioche .*, 10 (2) : 55-73.

AL-Janabi, M. A. A .2008. Hydrochemistry of the unconfined aquifer and the relationship of unsaturated zone sedimentson the groundwater quality in tikrit-samara basin (East Tigris).Doctoral thesis. University of Baghdad .College of Science.Department of Geology.

Allen, R.G. , L. S. Pereira, D. Raes and M. Smit. 1998. Crop Evapotranspiration FAO Irrigation and drainage paper. Food and Agriculture Organization of the United Nations, 56(97): 156-163.

Al-Shaheen, M. R. and A. Soh, M. H. Ismael and R.S. shareef .2016b. Alleviation of water deficit conditions on the corn (*Zea mays L .*) by using gibberlllic acid and proline. *World .J. of Phar . Pharma . Sci .*, 5(4): 483– 490.

Al-Shaheen, M. R., and A.Soh. 2016a. Effect of proline and Gibberellic Acid on the qualities and qualitative of Corn (*Zea maize L.*) under the influence of different levels of the water stress. *Int. J. Sci. Res. Publ*, 6, 752-756.

Anjum, S. A. , L.C. Wang, M. Farooq, M. Hussain, L.L. Xue and C. M. Zou .2011.Brassinolide application improves the drought tolerance in maize through modulation of enzymatic antioxidants and leaf gas exchange. *J. Agron. Crop Sci.*, 197: 177-185.

Anjum, S. A.,X. Xie, L.C., Wang, M.F.,Saleem, C.,Man, and W. Lei. 2011. Morphological, physiological and biochemical responses of plants to drought stress. African journal of Agricultural Research, 6(9), 2026-2032.

Arshad, K.,A. Hussain,A. Aslam, A.Azam, M.Asad, and M. Bilal. 2021. Genetic analysis of drought resistance in maize using physiological, morphological and molecular markers. Asian J Biotechnol Genet Eng, 4(2), 1-10.

Asare, D. K., J. O. Frimpong, E. O. Ayeh and H. M. Amoatey .2011. Water use efficiencies of maize cultivars grown under rain-fed conditions. Agricultural Sciences, 2(2): 125–130.

Ashraf, M., and T. McNeilly.1990. Responses of four Brassica species to sodiumchloride. Environmental and Experimental Botany, 30(4): 475-487.

Aslam, M., M. S. I.Zamir, I. afzal and M. Amin .2014. Role of potassium in physiological functions of spring maize (*Zea may L.*) grown under drought stress . J.Anim . plant Sci., 24(5): 1452-1465 .

Aslam, M.,M.A. Maqbool, R.Cengiz, M.Aslam, M.A.Maqbool, and R. Cengiz. 2021. Mechanisms of drought resistance. Drought Stress in Maize (*Zea mays L.*) Effects, Resistance Mechanisms, Global Achievements and Biological Strategies for Improvement, 19-36.

Auer, C.A. 1997. Cytokinin conjugation : Recent Advances and patterns in plant evolution . plant Groeth Regulation , 23: 17-32.

Azarpanah , A. , O. Alizadeh , H. Dehghanzadeh and M. Zare . 2013. The effect of irrigation levels in various growth stages on morphological characteristics and yield components of (*Zea mays L.*) . Tech. J .Engin. and App. Sci., 3 (14): 1447-1459 .

- Babakhaani**, S., M. Nasri and M. Oveysi . 2013. Effect of cytokine hormone spray and water stress on the yield and yield components of corn (*Zea mays L*) var. saccharata. Annals of Bio. Res., 4 (4):130-133 .
- Bano**, A., K. Dorffling, D. Bettin, and H. Hahn .1993. Bascisic acid and cytokinins as possible root-to-shoot signals in xylem sap of rice plants grown in drying soil. Aust. J. Plant Physiol., 20: 109–115.
- Barnabás**, B., K. Jäger and A. Fehér .2008. The effect of drought and heat stress on reproductive processes in cereals. Plant, Cell and Environ, 31, 11-38.
- Barnes**, D. L., and D. G. Woolley. 1969. Effect of moisture stress at different stages of growth. I. Comparison of a Single- Eared and a Two-Eared corn hybrid. Agro. J. 61:788-790.
- Bartels**, A., Han, Q., P.Nair, L.Stacey, H.Gaynier, M.Mosley, and W.Xiao. 2018. Dynamic DNA methylation in plant growth and development. International journal of molecular sciences, 19(7), 2144-2154.
- Basu**, S., V. Ramegowda, A. Kumar and A. Pereira. 2016. Plant Adaptation to Drought Stress.Crop, Soil, and Environmental Sciences, University of Arkansas, Fayetteville,Arkansas, 72701, USA.
- Bates**, L. S., R. P. Waldes, and T. D. Teare. 1973. Rapid determination of free proline for water stress studies. Plant Soil., 39: 205-207
- Beers**, R.F.J. and I.W. Sizer. 1952.Catalase Assay. J. of Bio. chemistry. 159: 133-140
- Black**, C. A. 1967. Methods of soil analysis. Am. Soc. Agron. No. 9 Part 1. Madison, Wisconsin. USA.

Bouazzama, B. 2012. Effect of water stress on growth, water consumption and yield of silage maize under flood irrigation in a semi-arid climate of Tadla . Biotechnologie,Agronomie, Société et Environnement, 16(4), 468-477.

Bruce, W. B.,G.O. Edmeades, and T.C. Barker .2002. Molecular and physiological approaches to maize improvement for drought tolerance. Journal of Experimental Botany, 53(366), 13-25.

Cakir , R. 2004 . Effect of water stress at different development stages on vegetative and reproductive growth of corn . Field Crops Research 89: 1–16 .

Campos, H.,M. Cooper,J.E. Habben,G.O. Edmeades, and J.R. Schussler. 2004. Improving drought tolerance in maize: a view from industry. Field crops research, 90(1): 19-34.

Čermák, T.,N.J. Baltes, R.Čegan,Y. Zhang, and D.F. Voytas.2015. High-frequency, precise modification of the tomato genome. Genome biology, 16, 1-15.

Chukwudi, U. P., F.R. Kutu, andS. Mavengahama.2021. Heat stress effect on the grain yield of three drought-tolerant maize varieties under varying growth conditions. Plants, 10(8): 1532-1547.

Curá, J. A.,D.R. Franz,J.E. Filosofía, K.B.Balestrasse, and L.E. Burgueño. 2017. Inoculation with Azospirillum sp. and Herbaspirillum sp. bacteria increases the tolerance of maize to drought stress. Microorganisms, 5(3): 41-49.

Denekamp, M., and S.C.Smeekens. 2003. Integration of wounding and osmotic stress signals determines the expression of the AtMYB102 transcription factor gene. Plant Physiology, 132(3): 1415-1423.

Dodig, D.,S. Božinović, A. Nikolić, M.Zorić, J.Vančetović, D. Ignjatović-Micić, ...

and T. Altmann. 2019. Image-derived traits related to mid-season growth performance of maize under nitrogen and water stress. *Frontiers in Plant Science*, 10, 814-822.

Duca , M. .2015. *Plant Physiology*. Springer Inter. Pub., Switzerland. PP 315.

Fang, Y and L Xiong. 2015. General mechanisms of drought response and their application in drought resistance improvement in plants. *Cellular and molecular life sciences*, 72: 673-689.

Fang, Y. and L. Xiong .2015. General mechanisms of drought response and their applicat ionin drought resistance improvement in plants. *Cell. Mol. Life Sci.*, 72:673–689.

Farooq, M.,A. Wahid, N.S.M.A. Kobayashi, D.B.S.M.A. Fujita, and S.M.A. Basra.2009a. Plant drought stress: effects, mechanisms and management. *Sustainable agriculture*, 153-188.

Farooq. M , A. Wahid, N. Kobayashi, D. Fujita and S.M.A. Basra .2009b. Plant drought stress effects , mechanisms and mangement . *Agron. Sustain. Dev.*, 29: 186 – 212.

Fathi, A. and D.B. Tari. 2016. Effect of drought stress and its mechanism in plants. *Int. J.Life Sci.*, 10(1): 1-6.

Feng J.X,D. Liu Y. Pan W.Gong L.G. MaJ.C. Luo X.W. Deng and Y.X.Zhu.2005. An annotation update via cDNA sequence analysis and comprehensive profiling of developmental, hormonal or environmental responsiveness of the *Arabidopsis* AP2/EREBP transcription factor gene family. *Plant Mol. Biol.* 59(6):853–868.

Flexas, J., M. Ribas Carbó , J. Bota, J. Galmés, M. Henkle, S. martínezCañellas, and H.Medrano .2006. Decreased Rubisco activity during water stress is not induced by decreased relative water content but related to conditions of low stomatal conductance and chloroplast CO₂ concentration. *New Phytologist*, 172(1): 73-82.

Gao, F., Catalayud, V., Paoletti, E., Hoshika, Y., and Z. Feng .2017. Water stress mitigates the negative effects of ozone on photosynthesis and biomass in poplar plants. *Environmental Pollution*, 230, 268-279.

Ge, T., F.Sui, L. Bai, C. Tong, and N. Sun .2012. Effects of water stress on growth, biomass partitioning, and water-use efficiency in summer maize (*Zea mays L.*) throughout the growth cycle. *Acta Physiologiae Plantarum*, 34, 1043-1053.

Ghadiri, H. and M. Majidian. 2003. Effect of Different Nitrogen Fertilizer levels and Moisture stress During Milky and Dough stages on Grain yield , yield components and water Use Efficiency of Corn (*Zea mays L.*) . JWSS-Isfahan University of Technology. 7(2): 103-113.

Ghadiri, H., and Majidian, M. (2003). Effect of different nitrogen fertilizer levels and moisture stress during milky and dough stages on grain yield, yield components and water use efficiency of corn (*Zea mays L.*). *Isfahan University of Technology-Journal of Crop Production and Processing*, 7(2), 103-113.

Guerrero, F., and J.E.Mullet, .1986. Increased abscisic acid biosynthesis during plant dehydration requires transcription. *Plant Physiology*, 80(2), 588-591.

Gunay, M. E. Goceri, and R.ajarajeswari Balasubramaniyan.2016 "Machine learning for optimum CT-prediction for qPCR. 15th IEEE international conference on machine learning and applications (ICMLA). IEEE.

Guo, L., Xiu, P., Chai, F., Xue, H., Wang, D., and Sun, J. 2017. Enhanced chlorophyll concentrations induced by Kuroshio intrusion fronts in the northern south China Sea. *Geophysical Research Letters*, 44(22), 11-23.

Guo, R., Hao, W. P., Gong, D. Z., Zhong, X. L., and F. X. Gu. 2013. Effects of water stress on germination and growth, photosynthetic efficiency and accumulation of metabolites. Chapter, 13, 367-380.

Gupta , S.D . 2011 . Reactive oxygen species and antioxidant in higher plants . CRC press, Enfield , New Hampshire ,USA: 362P.

Hammad, H. M., F. Abbas, S.Saeed, S.Fahad, A.Cerdà, W. Farhad and H. F.Bakhat. 2018. Offsetting land degradation through nitrogen and water management during maize cultivation under arid conditions. *Land Degradation and Development*, 29(5): 1366-1375.

Hasibuzzaman, A. S. M., F.Akter,S.A. Bagum, N. Hossain, T. Akter, and M.S. Uddin .2021. Morpho-Physiological Mechanisms of Maize for Drought Tolerance. In *Plant Stress Physiology* London, UK: IntechOpen (p. 229).

Heidari Y. and P. Moveni . 2009 . Study of drought stress on ABA accumulation and proline among in different genotypes forage corn . *Res. J. Bio. Sci* , 4(10) : 1121 – 1124 .

Hu, X., N.Li, L. Wu, C. Li, C. Li, L. Zhang, ... and W. Wang .2015. Quantitative iTRAQ-based proteomic analysis of phosphoproteins and ABA-regulated phosphoproteins in maize leaves under osmotic stress. *Scientific Reports*, 5(1): 15626.

Igbadum, H. E.,and B. A. Salim, 2008. Effects of deficit irrigation scheduling on yields and soil water balance of irrigated maize. *Irrig. Sci.* 27: 11-23.

Jasim, A. H., H.R.Sura, and H.M. Hanaa. 2020. Effect of skip irrigation and nano potassium treatments on maize yield. Journal of Eco-Environmental Consultants, 26(3): 10-15.

Jeanneau, M., D.Gerentes, X. Foueillassar, M. Zivy, J. Vidal, A. Toppan, and P.Perez .2002. Improvement of drought tolerance in maize: towards the functional validation of the Zm-Asr1 gene and increase of water use efficiency by over-expressing C4-PEPC. Biochimie, 84(11): 1127-1135.

Jia, G. Bo Li, D. Zhang, T. Zhang, Z. Li, J. Dai and S. Wang, 2009. Cloning and characterization of a novel R1- MYB transcription factor in maize. Progress in Natural Science, 19: 1089–1096.

Jones H.G, and M.B. Jones . 1989. Introduction: Some terminology and common mechanisms plants under stress. Cambridge Univ.Press, pp:1-10

Jones, C.A., Kiniry, J.R., 1986. Ceres-N Maize: A Simulation Model of Maize Growth and Development. Texas A&M Univ. Press, College Station, Temple, TX, 194 pp.

Kamara, A. Y.,A. Menkir.B Badu-Apraku, and O. Ibikunle .2003.The influence of drought stress on growth, yield and yield components of selected maize genotypes. The journal of agricultural science, 141(1), 43-50.

Kamphorst, S. H., V. J. De-Lima, J. A. T. do Amaral, K. F. M. Schmitt, J. T. Leite, C. M.Carvalho and E. Campostrini .2018. Popcorn breeding for water-stress tolerance or for agronomic water-use efficiency. J. Genet. Mol. Res., 17 (4):1-18.

Kar, G., and A. Kumar .2015. Effects of phenology-based irrigation scheduling and nitrogen on light interception, water productivity and energy balance of maize (*Zea mays* L.). Journal of the Indian Society of Soil Science, 63(1), 39-52.

Karron , M .G. and J. H. Maranville .1994. Response of wheat cultivars to different soil nitrogen and moisture regime .I. Dry matter partitioning and root growth .J. of Plant Nutri., 17: 729 – 744.

Karrou . M , T.Owas , R.A.E. Enein , and M. Sherif. 2012 . Yeild and water productivity of maize and wheat under deficit and raised bed irrigation practices in Egypt . Afr. J. Agric. Res. 7(11) . 1755 –1760 .

Khalil,S.K.,S. Khan, A Rahman, A.Z. Khan, I.H. Khalil,B. Amanillah., Wahab, F Mohammad, S. Nigar, M. Zubair, S. Parveen, and A. Khan .2010.Seed priming and phosphorus application enhance phenology and dry matter production of wheat. . J. Bot., 42(3): 149-185.

Khayatnezhad, M., and R. Gholamin .2012. The effect of drought stress on leaf chlorophyll content and stress resistance in maize cultivars (*Zea mays L*) . African Journal of Microbiology Research, 6(12): 2844-2848.

Khayatnezhad, M., R.Gholamin, S.J.E. Somarin and R.Z.E. Mohmoodabad. 2011. The leaf chlorophyll content and stress resistance relationship considering in Corn cultivars (*Zea mays L*). Adv. Environ. Biol, 5(1): 118-122.

Kohnke, H.1968. Soil Physics. McGraw-Hill Book Company, New York, USA, p. 224.

Kosová, K., P.Vítámvás, and I.T. Prášil.2014.Wheat and barley dehydrins under cold, drought, and salinity–what can LEA-II proteins tell us about plant stress response?. Frontiers in Plant Science, 5, 343.

Krishnamurthy, A. and B. Rathinasabapathi .2013. Oxidative stress tolerance in plants Novel interplay between auxin and reactive oxygen species signaling. Plant Signaling and Behav., 8(10):1-5.

Kuscu , H. ,and A.O. Demir . 2012 . Responses of maize to full and limited irrigation at different plant growth stages . J. of Agri. Faculty of Uludag Uni. . 26(2) : 15-27.

Kuscu, H .,A. Karasu ,M. Ozi, A.O.Demir, I Turgut . 2013.Effect of Irrigation amounts applied with drip Irrigation on Maiz Evapotranspiration, yield, Water use efficiency, and net return in a sub-humid climate. Turkish J. Field Crops.,18(1):13-19.

Lam Dai V,E. Stes ,M. Van Bel ,H Nelissen , D. Maddelein ,D. Inze .2016. Up-to-date workflow for plant (phospho)proteomics identifies differential drought-responsive phosphorylation events in maize leaves. Journal of Proteome Research.;15(12):4304–17.

Levitt , J . 1980 . Response of Plant to Environmental Stress . 2nd ed .Vol .2 .Academic Press . New York.

Liang, Y.,Y. Jiang,M. Du, B. Li, L. Chen, M. Chen,, ... and J. Wu . 2019.ZmASR3 from the maize ASR gene family positively regulates drought tolerance in transgenic arabidopsis. International journal of molecular sciences, 20(9): 22-34.

Lichtenthaler, H. K. 1987. Chlorophylls and carotenoids: pigments of photosynthetic biomembranes. In *Methods in enzymology*.148: 350-382.

Liu, W. Y.,H.H Lin, C.P. Yu, C.K. Chang, H.J. Chen, J.J. Lin, ... and W.H. Li .2020. Maize ANT1 modulates vascular development, chloroplast development, photosynthesis, and plant growth. Proceedings of the National Academy of Sciences, 117(35), 21747-21756.

Liu, W., Li, S., C. Zhang, F. Jin, W. Li, and X. Li . 2021. Identification of candidate genes for drought tolerance at maize seedlings using genome-wide association. Iranian Journal of Biotechnology, 19(3): 26-37.

Livak, K. J. and T.D. Schmittgen . 2001. Analysis of relative gene expression data using real-time quantitative PCR and the 2(-Delta Delta C(T)) method. Methods, 25:402-408.

Luo, Q., B. Chen, J. Xu, W. Ma, C. Lao, Y. Li and Z. Chen.2018. Development of a SYBR green II real-time polymerase chain reaction for the clinical detection of the duck-origin goose parvovirus in China. Intervirology, 61(5): 230-236.

Maazou, A. R. S., J.Tu, J., Qiu, and Z. Liu. 2016. Breeding for drought tolerance in maize (*Zea mays L.*). American Journal of Plant Sciences, 7(14): 1858-1867.

Magaia, E. J. .2017. Technologies for improved water use efficiency in small-scale maize production in a semi-arid region . Acta Universitatis Agriculture Sueciae .1652-6880.

Malenica, N., J.A.Dunić, L. Vukadinović, V. Cesar, and D.Šimić .2021. Genetic approaches to enhance multiple stress tolerance in maize. Genes, 12(11), 1760-1771.

Mason, S., Z.Kmail, T. Galusha, and Z. Jukić .2019. Path analysis of drought tolerant maize hybrid yield and yield components across planting dates. Journal of Central European Agriculture, 20(1): 194-207.

Mcphere, H. G. and J. S. Boyer. 1977. Regulation of grain yield by photosynthesis in maize subjected to a water deficiency. Agron. J. 69. 714 – 721.

Meskelu, E., M.Mohammed and T. Hordofa . 2014. Response of maize (*Zea mays L.*) for moisture stress condition at different growth stages. Int.J. of Recent Reserch in Life Sci.1,(1), 12-21.

Moghaddam,A., Galavi,M., Fanaei,H., Koohkan,S., and Poodineh, O., 2011. Effects of deficit irrigation on grain yield and some morphological traits of wheat cultivars in drought-prone conditions. International Journal OfAgri Science, 1(4), 249-257.

Monneveux, P., 1989. Quelques strategies adapter pour lamélioration des plantes pour ladaptation aux milieu arides. 2eme journees scientifiques du reseau biotechnologies vegetales. AUPELF-UREF. Tunis, 4-9. Des 1989.

Monteoliva, M. I., M.C.Guzzo, and G.A. Posada .2021. Breeding for drought tolerance by monitoring chlorophyll content.Gene Technology.10(3):1-11

Moosavi, S.G. 2012 . The effect of water deficit stress and nitrogen fertilizer levels on morphology traits , yield and leaf area index in maize . Pak . J.Bot. ,44 (4) : 1351 – 1355 .

Mubeen, M. U. H. A. M. M. A. D., A.Bano, B. Ali, Z.U. Islam, A. Ahmad, S. Hussain, and W.A.J.I.D. Nasim .2021. Effect of plant growth promoting bacteria and drought on spring maize (*Zea mays L.*). Pak. J. Bot, 53(2):731-739.

Mun, B. G., S.U.Lee, E.J. Park, H.H. Kim, A. Hussain,Q.M. Imran, ... and B.W. Yun .2017. Analysis of transcription factors among differentially expressed genes induced by drought stress in *Populus davidiana*. 3 Biotech, 7, 1-12.

Murtadha, M.A., O.J. Ariyo, and. S.S. Alghamdi. 2018. Analysis of combining ability over environments in diallel crosses of maize (*Zea mays L*) .J. of Saudi Soci. of Agri. Sci., 17:69–78.

Najy, A. S. 2009. Response of Corn (*Zea mays L.*) to Deficit Irrigation at Different Growth Stages. A thesis of Master. College of Agriculture. Al-Sulaimani University .

Nejat , F , M. M.H.Dadniya ,and S. Lak. 2009 . Effect of drought stress and Seleninm application on yield and yield components of two maize cultivars . pl. Ecophysiol., 2: 95 – 102 .

Nolan, T. ; R.E.Hands, and S.A. Bustin .2006. Quantification of mRNA using real-time RT-PCR. Nat. Protoc., 1(3): 1559–1582 .

Olaoye,G.,O.B. Bello, A.Y. Abubakr, L.S. Olayiwola and O.A. Adesina .2009 . Analyses of moisture deficit grain yield loss in drought tolerant maize (*Zea mays L.*) germplasm accessions and its relationship with field performance. Afri. J. of Bio. 8(14):3229-3238.

Oveyisi, M. , M.J. Mirhadi , H. Madani , G. Nourmohammadi , R. Zarghami and A. Madani . 2010 . The impact of source restriction on yield formation of corn (*Zea mays L.*) due to water deficiency .Plant soil environ . 56, (10): 476–481.

Pandit, M., R.P.Sah, M. Chakraborty, K. Prasad, M.K. Chakraborty, V. Tudu, and M.Rana .2018. Gene action and combining ability for dual purpose traits in maize (*Zea mays L.*) under water deficit stress prevailing in eastern India. Range Management and Agroforestry, 39(1): 29-37.

Paz-Ares, J., D. Ghosal, U. Wienand, P. A. Peterson and H. Saedler, 1987. The regulatory c1 locus of (*Zea mays L*) encodes a protein with homology to myb proto-oncogene products and with structural similarities to transcriptional activators. EMBO Journal, 6: 3553–3558.

Pessarakli, M. .2016. Handbook of Photosynthesis.3 rd ed. Taylor and Francis Group, Boca Raton. PP: 846.

Prasad, P.V.V. , S.A. staggenborg and Z. Ristic .2008. Impacets of Drought and / Or Heat stress on physiological , Developmental , Growth , and Yield Processes of Crop Plants .ASA , CSSA , SSSA , 677 S.segoe Rd , Modison , WI 53711 , USA.

Rafiee, M. .2012. Effect of every other furrow irrigation and planting density on physiological traits in corn (*Zea mays L.*) . World Appl. Sci. J.,17(2):189-193.

Rahman, M.T. ;M.Uddin, R. Sultana. A. Moue, and M.Setu .2013.Polymerase Chain Reaction (PCR): A Short Review. AKMMC J., 4(1) : 30-36.

Reddy, S., L.Papaiah, S. Reddy, S. SR, and D. Uppala .2017. PCR Revisited!-A Review. Juniper Online J. Case Stud, 3(5): 3-6.

Rodríguez, M., E.Canales, and O.Borrás-Hidalgo .2005. Molecular aspects of abiotic stress in plants. Biotecnología Aplicada, 22(1): 1-10.

Romdhane, L., L.B.Ebnezer, A. Panizzo, G. Barion, C. Dal Cortivo,L. Radhouane, and T.Vamerali .2021. Effects of soil amendment with wood ash on transpiration, growth, and metal uptake in two contrasting maize (*Zea mays L.*) hybrids to drought tolerance. Frontiers in Plant Science, 12: 1-13sw.

Rucker, K. S., C.K.Kvien, C.C. Holbrook, J.E. and Hook . 1995. Identification of peanut genotypes with improved drought avoidance traits. Peanut science, 22(1): 14-18.

Sah , S. K. and O. B. Zamora . 2005 . Effect of water deficit at vegetative and reproductive stages of hybrid , open pollinated variety and local maize (*Zea mays L.*) . J. Inst. Agric. Anim. Sci. 26:37-42

Sajedi , N., A. Ardakani., A. Naderi, H.Madani and M. Mashhadi . 2009 . Response of maize to nutrients foliar application under water deficit stress conditions . Amer. J. of Agr. and Bio. Sci. 4 (3): 242-248 .

Sambrook,J., E.F. Fritsch, and T. Maniatis .1989. Molecular Cloning: A Laboratory Manual. Cold Spring Harbor Laboratory Press, Cold Spring Harbor, NY.

Saseendran, S. A., L.R.Ahuja, L. Ma, D.C. Nielsen, T.J. Trout, A.A. Andales, ... and J. Ham .2014. Enhancing the water stress factors for simulation of corn in RZWQM2. Agronomy Journal, 106(1): 81-94.

Shanker, A. and B.Venkateswarlu .2011. Abiotic Stress in Plants Mechanisms and Adaptations. INTECH Pup. Rijeka, Croatia. P 440.

Shiri, M., R.T.Aliyev and R.Choukan .2010. Water stress effects on combining ability and gene action of yield and genetic properties of drought tolerance indices in maize. Research Journal of Environmental Sciences, 4(1): 75-84.

Sinay, H ., E.L.Arumingtyas , N .Harijati and S.Indriyani .2015. Proline content and yield components of local corn cultivars from kisar Island , Maluku , Indonesia. Int J. plant Biology., 6(1) : 6071-6083 .

Singh, P. K. .2014. Physiology of Maize (*Zea mays L.*) Genotypes Under Moisture Stress Condition (Doctoral dissertation, Rajendra Agricultural University, Pusa. Science Agriculture in Plant Physiology. 1-107.

Steinberg, C. E. 2012. Stress Ecology: Environmental Stress As Ecological Driving Force And Key Player In Evolution. Springer.pp:492.

Sun, R.,R. Ye, L. Gao, L. Zhang, R. Wang, T. Mao, and Y. Lin .2017. Characterization and ectopic expression of CoWRI1, an AP2/EREBP domain-containing transcription factor from coconut (*Cocos nucifera L.*) endosperm, changes the seeds oil content in transgenic *Arabidopsis thaliana* and rice (*Oryza sativa L.*). *Frontiers in Plant Science*, 8, 63..

Sun, S., X. Yao, X. Liu, Z. Qiao, Y. Liu, X. Li, and X. Jiang .2022. Brassinolide can improve drought tolerance of maize seedlings under drought stress: By inducing the photosynthetic performance, antioxidant capacity and ZmMYB gene expression of maize seedlings. *Journal of Soil Science and Plant Nutrition*, 22(2): 2092-2104.

Szabados , L. and A. Savoure , 2010 . Proline amullti functional amino acid , Trends plant Sci. , 14 : 89 – 97 .

Tas, T., and .A. Mutlu .2021. Morpho-physiological effects of environmental stress on yield and quality of sweet corn varieties (*Zea mays L.*). Peer J, 9: 1-22.

Thellin, O.; W.Zorzi, B. Lakaye, B.B. De, B. Coumans, G. Hennen, T. GrisarA. Igout,. 1999. Housekeeping genes as internal standards: use and limits. *J. Biotechnol.*; 75:291-295.

Turner, N. C., and P.J. Kramer. 1980. Adaptation of plants to water and high temperature stress.(Proceedings of a seminar, Stanford, Calif.(USA), 6-10 Nov 1978).

Ünyayar, S., S .F. Topcuoğlu and A. Ünyayar .1996. A modified method for extraction and identification of indole-3-acetic acid(IAA), gibberellic acid

(GA3), abscisic acid (ABA) and zeatin produced Phanoerochate chrysosporium ME446. *Bulg. J. Plant.*

VanGuilder, H. D.;K.E. Vrana, and W. Freeman, .2008. Twenty-five years of quantitative PCR for gene expression analysis. *Biotechniques*, 44 (5): 619–626.

Vaughan, M. M., A. Block, S. A. Christensen, L. H. Allen and E. A. Schmelz .2018. The effects of climate change associated abiotic stresses on maize phytochemical defenses. *Phytochemistry Reviews*, 17(1): 37- 49

Vranová, E.,D. Inzé, and F. Van Breusegem, .2002. Signal transduction during oxidative stress. *Journal of experimental botany*, 53(372), 1227-1236.

Wang, C., A. Yang, H.Yin, and J. Zhang .2008. Influence of water stress on endogenous hormone contents and cell damage of maize seedlings. *Journal of Integrative Plant Biology.*, 50(4): 427-434.

Wang, D., C.Yu, T. Zuo, J. Zhang, D.F. Weber, and T.Peterson, .2015. Alternative transposition generates new chimeric genes and segmental duplications at the maize p1 locus. *Genetics*, 201(3): 925-935.

Wang, Q.,J.Ni, F. Shah, W. Liu, D. Wang, Y. Yao, ... and L. Wu .2019. Overexpression of the stress-inducible SsMAX2 promotes drought and salt resistance via the regulation of redox homeostasis in *Arabidopsis*. *International journal of molecular sciences*, 20(4): 837.

Wang, X.,H. Wang, S. Liu, A. Ferjani, J. Li, J. Yan, and F. Qin, .2016. Genetic variation in ZmVPP1 contributes to drought tolerance in maize seedlings. *Nature Genetics*, 48(10), 1233-1241.

Wilkening, S. and A. Bader .2004. Quantitative real-time polymerase chain reaction: methodical analysis and mathematical model. *J. Bio mol. Tech*, 15:107-111.

Wu, Y., and D.J.Cosgrove .2000. Adaptation of roots to low water potentials by changes in cell wall extensibility and cell wall proteins. *Journal of Experimental Botany*, 51(350): 1543-1553.

Xiang L, C.Liu J. Luo L. He Y. Deng J. Yuan C., Wu and Y. Cai .2018. A tuber mustard AP2/ERF transcription factor gene, BjABR1, functioning in abscisic acid and abiotic stress responses, and evolutionary trajectory of the ABR1 homologous genes in Brassica species. *PeerJ* 6:e6071.

Xie Z, T.Nolan H. Jiang B. Tang M. Zhang Z. Li and Y. Yin .2019 .The AP2/ ERF transcription factor TINY modulates Brassinosteroid-regulated plant growth and drought responses in *Arabidopsis*. *Plant Cell* 31(8):1788–1806.

Xu, J., and S. Zhang .2015. Mitogen-activated protein kinase cascades in signaling plant growth and development. *Trends in Plant Science*, 20(1): 56-64.

Yasmin, H., A.Nosheen, R.Naz, A. Bano and R. Keyani .2017. L-tryptophan-assisted PGPRmediated induction of drought tolerance in maize (*Zea mays L.*). *Journal of Plant Interactions*, 12(1), 567-578.

Yılmaz , E. , S. Akçay, T. Gürbüz , N. Dagdelen and F. Sezgin . 2010. Effect of different water stress on the yield and yield components of second crop corn in semiarid climate. *Journal of Food, Agriculture and Environment*.8 (3 and4) : 4 1 5 - 4 2 1.

Yuan, C., S., Feng, Z., Huo, and Q. Ji, 2019. Effects of deficit irrigation with saline water on soil water-salt distribution and water use efficiency of maize for

seed production in arid Northwest China. Agricultural water management, 212, 424-432.

Zein, A. M.K. 2002. Rapid determination of soil moisture content by the microwave oven drying method . Sudan Engineering Society Journal . 48(40): 43-54.

Zenda, T., S. Liu, X. Wang, G. Liu, H. Jin, A. Dong and H Duan. 2019. Key maize drought-responsive genes and pathways revealed by comparative transcriptome and physiological analyses of contrasting inbred lines. International journal of molecular sciences, 20(6): 1-30.

Zhang, J. and M. B. kirkham. 1996. Antioxidant responses to drought in sunflower and sorghum seedling. New phytol., 132: 361- 373.

Zhang, L. and D.F. Becker .2015. Connecting proline metabolism and signaling pathways in plant senescence. Front. Plant Sci., 6(552):1- 8.

Zhang, Y. J., J.J. Hua, Y.C. Li, Y.Y. Chen, and J.C. Yang . 2012. Effects of phosphorus on grain quality of upland and Paddy Rice under different cultivation. Rice Sci., 19(2):135-142.

Zhao, T. J., S.Sun, Y. Liu, J.M. Liu, Q. Liu, Y.B. Yan, and H.M. Zhou .2006. Regulating the drought-responsive element (DRE)-mediated signaling pathway by synergic functions of trans-active and trans-inactive DRE binding factors in Brassica napus. Journal of Biological Chemistry, 281(16): 10752-10759.

Zheng, J., Fu, J., M.Gou, J. Huai, Y. Liu, M. Jian, and G. Wang .2010. Genome-wide transcriptome analysis of two maize inbred lines under drought stress. Plant molecular biology, 72, 407-421.

Zhou, M. L., Y. X. Tang and Y. M. Wu. 2012. Genome-wide analysis of AP2/ERF transcription factor family in *Zea Mays*. Current Bioinformatics, 7(3), 324-332

Zou, Y., Q.Saddique, A. Ali, J. Xu, M.I. Khan, M. Qing, .. and K.H. Siddique,.2021. Deficit irrigation improves maize yield and water use efficiency in a semi-arid environment. Agricultural Water Management, 243, 107-118.

7- الملحق

ملحق 1: كمية المياه المستعملة ($m^3 \cdot h^{-1}$) للموسم الريسي 2022

مراحل حجب الري	متوسط كمية المياه المستعملة	عدد الريات خلال الموسم
GS0	6482	18
GS-V7	6035	17
GS-R2	5772	17
GS-V7+R2	5364	16

ملحق 2: تحليل التباين وفق متوسطات المربعات M S لتأثير حب الري و اصناف الذرة الصفراء و التداخل بينهما للصفات المدروسة

التعابير النسبية لـ ZMMYBE1 gene عند المرحلة التكاثرية	CT of ZMMYBE1 gene عند المرحلة التكاثرية	التعابير النسبية لـ ZMMYBE1 gene عند المرحلة الخضرية	CT of ZMMYBE1 gene عند المرحلة الخضرية	درجات الحرية	مصادر التغير
0.000328	0.7505	0.08783	0.8548	2	القطاعات
0.005690	0.0516	*1.65862	*1.5148	3	حب الري
0.002462	0.0480	0.05430	0.0647	6	الخطأ التجريبي
0.005494	0.1607	*0.40828	*1.2870	3	الأصناف
0.002494	0.1155	0.16600	0.1381	9	حب الري X الأصناف
0.002601	0.1920	0.07547	0.2260	24	الخطأ التجريبي
التعابير النسبية لـ AP2 gene عند المرحلة الخضرية	CT of AP2 gene عند المرحلة الخضرية	التعابير النسبية لـ AP2 gene عند المرحلة الخضرية	CT of AP2 gene عند المرحلة الخضرية	درجات الحرية	مصادر التغير
0.03069	0.3616	0.07432	0.8989	2	القطاعات
*0.27143	*0.4776	*1.60151	*1.4872	3	حب الري
0.02661	0.0311	0.04705	0.0584	6	الخطأ التجريبي
*0.15000	*0.8370	*0.37740	*1.3531	3	الأصناف
0.08245	0.2161	*0.16391	0.1372	9	حب الري X الأصناف
0.05620	0.2642	0.06979	0.2179	24	الخطأ التجريبي
المساحة الورقية (سم ²)	ارتفاع النبات (سم)	عدد الأيام حتى تزهير %50 انثوي (يوم)	عدد الأيام حتى تزهير %50 ذكري (يوم)	درجات الحرية	مصادر التغير
.194951	388.53	47.396	39.062	2	القطاعات
*.9524170	* 5055.54	*100.028	*56.500	3	حب الري
.31099	177.40	5.340	6.396	6	الخطأ التجريبي
*.1139332	*7572.82	*155.361	*209.000	3	الأصناف
*.46025	*128.19	*8.417	*7.833	9	حب الري X الأصناف
14838	36.55	3.632	3.396	24	الخطأ التجريبي
نسبة البرولين(ميكرومول غم ⁻¹)	نسبة الكلورو فيل(ملغم غم ⁻¹ وزن طري)	الوزن الجاف للنبات (غم)	دليل المساحة الورقية	درجات الحرية	مصادر التغير
123.93	0.766	866.45	0.055453	2	القطاعات
*1032.46	*211.037	*21103.65	*2.709097	3	حب الري
38.95	1.941	138.22	0.008846	6	الخطأ التجريبي
*1200.02	*60.225	*2348.82	*0.324077	3	الأصناف
*67.38	*3.742	*374.22	*0.013091	9	حب الري X الأصناف
27.38	1.178	65.95	0.004220	24	الخطأ التجريبي

مصدر التغایر	درجات الحرية	محتوى الماء (%)	هرمون ميكرومول (IAA)	هرمون الجرلين (GA)	هرمون هرمون السايتوكالينين (CKS) ميكرومول
القطاعات	2	113.80	165.03	59.16	89.73
حب الري	3	*787.25	*1332.58	*778.25	*1244.97
الخطأ التجريبي	6	41.13	50.65	17.23	20.15
الأصناف	3	*1323.43	*1938.97	*657.52	*818.10
حب الري X الأصناف	9	*66.26	*91.26	*32.15	17.27
الخطأ التجريبي	24	27.54	36.66	12.03	17.59
مصدر التغایر	درجات الحرية	بieroKsidiZ (وحدة) امتصاص غـ ¹)	انزيم الكتيليز (وحدة) امتصاص غـ ¹)	انزيم بلعنووص (صف ¹)	عدد الصفوف عرنووص ¹)
القطاعات	2	211.17	71.70	0.266	295.79
حب الري	3	*1094.37	*476.44	*95.411	*1311.48
الخطأ التجريبي	6	66.55	23.19	14.225	30.96
الأصناف	3	*1599.89	*684.40	*114.415	*191.05
حب الري X الأصناف	9	*166.11	20.35	*7.803	*41.57
الخطأ التجريبي	24	47.02	16.45	2.517	15.67
مصدر التغایر	درجات الحرية	وزن 500 جبة (غم)	حاصل الحبوب (ميكا غرام هـ ¹)	الحاصل الباليولوجي (ميكا غرام هـ ¹)	كفاءة استعمال الماء (كغم م ³)
القطاعات	2	1899.30	4.0667	2.5591	0.120713
حب الري	3	*1978.92	*25.6637	*54.1720	*0.365262
الخطأ التجريبي	6	204.50	0.6628	0.1508	0.015056
الأصناف	3	*1203.95	*6.8426	*65.2473	*0.281121
حب الري X الأصناف	9	*218.10	*0.9171	*5.5247	*0.025385
الخطأ التجريبي	24	86.29	0.1984	0.5107	0.005738

* معنوي على مستوى احتمالية 0.05

Abstract

A field experiment was conducted during the 2022 agricultural season in the experimental farm field in Al-Mahnawiya affiliated to the Extension Training Center in Babylon, with the aim of studying the tolerance of four cultivars of corn to water stress. A experiment was conducted with three replications according to the randomized complete block design with split-plot arrangement and two factors. The main plot included withholding irrigation parameters that are irrigation after depleting 50% of the available water (control treatment Gs0), and one withholding irrigation at the stage of elongation (Gs-V7), and one withholding irrigation at the stage of grain filling (Gs-R2).The last treatment is withholding irrigation, one at the elongation and grain filling (Gs- V7 + R2), while the sub plots included four varieties of maize: furat, Dijlah, ZP and Consense. The results showed the following.

Withholding irrigation at the elongation stage (Gs-V7) caused a significant decrease in the leaf area, leaf area index and plant dry weight and number of days up to 50%, tnsling and silking , as it gave an average of $1873.76 \text{ cm}^2 \text{ plant}^{-1}$, 1.00 and 210.67 g. plant⁻¹ and 57.00 and 59.50. days respectively and Withholding irrigation at elongation (Gs-V7) and withholding one irrigation at elongation and grain filling (Gs-V7+R2) caused a significant decrease in the number of rows in the ear, the number of grains per row, and the weight of 500 grains, as it gave averages of (11.65 and (11.02 rows.cob⁻¹, (26.77) and (23.23) grains . row⁻¹, (54.90) and 63.94) g respectively and Withholding irrigation at the stage of elongation (Gs-V7), Withholding irrigation at grain filling (Gs-R2), and Withholding irrigation at one stage of elongation and grain filling (Gs-V7+R2) caused a significant decrease in grain yield with averages of 5.36 and 4. 54 and 4.13 Mg ha⁻¹, as well as a significant decrease in the biological yield with averages of 13.54, 15.53 and 12.13Mg ha⁻¹, respectively and The results showed that withholding irrigation caused a significant decrease in the average water use efficiency of the grain yield, where the treatments GsV7-, Gs-R2, and Gs-V7+R2 gave the lowest averages of 0.89, 0.79, and 0.77, respectively, compared to the full irrigation treatment (GS0).) which gave an average of 1.15, respectively

andWithholding irrigation at the elongation stage (Gs-V7) caused a significant increase in the expression of ZmMYBE1 and AP2 genes at the vegetative stages, while in the Reproductive Stages there was no significant effect of withholding irrigation in the ZmMYBE1 gene while withholding irrigation caused a significant increase in the relative expression of the gene AP2and Alfurat cultivar gave the highest leaf area, leaf area index and dry weight of the plant and number of rows per cob and the number of grains per row, as it gave averages of $3057.57 \text{ cm}^2 \text{ plant}^{-1}$, 1.63 and $260.34 \text{ g. plant}^{-1}$, and 17.58, row cob $^{-1}$ and 37.58 grains, row $^{-1}$ respectively.while Konsens cultivar gave the highest average in weight of 500 grains with an average of 84.36 g and It was found that Alfurat cultivar was the least affected in the leaf area and its index and the dry weight of the plant under the treatment of withholding at elongation (Gs-V7) with an average of 37.45%, 37.31% and 21.18%, respectively, Whereas, the Konsens cultivar was the most influential with a rate of 56.66%, 56.82%, and 35.95% and The performance of cultivars differed under irrigation withholding treatments, as the Euphrates cultivar showed higher tolerance to drought based on the characteristics of vegetative growth and yield when imposing stress at the two elongation stages (GS-V7) and the grain fullness stage (GS-R2) and therefore we can conclude that the two genes ZmMYBE1 and AP2 have an important role in increasing the tolerance of varieties to water stress, and this is what was observed from their increased expression in the Euphrates cultivar under drought conditions.



**University of Kerbala
Faculty of Agriculture
Field Crops Department**

**Molecular detection of water stress tolerance
genes in four maize cultivars**

**A thesis submitted to the Council of the Faculty of
Agriculture/ University
of Karbala, which is part of the requirements for
obtaining a master's
degree in agricultural sciences / field crop**

A Thesis Submitted By

Alaa Mohammed AbdulMohsin

**Supervised by
Assist.Prof .Dr. Ali Nadhim Farhood**